

INSTITUTUL POLITEHNIC "TRAIAN VUIA"
TIMISOARA
FACULTATEA DE MECANICA

ing. TRAIAN GLIGOR

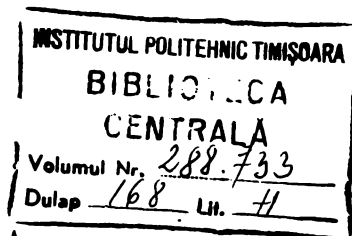
STUDIUL VIBRATIILOR LATERALE ALE
LOCOMOTIVEI DIESEL - ELECTRICE 060 D.A.
DE 2.100 C.P.

- teză de doctorat -

CONDUCATOR STIINTIFIC,
Prof.em.dr.doc.ing.GHEORGHE SILAS

BIBLIOTECA CENTRALĂ
UNIVERSITATEA "POLITEHNICA"
TIMIȘOARA

T I M I S O A R A



- 1974 -

PREFATA

Lucrarea de față este prima lucrare de la noi din țară, în care autorul își propune studiul dinamicii laterale a locomotivei diesel-electrice 060 D.A. de 2100 C.P. de care este strîns legată siguranța circulației acestei locomotive, cît și asigurarea unui mers silențios.

Studierea acestei probleme destul de dificilă, la o mașină complexă, cum este această locomotivă, mi-a fost inspirată și se înscrie în preocupările școlii de vibrații, creată și condusă cu competență de ilustrul meu Prof.em.dr. doc.ing. Silaș Gheorghe, conducătorul științific al acestui lucrări.

Acest studiu, isvorit din necesitatea de a pune la dispoziția proiectanților, a unor date și concluzii prețioase în vederea îmbunătățirii dinamicii acestei locomotive, se înscrie printre multiplele studii teoretice și tehnice, realizate de intreg colectivul catedrei sub conducerea profesorului Silaș Gheorghe.

Culegerea datelor experimentale cît și prelucrarea lor, au fost făcute cu ajutorul unor aparate complexe, la nivelul tehnicii mondiale, cu care este dotat laboratorul de vibrații al cat. de Mecanică și rez.materialelor, a cărui înființare și dotare, este o realizare de prestigiu la noi în țară, legată tot de numele profesorului Silaș Gheorghe.

Pe parcursul realizării acestui lucrări, am întîlnit numeroase greutăți de ordin tehnic, științific și material,

cărora le-am putut face față numai datorită îndrumării competente și sprijinului permanent din partea conducătorului științific.

Dedic această lucrare în semn de omagiu celui care mi-a fost profesor, conducător științific și exemplu de competență și dăruire profesională, cu ocazia împlinirii vîrstei de 60 ani.

Autorul.

18 aprilie 1974.

C a p i t o l u l I

INTRODUCERE

1.1. Scurt istoric.

Cu și celelalte sectoare de activitate, transportul feroviar cunoaște astăzi un puternic avînt.

Tinînd seamă de importanța lui în contextul dezvoltării economiei țării noastre, transportul feroviar cunoaște o dezvoltare și modernizare accentuată, astfel ca să facă față cu succes cerințelor mereu crescînde impuse de dezvoltarea în ritm rapid a economiei naționale.

In aspectul ei istoric, dezvoltarea transportului feroviar, indiferent de sistemele aplicate - cu abur, Diesel-electrică, sau electrică - este axată pe evoluția construcției de locomotive.

Astfel, perioada pînă în 1959 se caracterizează prin aceea că locomotiva cu abur a fost singurul mijloc de remorcăre.

Prima locomotivă a fost pusă în circulație la noi în anul 1869 pe linia București - Giurgiu, pentru remorcarea trenurilor de persoane și marfă; ea a fost construită la fabrica Canada Works din Birkenhead (Anglia).

In perioada 1881 - 1918 parcul de locomotive a fost înzestrat cu locomotive de mare viteză, ca: locomotiva tip Orléans care putea dezvolta o viteză pînă la 95 km/h și cu locomotive prevăzute cu boghiuri alergătoare, cu abur supra-

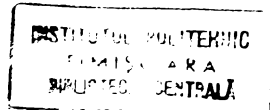
încălzit, cu sertare cilindrice, etc., ca de exemplu - locomotiva "Pacific" care putea atinge viteza de 126 km/h.

La noi, în perioada anilor 1918 - 1944 locomotiva cu abur ajunge la apogeul său, ca urmare a îmbunătățirilor și perfecționărilor ce i s-au adus. Astfel, în parcul de locomotive apar: locomotiva 140.100 în anul 1919, locomotiva 140.200 în anul 1920, locomotiva 140.400 în anul 1921 și locomotivele 130.500, 40.001, 50.001, 50.100, 230.000, 231.000, în anul 1922.

După 1944, printre multiplele măsuri de îmbunătățire a transportului feroviar, a fost și aceea de tipizare a parcului de locomotive, care a fost redus la tipurile principale de locomotive. Până la sistarea definitivă a fabricării locomotivelor cu abur în țara noastră, locomotiva 150.000 a fost singurul tip care s-a mai construit.

Sarcinile de transport sporite au făcut ca parcul de locomotive cu abur să nu mai corespundă corințelor unei explorații economice și mereu crescînd. S-a pus astfel problema de a se moderniza structura tractiunii la C.F.R. prin introducerea sistemelor de tractiune diesel și electric. Procesul de înlăturare a tractiunii cu abur prin tractiunea diesel a început în anul 1959 și poate fi considerat unul din cele mai importante evenimente din întreaga evoluție a tractiunii pe calea ferată română.

Prima locomotivă diesel, cu care s-a început dieselizezarea tractiunii feroviare, a fost locomotiva diesel - electrică 060 D.A. de 2.100 C.P. cu viteza maximă de 100 km/h. Începînd din anul 1960 această locomotivă se construiește în țară după o licență a consorțiului elvețian constituit din firmele



Sulzer și S.L.M. din Winterthur și Brown - Boveri din Baden.

Pentru mărirea vitezelor de circulație la trenurile de călători, în anul 1967 i s-au făcut modificări, care au dus la mărirea vitezei constructive la 120 km/h.

În comparație cu locomotiva cu abur, locomotiva diesel - electrică prezintă însomnate avantaje, ca:

- are viteze de circulație supérieure;
- posedă raza de acțiune mai mare;
- tonajul remarcabil pe tren de marfă mai mare cu 30 - 80 % față de locomotiva cu abur 150.000 ;
- parcurs mediu zilnic mai mare, pînă la 500 km/zi;
- locomotivele diesel au mase nesuspendate de mărime mai mică;
- solicită mai puțin calea decît locomotivele cu abur la care bielele și masele neechilibrate produc fluctuații periodice ale încărcării pe osii și calea ferată;
- locomotivele diesel, fiind prevăzute cu boghiuri cu 2 și 3 osii motoare, au o stabilitate mai mare decît locomotivele cu abur, în întreg intervalul de viteze pînă la viteză maximă prescrisă;
- dispunînd de posturi de conducere la ambele capete, permit mersul în ambele sensuri cu aceeași viteză, proprietate care le avantagează față de locomotivele cu abur care necesită puntru întoarcere, instaluții speciale și costisitoare;
- în cazul multiplei tractiuni, pot fi conduse centralizat de la un singur post de conducere, ceea ce permite o mai bună utilizare a forței de tractiune;
- cheltuielile de reparații ale locomotivelor diesel sunt, după vechime, cu 25 - 65 % mai mici ca la locomotivele

cu abur.

Construcția acestei locomotive fiind încredințată uzinii Electroputere din Craiova și Uzinei constructoare de mașini din Reșița, în colaborare cu un număr însemnat de alte uzine, specialistii din aceste uzine, ca urmare a studiilor și cercetărilor întreprinse, au adus locomotivei îmbunătățiri constructive importante.

Trebuie remarcat faptul că nici una din aceste îmbunătățiri nu este adusă sistemului de suspensie, micșorării forțelor de la buza bandajului, atenuării vibrațiilor locomotivei, încît locomotiva să aibă o mai bună calitate de rulare și o siguranță mai mare în exploatare.

În lucrarea de față, autorul aduce unele contribuții la studiul suspensiei locomotivei, aparatului de rulare și a forțelor de conducere, contribuții ce vor putea fi utile în proiectare.

1.2. Descrierea locomotivei.

Locomotiva diesel - electrică 060 D.A. este o mașină complexă, capabilă să dezvolte o putere de 2.100 C.P. și să remorce, de exemplu, un tren de călători având tonajul 700 tone, cu viteza de 100 km/h, în aliniament și palier.

Datorită complexității construcției și a multiplelor aparate și agregate montate pe ea, descrierea locomotivei se face după cum urmează:

- descrierea părții mecanice
- descrierea părții termice
- descrierea părții electrice

În lucrarea de față, care are drept scop studiul oscilațiilor laterale ale locomotivei, descrierea locomotivei se limitează la descrierea părții mecanice sub aspectul structurii suspendată elastic.

Pentru asigurarea unei bune calități de rulare, nevoie sătății realizării unor condiții optime de lucru a personalului ce o deservește, cît și a evitării pericolului de deraiere, în eventualitatea unor vibrații cu amplitudini mari, locomotiva este suspendată în două trepte de suspensie.

Prima treaptă de suspensie este situată între boghiuri și osii. Prin intermediul ei, fiecare boghiu se sprijină pe celă trei osii ale lui, prin cîte patru arcuri elicoidale pe fiecare osie, aceste arcuri sunt dispuse 2 cîte 2 de o parte și de alta a unei osii.

A două treaptă de suspensie, compusă din patru porcetti de arcuri în foi, este situată între cutia locomotivei și boghiuri. Prin intermediul ei, cutia se sprijină elastic pe cele două boghiuri, în patru puncte.

In consecință, vom considera locomotiva alcătuită din trei coruri suspendate elastic (cutia și cele două boghiuri) și din șase coruri nesuspendate, reprezentate de osiile care rulază pe cale. Fig.1.1.

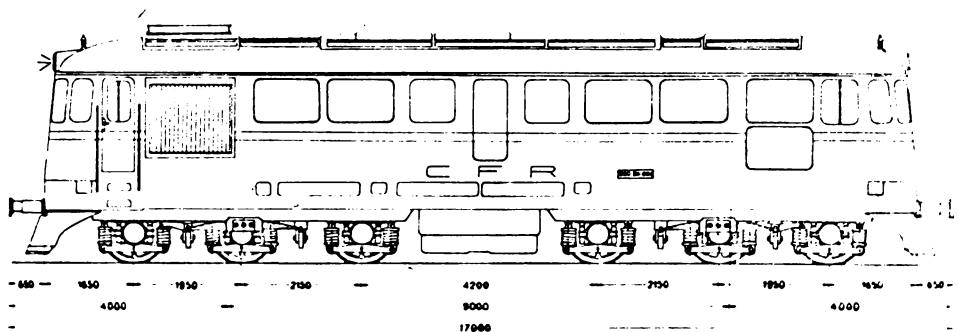


Fig.1.1.

Pentru a evita creșterea amplitudinii vibrațiilor cutiei locomotivei, rolul de amortizor în a două treaptă de sus-

pensie, îi revine tot arcului cu foi, prin prezența forțelor de frecare dintre foile arcului.

La prima treaptă de suspensie, situată între boghiuri și osii, fiecare din cele 12 arcuri elicoidale ale unui boghiu este prevăzut în interiorul său cu cîte un amortizor cu frecare uscată.

Suspensia cutiei locomotivei pe boghiuri are următorul scop:

- să sprijine elastic greutatea cutiei și a agregatelor montate în aceasta, cîte o jumătate pe fiecare din cele două boghiuri;

- să permită cutiei locomotivei o deplasare laterală de $2 \times 30 \pm 5$ m/m față de boghiuri, cu rapel automat în poziția de mijloc;

- să permită boghiurilor o mișcare de rotație în jurul unei axe verticale, față de cutie, pentru ca să se poată înscrie în curbele liniei;

- să permită boghiurilor o mișcare de galop (tangaj) în jurul unei axe orizontale față de cutie, așezată transversal în raport cu calea, pentru a putea să urmărească variațiile de declivitate ale liniei.

Pentru satisfacerea acestei condiții, cutia locomotivei se sprijină pe legătura arcurilor cu foi, prin intermediul unei plăci de alunecare care se sprijină basculant pe cîte două patine fixate de legătura de arc. Suprafața superioară a acestora are forma unui sector de cerc cu $r = 250$ m pentru ca placa de alunecare să poată balansa deasupra.

Partea superioară a acesteia se prezintă ca o cale în formă de V cu un unghi de $131^{\circ}33'$ și în formă de arc cu raza de 1.350 mm, fig.1.2. Ambele suprafețe de alunecare, constru-

rate din punct de vedere geometric, sănt sectoare de suprafețe conice. Axa de rotație verticală a suprafețelor conice, nota-

tă cu O, formează axa de rotire a boghiurilor în planul orizontal.

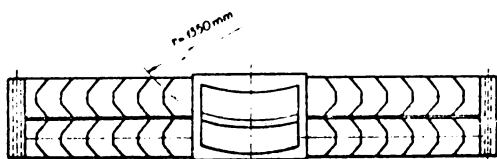


Fig.1.2

cu foi prin 2 buloane fiecare și care apoi sănt prinse de boghiu prin cîte doi suspensori pendulari fiecare, fig.1.3. Suspensorii pendulari sănt inclinați față de verticală cu $13,2^{\circ}$, pentru ca atunci cînd cutiei i s-ar imprima o mișcare transversală pe cale, datorită pendulelor, cutia se va și roti în jurul axei longitudinale.

In acest caz va apărea o forță de readucere - numită de rapol - care va căuta să readucă cutia locomotivei în poziția inițială.

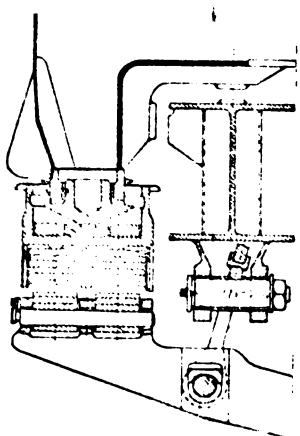


Fig.1.3

In ce privește prima treaptă de suspensie - cea dintre boghiu și osii - fiecare boghiu se sprijină pe osiile montate prin cîte 12 arcuri elicoidale, cîte 6 pe fiecare parte a boghiului.

Pe arcurile elicoidale dintre prima și cea de a doua osie a fiecăruia boghiu, cadrul boghiului nu se sprijină direct pe arcuri, fig.1.4.

ci prin intermediul unor balansiere. Astfel că suspensia unui boghiu funcționează ca o suspensie în patru puncte, prin aceasta realizându-se ca în timpul circulației sarcina pe osie să rămînă constantă.

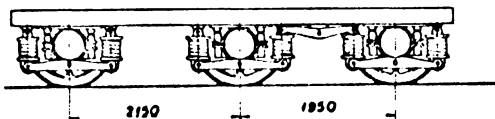


Fig.1.4

a fiecărui boghiu, acționează forța de conducere din partea firului exterior al căii. Asupra osiei montate din spate a fiecărui boghiu acționează forța de conducere din partea firului interior al căii, fig.1.5. În cazul acesta, unghiul de

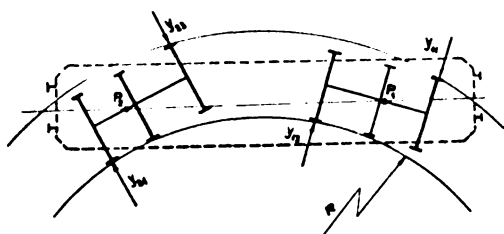


Fig.1.5

și deraierea locomotivei.

Pentru înălțurarea acostui neajuns, care se materializează prin cheltuieli enorme de întreținere atât a liniei, cât și a materialului rulant, cele două boghiuri ale locomotivei s-au cuplat printr-o cuplă elastică transversală, a cărei du-

La circulația locomotivei în curbe, boghiurile au tendința să moargă drept înainte, iar pentru a urma firul căii, sunt dirijate de forțele conducătoare de la buza bandajului. La anumite viteze, asupra osiei dinainte de atac al roții cu șina are valoarea cea mai mare posibilă și deci o uzură considerabilă atât a șinei, cât și a bandajelor. Deasemeni, la circulația cu viteze mari, unghiiurile mari de atac pot provoca

criere și funcționare este făcută în capitolul 2. Cupla, legind elastic capetele interioare ale boghiurilor, micșorează unghiul de atac al osiilor din față a fiecărui boghiu, iar pentru anumite viteze reduce complect forțele de la buza bandajului, la osiile din spate a celor două boghiuri [11]. Fig.1.6.

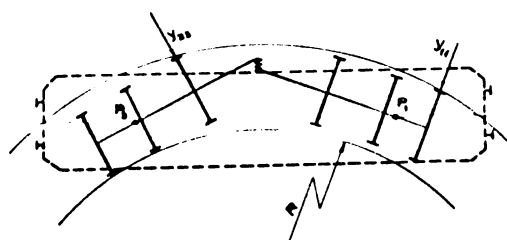


Fig.1.6

In timpul circulației locomotivei în aliniament și palier dacă cupla transversală este bine reglată, îndeplinește același rol ca în cazul circulației prin curbe. În cazul unui reglaj greșit provoacă un mers forțat al boghiurilor

cu o uzură corespunzătoare a bandajului roților.

Cupla elastică transversală dintre boghiuri transmite numai forțe laterale între boghiuri, nu și forțe longitudinale sau verticale. Rolul transmiterii forțelor longitudinale dintre boghiuri și cutia locomotivei, revenind în exclusivitate pivoiștilor.

1.3. Conținutul lucrării

Din lucrarea [69] rezultă că începînd din anul 1912 – anul construirii primei locomotive diesel – și pînă în 1946, această perioadă este considerată perioada de experimentare a diferitelor tipuri constructive de locomotive diesel.

In toată această perioadă, marile firme constructoare de material rulant, au conceput, realizat și experimentat diverse tipuri de locomotive, aducîndu-le, pe baza observațiilor din exploatare, îmbunătățiri din ce în ce mai substanțiale.

Așa se explică că după 1946 se ajunge la realizarea unor locomotive diesel cu diferite tipuri de transmisie, capabile să dezvolte puteri de peste 1.000 C.P. și să remorce trenuri de mare tonaj cu viteze în jur de 100 km/h, să se treacă la tipizarea lor și la înlocuirea treptată a parcului de locomotive cu abur, cu asemenea locomotive.

Dezvoltarea economică și avântul pe care îl înregistra, cerea transportului feroviar sarcini sporite, locomotive din ce în ce mai puternice capabile să remorce trenuri de și mai mare tonaj, cu viteze din ce în ce mai mari.

In aceste condiții, industria constructoare de locomotive, a trecut la perfecționarea tipurilor existente de locomotive, abandonînd calea fabricării de prototipuri și apoi experimentarea lor, prin studii dinamice, atât a părților ei componente - boghiuri, osii, suspensie, etc. - cît și a întregii locomotive. In acestă etapă iau naștere diferite institute de cercetări în toate țările constructoare de material rulant, cu sarcini precise în ce privește studiul dinamicii materialului rulant, în vederea îmbunătățirii calității de mers, sporirea vitezei de circulație, mărirea tonajului remorcăt, modernizarea transportului feroviar, etc.

Pe această linie se înscrie și lucrarea de față, ea constituind prima lucrare de acest gen la noi în țară, în ce privește studiul dinamicii orizontale a locomotivelor diesel-electrice 060 D.A., locomotivă cu care a început modernizarea parcului nostru de locomotive.

Atât tractiunea diesel, cît și tractiunea electrică este astăzi dominantă în țările dezvoltate și este în curs de introducere în țările în curs de dezvoltare. În foarte multe din aceste țări, există astăzi uzine constructoare de locomotive

și institute de cercetări în acest domeniu, a căror cercetători prin studiile lor teoretice și experimentale, caută să le aducă acestor mașini îmbunătățiri și perfecționări continui.

In acest sens trebuie amintite lucrările lui V.B.Medeli și a lui N.A.Kovalev care prin nenumărate studii și cercetări [54, 56, 84, 85, 86, 87, 88], pun bazele unui calcul modern, atât în ce privește construcția, cît și dinamica materialului rulant. Aceste studii poartă însă, tocmai timpului, deoarece se referă la un material rulant de o construcție simplă și de un anumit tip.

Aceste lucrări rămân însă, ca cercetări de bază, pe care mulți cercetători le dezvoltă, le modernizează și le aplică la studiul vibrațiilor, atât a vagoanelor, cît și a locomotivelor din ce în ce mai perfectionate. Dintre acestea, amintim lucrările [48, 62, 63, 64, 70 - 76, 81, 129, 133], în care diferiți cercetători caută să aducă contribuții importante la studiul vibrațiilor materialului rulant în ce privește comportarea suspensiei la viteze mari de circulație, pentru evitarea deraiierilor și asigurarea unui mers liniștit. Aceste studii teoretice au fost completate apoi prin calcule numerice pentru diferite tipuri de locomotive cu ajutorul calculatoarelor electronice și prin măsurători experimentale cu ajutorul unei aparaturi electronice moderne.

Cum materialul rulant - în special locomotivele - se deosebesc prin diferite soluții constructive, atât a aparatului de rulare, cît și a suspensiei, concluziile desprinse din lucrările de mai sus sunt valabile doar pentru tipurile respective de locomotive și vagoane studiate.

Mai pot fi amintite lucrările [24, 25, 96] în care autorul, studiind vibrațiile locomotivelor a căror suspensie din-

tre cutie și boghiuri este prevăzută cu o construcție specială numită leagăn, fig.1.7, introduce în calcule parametrul L -

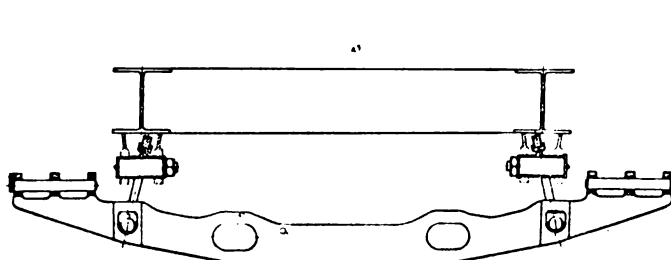


Fig.1.7

lungimea pondulului matematic sincron pendulului fizic datorită deplasării laterale a leagănului care

caracterizează rigiditatea orizontală a oricărui construcție cu o asemenea suspensie. Parametrul L fiind funcție de dimensiunile constructive ale leagănului, cu ajutorul lui se poate studia influența acestui mijloc de suspensie, asupra vibrațiilor locomotivei, în vederea realizării unei construcții cu o suspensie dorită.

Locomotiva diesel - electrică 060 D.A. ce face obiectul prezentei teze, în ce privințe vibrațiile ei laterale, este un tip de locomotivă ce se deosebește de toate celelalte, atât prin dimensiuni, aparatul de rulare, cît și prin suspensia cu care este prevăzută.

Adoptând un model mecanic corespunzător - având 22 grade de libertate - care să reflecte pe cât posibil vibrațiile locomotivei, s-au stabilit ecuațiile care descriu vibrațiile ei laterale (cap.3 și 4). Acestea formează un sistem de nouă ecuații diferențiale, cuplate atât elastic, cît și inertial, cu ajutorul căruia s-a făcut un studiu al acestor vibrații în funcție de diferenți parametri.

În funcție de parametrii L , p , η (cap.5) ce caracterizează construcția leagănului celei de a două treaptă de suspensie,

repartiția maselor suspendate a locomotivei pe cele două trepte de suspensie și respectiv elasticitatea suspensiei, s-au determinat prin calcul curbele de variație a pulsăriilor proprii.

Pentru o gamă mare de valori dată vitezei de circulație și pentru cîteva valori ale conicității bandajului, cu ajutorul ecuațiilor diferențiale stabilite pentru un model mecanic ideal, s-a studiat influența acestor parametri asupra vibrațiilor laterale ale locomotivei, precum și stabilitatea ei.

In același capitol se face apoi un studiu al forțelor conducătoare ce apar în punctele de contact ai aparatului de rulare și cale, în funcție de viteză de înaintare a locomotivei.

Acest studiu avînd drept scop obținerea variației în timp a forțelor conducătoare de la buza bandajului, pentru diferite vîze de circulație.

In ultima parte a studiului teoretic, se integrează sistemul de ecuații diferențiale în vederea obținerii diagramelor vibrațiilor laterale, pentru diferite vîze de circulație.

Sistemul de aplicații fiind foarte complicat, rezolvarea lui este aproape imposibilă fără ajutorul calculatoarelor electronice.

De aceea pentru rezolvarea lui s-a recurs la ajutorul mașinilor electronice de calcul de mare capacitate de tip I.R.I.T.S. și L.B.M. din țară și străinătate.

De aici rezultă și concluzia că studiul dinamicii materialului rulant este o problemă grea și pretențioasă care reclamă o bază materială în calculatoare electronice.

Ansamblul studiului teoretic, are drept scop să determine influența calitativă a unor elemente constructive ale ..

comotivei și suspensiei asupra vibrațiilor laterale în vederea îmbunătățirii ei calitative.

Deasemeni, pornind de la faptul că în practica construcției de material rulant, se mai păstrează încă procedeul destul de costisitor ca la construcția unui nou tip de locomotivă să se fabrice prototipuri prin asimilarea unor subansambluri de la alte locomotive existente și apoi experimentarea ei în vederea unor îmbunătățiri, studiul de răță mai are drept scop de a contribui ca la baza realizării unui nou tip de locomotivă cu performanțe mai bune, să stea un studiu teoretic cît mai temoinic. În felul acesta cheltuielile pentru perfecționarea unui prototip construit, se reduc considerabil.

Ultima parte a lucrării cuprinde studiul experimental bazat pe măsurători efective pe tipul de locomotivă studiat, în timpul explorației, având ca scop verificarea unor rezultate teoretice.

Lucrarea se încheie cu concluzii desprinse în urma studiului teoretic și experimental al vibrațiilor laterale ale locomotivei.

C a p i t o l u l I I

MODELUL MECANIC AL LOCOMOTIVEI

2.1. Stabilirea modelului mecanic.

Stabilirea modelului mecanic corespunzător unei locomotive, care să redea cît mai fidel vibrațiile locomotivei ce circulă în aliniament cu viteză variind între zero și peste 100 km/h este o problemă dificilă, deoarece locomotiva este o construcție destul de complexă.

Oricăr am căuta a alege unul din cele mai simple modele mecanice, el ne va duce la scrierea ecuațiilor diferențiale ale vibrațiilor laterale, la un sistem de ecuații complicat a căror rezolvare reclamă în exclusivitate mașini electronice de calcul, numerice sau analogice de o mare capacitate.

Locomotiva diesel - electrică descrisă în capitolul I, având cea mai mare parte a masei sale, suspendată în două trepte de suspensie, o vom considera compusă din trei corpuri suspendate elastic, cutia locomotivei și cele două boghiuri și din sase corpuri nesuspendate elastic, adică cele șase osii montate ale boghiurilor.

Schema modelului mecanic ales, este reprezentată în fig. 2.1 și fig. 2.2., având în vedere următoarile ipoteze de calcul:

1. - Locomotiva în ansamblu, cutia și părțile suspendate ale boghiurilor, sunt simetrice față de planele verticale, longitudinale și transversale, care trec prin centrele de greutate respective.

2. - Locomotiva se mișcă izolat pe o cale rectilinie cu viteză constantă.

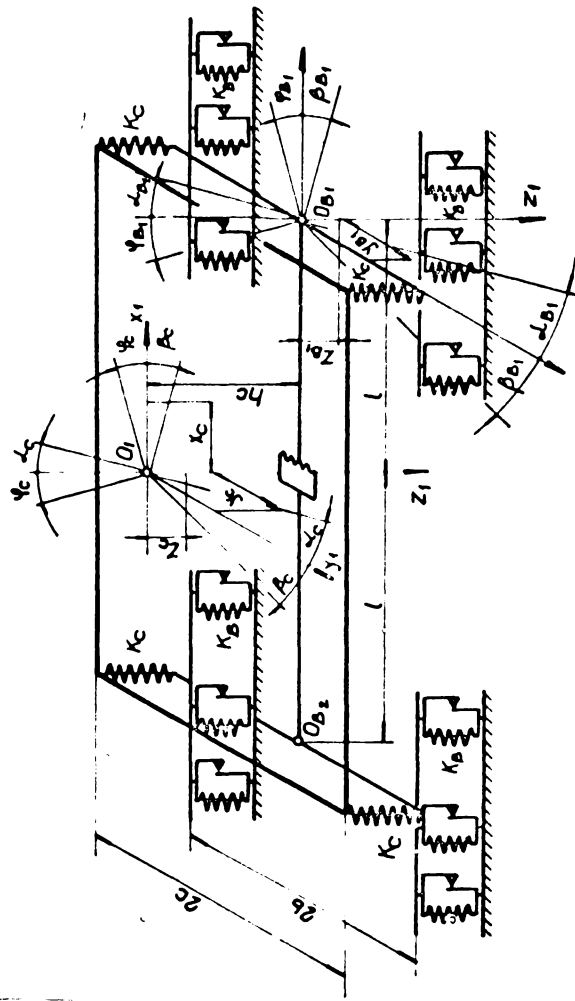


Fig. 2.1

INSTITUTO POLITÉCNICO
DE MONTEVIDEO
BIBLIOTECA CENTRAL

3. - Osiile montate sunt dispuse în cadrul boghiului fără joc longitudinal și transversal.

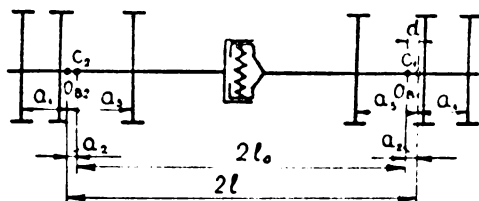


Fig.2.2

4. - Rigiditatea suspensiei locomotivei fiind mult mai mică decât rigiditatea căii de rulare, vom considera calea rigidă.

5. - Nu se va ține seamă în calcule de proprietățile elastice ale părților suspendate a locomotivei și nici de proprietățile inerțiale ale elementelor elastice.

Ca sisteme de axe față de care se studiază mișcările vibratorii ale locomotivei, se alege un sistem absolut de axe care se deplasează rectiliniu și uniform cu viteza locomotivei având originea în centrul de greutate al cutiei locomotivei atunci cînd ea nu vibrează.

Sistemele de axe mobile, legate de părțile componente ale locomotivei se aleg cu originile: pentru cutie, în centrul ei de greutate, iar pentru boghiuri, în centrele lor de rotație la nivelul centrelor de greutate. În ce privesc osiile, originile sistemelor de axe mobile, se aleg în centrele lor de greutate.

Direcțiile axelor se aleg astfel: - axa Ox în lungul căii și în sensul de mers al locomotivei; - axa Oy situată într-un plan orizontal, perpendiculară pe cale, avînd sensul pozitiv înspre firul din dreapta al căii, iar axa Oz orientată după verticală în jos.

Se admite că locomotiva, respectiv elementele ci componente pot efectua următoarele mișcări: cutia și boghiurile pot avea deplasare în lungul celor trei axe de colecție și retragere în jurul lor iar osiile, ca și corpuri separate, numai rotiri în

jurul axelor Ox și Oy. Notând cu x , y , z , deplasările și cu α , φ , β , unghiurile de rotație, fiecare cu indicele "c" pentru cutie, B_{12} pentru boghiuri și O_j $j = 1, 2, 3$ pentru osiile montate ale unui boghiu, vom avea:

$$\left. \begin{array}{l} \text{deplasări} \\ \text{rotiri} \end{array} \right\} \begin{array}{l} x(x_c) \\ y(y_c, y_{B_1}, y_{B_2}) \\ z(z_c, z_{B_1}, z_{B_2}) \\ x(\alpha_c, \alpha_{B_1}, \alpha_{B_2}, \alpha_{O_{1j}}, \alpha_{O_{2j}}) \\ y(\varphi_c, \varphi_{B_1}, \varphi_{B_2}, \varphi_{O_{1j}}, \varphi_{O_{2j}}) \\ z(\beta_c, \beta_{B_1}, \beta_{B_2}) \end{array} \quad (2.1.)$$

Funcțiile de timp $\alpha_{O_{1j}}$ și $\alpha_{O_{2j}}$ ce caracterizează rotirile osiilor în jurul axelor Ox, sunt funcții dependente de cele-lalte funcții de timp.

Deoarece nu există studii ale vibrațiilor acestei locomotive - pentru cele două categorii de vibrații, laterale și verticale - ea fiind o construcție realizată pe bază experimentală, calculele în vederea obținerii ecuațiilor diferențiale ale vibrațiilor, se vor face pentru ambele categorii de vibrații. În final va rezulta că ecuațiile diferențiale ce caracterizează cele două categorii de mișcări vibratoare, se grupează în două sisteme: unul ce descrie vibrațiile laterale și celălalt pe cele verticale.

2.2. Cupla elastică transversală dintre boghiuri.

În cazul unei locomotive cu boghiuri nearticulate, în circulația prin curbe boghiurile au tendința de a merge drept

înainte atacind cu roata din stînga a primei osii și în funcție de viteză, cu cea din dreaptă a ultimei osii, firul exterior și respectiv, firul interior al căii, cînd deplasarea s-ar face că la stînga la dreapta într-o curbă oarecare. Unghiul de atac al roții cu șina fiind funcție de raza de curbură, ampatamentul boghiului și viteza de circulație.

Acestci interacțiuni îi va corespunde o uzură mare, atât a buzei bandajului, cît și a șinei, deci o uzură prematură, atât a căii, cît și a aparatului de rulare. Din partea șinoi va apărea o forță de reacție numită forță directoare - deasemenea funcție de mărimea unghiului de atac - care, la atingerea unei valori critice, va provoca deraerea locomotivei.

Pentru micșorarea unghiului de atac, boghiurile locomotivei au fost cuplate elastic printr-o cuplă elastică transversală cu arcuri pretensionate cu o forță F_0 și prevăzută cu un joc la stînga și la dreaptă de $y_0 = 1 \pm 1$ mm, fig.2.3.

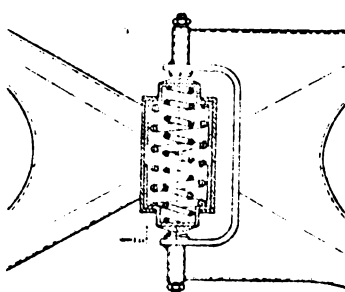


Fig.2.3

La circulația în aliniament, datorită jocului de 1 ± 1 mm, în cazul vibrațiilor mici în jurul poziției de echilibru, boghiurile vor circula liberă pînă la consumarea jocului, apoi ca și articulare, deoarece forța de pretensionare este destul de mare, ca arcurile să nu funcționeze ca și elemente elastice, în acest caz. Ea este învinsă în curbe, cînd cupla va funcționa ca și element elastic, avînd rolul de a micșora unghiul de atac al roții cu șina.

In consecință, caracteristica de funcționare a cuplei fiind neliniară, fig.2.4, la scrierea ecuațiilor diferențiale

La circulația în aliniament, datorită jocului de 1 ± 1 mm, în cazul vibrațiilor mici în jurul poziției de echilibru, boghiurile vor circula liberă pînă la consumarea jocului, apoi ca și articulare, deoarece forța de

ale vibrațiilor laterale, vor rezulta ecuații tot neliniare,

lucru ce duce la îngreunarea rezolvării lor.

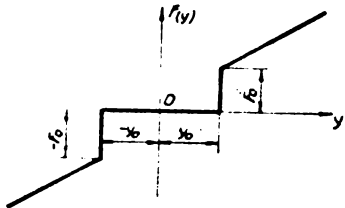


Fig.2.4

element elastic de cuplare a boghiurilor.

Pentru calculul constantei elastice echivalente, s-a folosit metoda dată de Panorko [100] pentru cazul cînd locomotiva circulă într-o curbă de rază $R = 150$ m, cca mai mică admisă pe liniile noastre magistrale.

$$F(y) = k^* y \quad \text{unde} \quad k^* = \frac{5}{2 A^5} \int_{-A}^A F(y) y^3 dy \quad (2.2.)$$

k^* fiind constanta elastică a couplei echivalente, iar $F(y)$, forța din cupla cu caracteristica neliniară, care este definită pe porțiuni.

$$F(y) = \begin{cases} -F_0 + k(y + y_0) & \text{pentru } y < -y_0 \\ 0 & \text{pentru } -y_0 \leq y \leq y_0 \\ F_0 + k(y - y_0) & \text{pentru } y > y_0 \end{cases}$$

Săgeata A corespunzătoare curbei de rază $R = 150$ m folosind formulele din [151] pentru locomotiva D.A.060, va fi de ap-

roximativ 0,15 m.

Inlocuind (2.3.) în (2.2.) și făcind calculele pentru $F_o = 29,1 \text{ kN}$; $y_o = 0,002 \text{ m}$ și $k = 379,6 \text{ kNm}^{-1}$, rezultă:

$$k^* = \frac{5}{2A^5} \left\{ \int_{-A}^{-y_o} [-F_o + k(y + y_o)] y^3 dy + \int_{y_o}^A [F_o + k(y - y_o)] y^3 dy \right\} \quad (2.4.)$$

iar după integrare:

$$k^* = \frac{5}{A^5} \left[\frac{F_o}{4} (A^4 - y_o^4) + \frac{k}{20} (5y_o^5 + 4A^5 - 5y_o A^4) \right] \quad (2.5.)$$

de unde:

$$k^* \approx 618 \text{ kNm}^{-1}$$

2.3. Vibrăriile laterale ale locomotivei.

Se știe că numărul ecuațiilor diferențiale care descriu vibrăriile unui sistem vibrant este egal cu numărul gradelor lui de libertate.

Cel mai simplu vehicul de cale ferată, cum ar fi o locomotivă cu suspensie simplă, are șase grade de libertate și respectiv, șase posibilități de vibrare. Prezența boghiurilor, precum și a legăturilor elastice între cutie și boghiuri, mărește numărul gradelor de libertate și odată cu aceasta apar vibrării ale părților componente ale construcției suspendate, respectiv a boghiurilor și cutia locomotivei.

Atunci cînd construcția suspendată, cît și osiile montate au deplasări relative, atît în plan vertical, cît și în plan orizontal, vibrăriile materialului rulant devin foarte com-

plexă, fiind descrise de un sistem complicat de ecuații diferențiale, cu un număr mare de ecuații. Dacă acest sistem se descompune în alte sisteme sau în simple ecuații, aceasta arată că nu există legături între vibrații sau grupuri de vibrații. Prezența și caracterul legăturii între diferite ecuații determină și caracterul legăturii între diferitele feluri de vibrații. Neglijând unele legături slabe, putem ajunge la descompunerea sistemului de ecuații diferențiale în sisteme mai mici, sau chiar în simple ecuații diferențiale, ceea ce ar ușura în mare măsură integrarea lor.

Vibrațiile oricărui vehicol de cale ferată, se împart în două mari grupe:

a) vibrații laterale - ce au loc în planul orizontal și din care fac parte: deplasarea laterală, șerpuirea și legănarea transversală;

b) vibrații verticale - ce au loc în planul vertical și din care fac parte vibrațiile de recul, galopare și de săltare.

Cea de a doua categorie de vibrații, cum nu face obiectul studiului de față, ne mărginim doar la enumerarea lor, ocupându-ne îndeaproape doar de cele din prima categorie.

Din cauza jocului dintre buza bandajului și șină, a deformării șinei și a bandajelor în zona de contact a roții cu șina, încovoierii și torsunii șinei, a deplasării elastice a șinelor pe traverse și a traverselor pe balast, osia montată se poate deplasa transversal pe cale.

Dacă între osia montată și boghiu nu există joc, s-au există și este destul de mic, atunci se poate considera că odată cu deplasarea în planul orizontal a osiei montate se va deplasa și construcția suspendată a locomotivei, ceea ce înseamnă că poziția construcției suspendate în planul orizontal este determinată prin poziția osilor montate în cale. În acest caz,

că datorită uneia din cauzele de mai sus, construcția suspendată a locomotivei ar ieși din poziția mijlocie a căii, datorită conicității bandajelor, roțile vor avea diametrii de rulare diferenți, ceea ce ar face ca roata cu buza bandajului mai aproape de firul căii să parcurgă un drum mai lung, iar cealaltă, un drum mai scurt și apoi, la contactul cu șina, inversindu-se rourile. Construcției suspendate a locomotivei și în primul rînd, boghiurilor, li se va imprima o mișcare oscilatorie de rotație în jurul axei Oz, numită mișcare de șerpuire.

Simultan cu mișcarea de șerpuire are loc și o deplasare transversală pe firul căii, de-a lungul axei Oy, de la un fir al căii la celălalt, de unde rezultă că mișcarea boghiului este o mișcare compusă din vibrații de șerpuire și de deplasare transversală, fig.

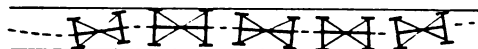


Fig.2.5

căii, tinzînd să restabilească poziția inițială a locomotivei.

Datorită conicității bandajelor, odată cu deplasarea transversală a osilor montate, va apărea și o rotație a osilor în jurul axei longitudinale Ox, care va provoca o deformare a suspensiei părții din dreapta și stînga boghiului, după direcții opuse. Astfel, deplasarea periodică a părților nesuspendate a locomotivei - adică a osilor montate - după direcția transversală, datorită legăturilor elastice dintre ele și construcția suspendată și a inerției ei, îi se va imprima locomotivei o mișcare de legănare transversală.

2.5. La aceste vibrații participînd nu numai părțile suspendate elastic, ci și cele nesuspendate, ele vor provoca apariția unor forțe elastice din partea

Din analiza celor trei mișcări vibratorii, ce constituie vibrațiile laterale ale locomotivei, rezultă că ele sunt legate între ele funcțional.

Este deajuns ca o cauză oarecare să provoace una din aceste mișcări, ca locomotiva să vibreze în toate cele trei feluri.

Capitolul III

STABILIREA FORTELOR CE ACTIONEAZA ASUPRA LOCOMOTIVEI IN CAZUL VIBRATIILOR LATERALE

3.1. Generalități.

Locomotiva diesel - electrică fiind o construcție cu două tronsoane de suspensie, așa cum am văzut în capitolul I și II, datorită neregularităților căii în plan, este nevoie să schimba mișcarea rectilinie într-o mișcare compusă, fig. 2.5, rezultată dintr-o mișcare de rotație în jurul unei axe perpendiculare pe planul căii și o deplasare transversală pe firul căii.

Astfel acesta migdalări vor determina rotirea suspensiei dispozitivului de rapel, ceea ce va duce, datorită arcurilor cu foci, la rotirea cutiei locomotivei în jurul unei axe longitudinale.

Datorită acestei rotiri, componenta transversală a greutății cutiei denumită forță de rapel, va determina rotirea cutiei în poziția inițială de echilibru. Această forță, acționând într-un plan paralel cu căii și în direcție transversală, constituite una din principialele forțe de întreținere a vibrațiilor laterale ale locomotivei.

O altă categorie de forțe ce acționează asupra locomotivei sunt forțele de alunecare elastică (pseudocalunecare sau de kriping) ce apar la contactul dintre roată și șină și care în aliniament au o mare influență asupra vibrațiilor laterale ale locomotivei.

La mersul liber al boghiurilor, ele constituie o parte a forțelor conducătoare a locomotivei. Având o valoare, departe de a fi neglijabilă, este absolut necesar a se lua în considerare la studiul vibrațiilor laterale ale locomotivei.

La mersul locomotivei în linie dreaptă, în absența nerregularităților căii și cind construcția locomotivei este perfect echilibrată, boghiurile locomotivei ar trebui să ocupe poziția liberă pe cale, adică buzele bandajelor să nu atingă şina la nici o roată. Acest lucru însă, nu este posibil în condiții de exploatare, deoarece constructiv, aceste nerregularități ale căii există și niciodată locomotiva nu demarează ocupînd cu boghiurile o poziție liberă - cu punctele de contact dintre roată și şină pe cercurile medii de rulare ale bandajelor.

Neîndeplinindu-se aceste condiții și datorită conicității bandajelor, boghiurile locomotivei vor avea un mers serpuitor, mișcarea purtînd denumirea de - serpuire -

In acest caz, în punctul de contact dintre buza bandajului și şină, va apărea o reacțiune care se va lua în calcul ca o forță elastică, datorită elasticității şinei.

3.2. Determinarea forțelor de rapel datorită rotirii leagănelor cu suspensori pendulari.

Piciorul locomotivei fiind prevăzut cu oile patru leagăne, cîte două pentru fiecare boghiu, punctul de aplicare a calculelor se va considera că cînd roata traieli se mișcă... boghiuri prin intermediul a numai două leagăne, situate în fiecare boghiu în planul vertical transversal, ce trece prin mijlocul arcurilor cu foi.

Pentru ca forța de rapel să fie suficientă pentru re-

ducerea cutiei locomotivei în poziția inițială - la cea mai mică deplasare laterală a boghiurilor - suspensorii sănt inclinați în interior cu $13,2^\circ$ fiecare, fig.3.1.

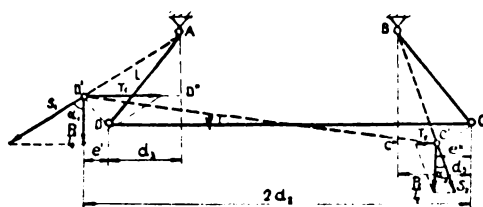


Fig.3.1.

Pentru deplasări mici, în jurul poziției de echilibru, vom considera $e' = e'' = e_{12}$ pentru primul și cel de-al doilea bogiu.

Din figură se vede că:

(3.1.)

$$AD'' = \sqrt{L^2 - (d_3 + e_{12})^2} \text{ și } BC'' = \sqrt{L^2 - (d_3 - e_{12})^2}$$

iar forțele de rapel $F_{B_{12}}$ ale celor două leagăne vor fi egale cu diferența componentelor transversale ale greutății P_c a cutiei.

(3.2.)

$$F_{B_{12}} = T_1 - T_2 = \frac{P_c}{4} (\operatorname{tg} \alpha_1 - \operatorname{tg} \alpha_2) =$$

$$\frac{P_c}{4} \left[\frac{d_3 + e_{12}}{\sqrt{L^2 - (d_3 + e_{12})^2}} - \frac{d_3 - e_{12}}{\sqrt{L^2 - (d_3 - e_{12})^2}} \right]$$

Desvoltînd expresia în serie după puterile lui e_{12} și lăud numai primii termeni, ceilalți neglijîndu-i ca fiind mici, vom obține:

(3.3.)

$$F_{B_{12}} = \frac{P_c}{4L} \left\{ (d_3 + e_{12}) \left[1 + \frac{1}{2} \left(\frac{d_3 + e_{12}}{L} \right)^2 \right] - \right.$$

$$(d_3 - e_{12}) \left[1 + \frac{1}{2} \left(\frac{d_3 - e_{12}}{L} \right)^2 \right] = \frac{P_c}{4L} (2e_{12} + \frac{3d_3^2 e_{12}}{L^2} + \frac{e_{12}^3}{L^2})$$

Neglijînd pe e_{12}^3 , ca fiind foarte mic, obținem expresia forței de rapel în funcție de deplasarea laterală e_{12}

$$F_{B_{12}} = \left(\frac{P_c}{2L} + \frac{3P_c d_3^2}{4L^2} \right) e_{12} \quad (3.4.)$$

Pentru determinarea unghiului de rotire a cutiei locomotivei Ψ_C , datorită deplasării laterale a leagănelor, rezultă că:

(3.5.)

$$\Psi_{C12} = \frac{BC'' - AD''}{2d_2} = \frac{\sqrt{L^2 - (d_3 - e_{12})^2} - \sqrt{L^2 - (d_3 + e_{12})^2}}{2d_2}$$

pe care dezvoltînd-o în serie după puterile lui e_{12} și luînd numai primii doi termeni obținem:

(3.6.)

$$\Psi_{C12} = \frac{L \left[1 - \frac{1}{2} \left(\frac{d_3 - e_{12}}{L} \right)^2 \right] - L \left[1 - \frac{1}{2} \left(\frac{d_3 + e_{12}}{L} \right)^2 \right]}{2d_2}$$

de unde

$$\Psi_{C12} = \frac{d_3 e_{12}}{d_2 L} \quad (3.7.)$$

3.3. Determinarea forțelor de alunecare elastică.

In zona contactului dintre roată și şină, datorită deformării materialului și proprietăților lui elastice, apar forțuri proporționale cu viteza de alunecare elastică.

Expresia acestor eforturi a fost stabilită pe baza teoriei elasticității [48] cu formula:

$$F = K \frac{V_e}{V} \quad (3.8.)$$

unde:

V_e - viteza de alunecare elastică

V - viteza de înaintare a locomotivelor

K - coeficientul de proporționalitate, având dimensiunile unei forțe ce depinde de mărimea suprafetei de contact dintre roată și şină și care are aceeași valoare cînd forța acționează de-a lungul căii sau perpendicular pe cale. Expressia lui de calcul este:

$$K = 291,28 \sqrt{RlP} (1 + \sqrt{1 - q}) . N \quad (3.9.)$$

unde:

R - raza cercului de rulare a roții în mm.

l - lățimea suprafetei de contact în mm.

q - raportul dintre forța de tracțiune realizată și cea maximă care poate fi menținută pînă la patinare.

P - sarcina pe roată în N.

Dimensiunile suprafetei de contact se pot obține cu formulele

$$(3.10.)$$

$$a = m \sqrt{\frac{3\pi P(k_1 + k_2)}{4(A + B)}} ; \quad b = n \sqrt{\frac{3\pi P(k_1 + k_2)}{4(A + B)}}$$

unde:

$$k_1 = \frac{1 - \nu_1^2}{\pi E_1} ; \quad k_2 = \frac{1 - \nu_2^2}{\pi E_2}$$

a, b - semiaxele elipsei suprafetei de contact;

ν_1, ν_2 - coeficienții lui Poisson;

E_1, E_2 - modulele de elasticitate;

m, n - coeficienți dependenți de raportul $\frac{B - A}{B + A}$;

$$B + A = \frac{1}{2} \left(\frac{1}{R_1} + \frac{1}{R'_1} + \frac{1}{R_2} + \frac{1}{R'_2} \right) \quad (3.11.)$$

$$B - A = \frac{1}{2} \left[\left(\frac{1}{R_1} - \frac{1}{R'_1} \right)^2 + \left(\frac{1}{R_2} - \frac{1}{R'_2} \right)^2 + \right.$$

$$\left. + 2 \left(\frac{1}{R_1} - \frac{1}{R'_1} \right) \left(\frac{1}{R_2} - \frac{1}{R'_2} \right) \cos 2\psi \right]^{\frac{1}{2}}$$

R_1, R_2 - raza roții și a suprafetei ciupercii șinei

R'_1 - raza șinei în plan longitudinal

R'_2 - raza concavitatei suprafetei bandajului,

ceea ce înseamnă că în realitate avem de a face atât cu uzura și curbura șinei, cât și cu uzura bandajului, astfel încât conicitatea bandajului nu rămâne constantă.

Datorită acestui fapt se poate întâmpla ca semiaxele elipsei de contact să-și schimbe locurile sau să fie egale. Tinând cont și de egalitatea coeficientului K longitudinal și transversal, rezultă că în expresia lui K se va putea lua în loc de ℓ , diametrul cercului având aria egală cu aria suprafeței eliptice de contact, adică: $\frac{\pi R^2}{2} = \pi ab$ și vom obține:

$$t = d = 2 \sqrt{ab} , \quad (3.12.)$$

iar formula (3.9.) devine:

$$K = 291,28 \sqrt{2RP} \sqrt{ab} (1 + \sqrt{1 - q}) \quad (3.13.)$$

Semiaxele elipsei au fost măsurate de unii cercetători sovietici, pentru locomotiva electrică EP₁, cu ajutorul unei foite de aluminiu de 0,05 mm introdusă sub roată la porneire. Rezultatele obținute experimental fiind foarte apropiate de cele obținute prin calcul.

O contribuție importantă în determinarea rapidă a coeficientului K, cu o formulă mult simplificată, a avut-o Carter [54] care recomandă pentru calcul, formula:

$$K = 2,5 \sqrt{PR} \text{ kN} \quad (3.14.)$$

unde: P - sarcina pe roată în N

R - raza cercului de rulare în mm.

Viteza de alunecare elastică a punctului de contact dintre roată și şină, se va calcula în felul următor:

Coordonatele absolute ale oricărui punct arbitrar de pe cea de a j-a osie montată se determină cu relațiile:

$$x_{1j} = x_{0j} + \alpha_{1j} x_j + \alpha_{2j} y_j + \alpha_{3j} z_j$$

$$y_{1j} = y_{0j} + \beta_{1j} x_j + \beta_{2j} y_j + \beta_{3j} z_j \quad (3.15.)$$

$$z_{1j} = z_{0j} + \delta_{1j} x_j + \delta_{2j} y_j + \delta_{3j} z_j$$

unde: x_{0j}, y_{0j}, z_{0j} - coordonatele absolute ale originii sistemului mobil, legat de cea de a j-a osie.
 x_j, y_j, z_j - coordonatele relative ale unui punct oarecare de pe osie
 $\alpha_j, \beta_j, \gamma_j$ - cosinusii directori ai axelor sistemului mobil, fata de cel fix, a caror notatii si expresii in functie de unghiurile de rotire [48] sunt date in tabelul de mai jos.

tabela 1

	\bar{l}_j	\bar{j}_j	\bar{k}_j
\bar{l}_1	α_{1j}	α_{2j}	α_{3j}
\bar{j}_1	β_{1j}	β_{2j}	β_{3j}
\bar{k}_1	γ_{1j}	γ_{2j}	γ_{3j}

tabela 2

	\bar{l}_j	\bar{j}_j	\bar{k}_j
\bar{l}_1	1	$-\beta_{0i}$	φ_{0ij}
\bar{j}_1	β_{0i}	1	$-\alpha_{0ij}$
\bar{k}_1	$-\varphi_{0ij}$	α_{0ij}	1

(3.16.)

$$i = 1, 2$$

$$j = 1, \dots, 6$$

Coordonatele punctului de contact al rotii cu sina,

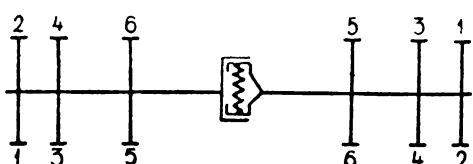


Fig. 3.2

$$z_j = R + \varepsilon_1 \mu (y_{Bi} - \varepsilon_2 a_k \beta_{Bi})$$

$$x_j = \varepsilon_1 \mu R \beta_{Bi} \quad (3.17.)$$

$$y_j = \varepsilon_1 s - y_{Bi} + \varepsilon_2 a_k \beta_{Bi}$$

INSTITUTUL POLITEHNIC
TIMISOARA
BIBLIOTECĂ CENTRALĂ

unde: $j = 1, 2, \dots, 6$ pentru cele 6 roți ale fiecărui boghiu

$i = 1, 2$ pentru cele două boghiuri

$k = 1, 2, 3$ pentru fiecare osie a unui boghiu

$$\varepsilon_1 = \begin{cases} -1 & \text{pentru roțile cu număr impar} \\ +1 & \text{pentru roțile cu număr par} \end{cases}$$

$$\varepsilon_2 = \begin{cases} -1 & \text{pentru prima și a doua osie} \\ +1 & \text{pentru a treia osie} \end{cases}$$

ε_1 și ε_2 ia valorile de mai sus pentru primul boghiu, iar pentru al doilea boghiu, cu semn schimbat.

Viteza unghiulară a oricărui punct de pe osia montată, în proiecție pe sistemul de axe mobil este:

$$\omega_{xj} = \dot{\alpha}_{0ij} \quad \omega_{yj} = \dot{\varphi}_{0ij} - \omega \quad \omega_z = \dot{\beta}_{Bi} \quad (3.18.)$$

Cu relațiile (3.17.), (3.18.) și ținând cont de formulele de distribuție a vitezei unui punct pe sistemul de axe mobil,

$$v_x = z_j \omega_y - y_j \omega_z$$

$$v_y = x_j \omega_z - z_j \omega_x$$

$$v_z = y_j \omega_x - x_j \omega_y$$

(3.19.)

Vitezele punctelor de contact dintre roată și şină în proiecție pe sistemul de axe mobil sint:

$$v_{xj} = -\omega R - \varepsilon_1 \mu (y_{Bi} - \varepsilon_2 a_k \beta_{Bi}) \omega + R \dot{\varphi}_{0ij} - \varepsilon_1 s \dot{\beta}_{Bi}$$

$$v_{yj} = -s \dot{\alpha}_{0ij}$$

$$v_{zj} = \varepsilon_1 s \dot{\alpha}_{0ij} + \varepsilon_1 \mu R \omega \beta_{Bi}$$

Având proiecțiile vitezei punctului de contact dintre roată și șină, pe sistemul de axe mobil, cu ajutorul unor relații corespunzatoare relațiilor (3.15.) și a tabelului 2, proiecțiile vitezelor acestor puncte, pe sistemul de axe fix, cu condiția ca $\dot{\varphi}_j = 0$ și ținind cont de viteza de înaintare a locomotivei, vor fi:

$$\begin{aligned} v_{1xj} &= \dot{x}_c - \varepsilon_1 \mu (y_{Bi} - \varepsilon_2 \alpha_k \beta_{Bi}) \omega + R \dot{\varphi}_{0ij} - \varepsilon_1 s \dot{\beta}_{Bi} \\ v_{1yj} &= \dot{y}_{Bi} - \varepsilon_2 \alpha_k \dot{\beta}_{Bi} - \omega R \beta_{Bi} - R \dot{\alpha}_{0ij} \quad (3.21.) \\ v_{1zj} &= \varepsilon_1 s \dot{\alpha}_{0ij} - \varepsilon_1 \mu R \omega \beta_{Bi} \end{aligned}$$

Aceste relații reprezintă proiecțiile vitezei absolute de alunecare elastică a punctului de contact dintre roată și șină. Substituite în formula lui Carter, obținem proiecțiile forțelor de interacțiune dintre roată și șină.

Expresiile acestor forțe sunt:

$$\begin{aligned} F_{x_{1j}} &= -K \left[\frac{\dot{x}_c}{v} - \frac{\mu}{R} (y_{Bi} - \varepsilon_2 \alpha_k \beta_{Bi}) \varepsilon_1 + \frac{\dot{\varphi}_{0ij}}{\omega} - \varepsilon_1 \frac{s \dot{\beta}_{Bi}}{v} \right] \quad (3.22.) \\ F_{y_{1j}} &= -K \left[\frac{1}{v} (\dot{y}_{Bi} - \varepsilon_2 \alpha_k \dot{\beta}_{Bi}) - \beta_{Bi} - \frac{\dot{\alpha}_{0ij}}{\omega} \right] \end{aligned}$$

În fiecare punct de contact dintre roată și șină, acționînd cîte două forțe componente, rezultă că asupra locomotivei vor acționa un număr de 18 asemenea forțe.

3.4. Determinarea forțelor elastice ale șinelor, la contactul buzelor bandajului cu șina.

La circulația în mijlocul unui tren de locomotive, am ară-

tat că datorită unor cauze constructive, sau de altă natură, ea se deplasează pe cale printr-o mișcare vibratorie de șerpuire.

Această mișcare a locomotivei poate avea loc datorită jocului dintre buza bandajului și șină, de o parte și de alta, egal cu $\sigma = 5 \text{ mm}$, fig.3.3.

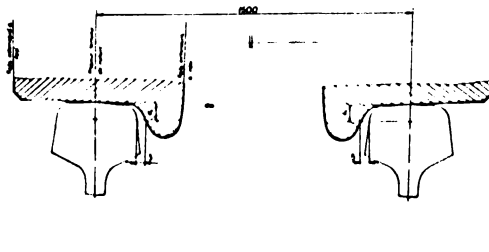


Fig.3.3

Construcția locomotivei este realizată în astă fel, încât oricare ar fi deplasarea laterală a primei și ultimei osii montante dintr-un boghiu, cea de a doua osie a fiecărui boghiu nu va atinge gina, cu buza bandajului..

Aceasta înseamnă că dacă deplasarea laterală a acestor osii nu depășește în mărime jocul σ de la buza bandajului, boghiul respectiv, sau întreaga locomotivă, va circula în poziția "liberă" pe cale, fig.3.4.a. În acest caz va trebui să fie verificată condiția:

$$y_{Bi} - \varepsilon_2 a_k \beta_{Bi} \leq \pm \sigma \quad (3.23.)$$

Această poziție de mers locomotiva poate avea numai atunci cînd ea circulă în aliniament. Tot liberă se va numi și poziția pe care o va ocupa boghiul, fig.3.4.b, atunci cînd condiția (3.23.) nu este verificată doar de prima osie a boghiului.

Dacă condiția (3.23.) nu este verificată de cele două osii extreme ale boghiului, fiecare atacând cîte un fir al e.t., fig.3.4.c, atunci boghiul, respectiv locomotiva, va circula ...

poziția "în diagonală".

Dacă relația (3.23.) nu va fi satisfăcută de ambele osii ale unui boghiu, atacînd fiecare osie același fir al căii, boghiul, respectiv locomotiva, va circula în poziția "în coardă", fig.3.4.d.

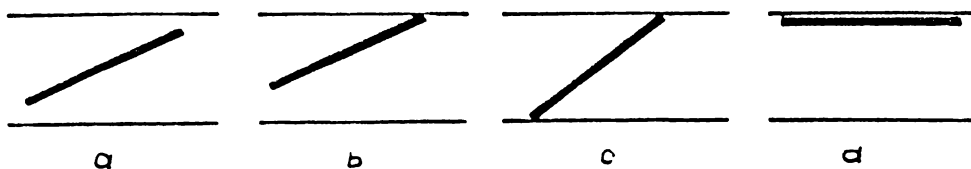


Fig.3.4

Odată cu consumarea jocului $\pm \bar{\theta}$ de către una din cele două osii montate ale unui boghiu, buza bandajului roții respective va ataca șina într-un punct, obligînd-o să se deformeze în planul căii. Datorită elasticității șinei, ea va reacționa asupra roții cu o forță elastică.

$$F'_{y_{lj}} = K_l(y_{Bi} - \varepsilon_2 a_k \beta_{Bl} \mp \bar{\theta}) \quad (3.24.)$$

unde cu K_l am notat constanta elastică a șinei.

Apariția acestor forțe, numite tot forțe conducătoare ca și forțele de pseudoalunecare, (3.22.) provoacă uzură, atât a bandajului, cât și a șinei. Prezența lor, desigur, este nedoreită, dar inevitabilă. De aceea în studiile care urmează se vor căuta soluții pentru ca ele să fie cât mai mici.

Rezolvarea sistemului de ecuații diferențiale, care descrie vibrațiile laterale ale locomotivei, ținînd seamă de aceste forțe, transformă sistemul de ecuații, dintr-un sistem liniar, în unul liniar pe perioadi, ceea ce îngreunează mult rezolvarea lui.

C a p i t o l u l IV

STABILIREA ECUATIILOR DIFERENTIALE ALE

VIBRATIILOR LATERALE

4.1. Generalități.

Pentru deducerea acestor ecuații, se consideră că locomotiva vibrează în vecinătatea poziției de echilibru, cu amplitudini mici.

Interesindu-ne numai ecuațiile diferențiale ale vibrațiilor laterale și cum de la început nu știm dacă acestea sînt, sau nu, cuplate cu vibrațiile verticale, se vor stabili ecuații de diferențiale care descriu toate vibrațiile locomotivei.

In acest scop se vor folosi ecuațiile lui Lagrange de speță II-a.

$$\frac{d}{dt} \left(\frac{\partial E_c}{\partial \dot{q}_i} \right) - \frac{\partial E_c}{\partial q_i} + \frac{\partial E_p}{\partial q_i} = Q_i \quad (4.1.)$$

și modelul mecanic ales în figura 2.1.

4.2. Calculul energiei cinetice.

Pentru determinarea coordonatelor absolute a centrului de greutate al cutiei locomotivei se vor folosi relațiile de formă:

$$x_1 = x_o + x_i \alpha_1 + y_i \alpha_2 + z_i \alpha_3 \quad (4.2.)$$

$$y_1 = y_o + x_i \beta_1 + y_i \beta_2 + z_i \beta_3$$

$$z_1 = z_o + x_i \hat{f}_1 + y_i \hat{f}_2 + z_i \hat{f}_3$$

unde: x_o, y_o, z_o - sunt coordonatelor absolute ale originii sistemului mobil legat de cutia locomotivei;

x_i, y_i, z_i - sunt coordonatele relative ale centrului de greutate al cutiei locomotivei;

$\alpha_i, \beta_i, \gamma_i; i = 1, 2, 3$ - sunt cosinusii directori ai sistemului de axe mobil, față de cel absolut, ale căror valori, în funcție de rotirile alese pentru modelul mecanic din figura(2.1.) și stabilită cu ajutorul unghiurilor lui Euler [48], sunt date în tabelele 1 și 2.

taboul 1

	\bar{i}_i	\bar{j}_i	\bar{k}_i
\bar{i}_1	α_1	α_2	α_3
\bar{j}_1	β_1	β_2	β_3
\bar{k}_1	\hat{f}_1	\hat{f}_2	\hat{f}_3

taboul 2

(4.3.)

	\bar{i}_i	\bar{j}_i	\bar{k}_i
\bar{i}_1	1	$-\beta_c$	φ_c
\bar{j}_1	β_c	1	$-\alpha_c$
\bar{k}_1	$-\varphi_c$	α_c	1

Coordonatele relative ale centrului de greutate al cutiei fiind $x_i = 0, y_i = 0, z_i = 0$ și coordonatele absolute ale originii sistemului mobil $x_o = x_c, y_o = y_c, z_o = z_c$, rezultă coordonatele absolute ale centrului de greutate ca fiind:

$$x_{lc} = x_c, \quad y_{lc} = y_c, \quad z_{lc} = z_c \quad (4.4.)$$

Derivând aceste relații, obținem viteza absolută a centrului de greutate, proiecția pe sistemul de axe fix:

$$\dot{x}_{lc} = \dot{x}_c \quad \dot{y}_{lc} = \dot{y}_c \quad \dot{z}_{lc} = \dot{z}_c \quad (4.5.)$$

Atunci, energia cinetică a cutiei este:

$$E_{cc} = \frac{1}{2} M_c (\dot{x}_c^2 + \dot{y}_c^2 + \dot{z}_c^2) + \frac{1}{2} I_{Gx}^c (\dot{\alpha}_c + \dot{\psi}_c)^2 + \\ \frac{1}{2} I_{Gy}^c \dot{\psi}_c^2 + \frac{1}{2} I_{Gz}^c \dot{\beta}_c^2 \quad (4.6.)$$

unde: $\dot{\psi}_c$ este viteza unghiulară de rotație a cutiei locomotivei, datorită rotirii leagănelor corespunzătoare deplasării laterale a cutiei.

Ea se calculează cu ajutorul formulei (3.7.)

$$\dot{\psi}_c = \frac{\dot{\psi}_{c1} + \dot{\psi}_{c2}}{2} = \frac{d_3}{d_2 L} \frac{\dot{e}_1 + \dot{e}_2}{2} = \frac{d_3}{d_2 L} (y_c - h_c \dot{\alpha}_c - \frac{\dot{y}_{B1} + \dot{y}_{B2}}{2}) \quad (4.7.)$$

unde, conform figurii (3.1.), cu ajutorul tabelului 2 și relațiilor (4.2.), deplasările laterale e_1 și e_2 ale fiecărui leagăn, situat în planul vertical de rezemare al cutiei, sint:

$$e_1 = y_c + l \beta_c - h_c \dot{\alpha}_c - y_{B_1} \quad (4.8.)$$

$$e_2 = y_c - l \beta_c - h_c \dot{\alpha}_c - y_{B_2}.$$

Pentru determinarea energiei cinetice a boghiurilor, vom folosi aceeași metodă, unde tuboul cosinugilor directori a sistemului de axe mobili leuat de boghiu, răză de cel absolut, este:

tabelul 3

\bar{i}_{B_i}	\bar{j}_{B_i}	\bar{k}_{B_i}
\bar{i}_1	1	$-\beta_{Bi}$
\bar{j}_1	β_{Bi}	1
\bar{k}_1	$-\varphi_{Bi}$	$-\alpha_{Bi}$
		1

$i = 1, 2.$

Coordonatele relative ale centrului de greutate a unui boghiu sănt:

$$x_1 = \mp d$$

(4.9.)

$$y_1 = 0$$

$$z_1 = 0$$

și cele ale originii sistemului de axe mobil față de cel fix:

(4.10.)

$$x_{oB_1} = x_c \mp l$$

$$y_{oB_1} = y_{B_1}$$

$$z_{oB_1} = z_{B_1} + h_c$$

Boghiurile neavind deplasări longitudinale față de cutie, coordonatele absolute ale centrului de greutate și proiecțiile vitezei lui pe axele sistemului fix, sănt:

(4.11.)

$$x_{1B_1} = x_c \mp l \mp d$$

$$\dot{x}_{1B_1} = \dot{x}_c$$

$$y_{1B_1} = y_{B_1} \mp d \beta_{Bi} \quad \text{și} \quad \dot{y}_{1B_1} = \dot{y}_{B_1} \mp d \dot{\beta}_{Bi}$$

$$z_{1B_1} = z_{B_1} + h_c \mp d \varphi_{Bi}$$

$$\dot{z}_{1B_1} = \dot{z}_{B_1} \mp d \dot{\varphi}_{Bi}$$

Energia cinetică, corespunzătoare celor două boghiuri, va fi:

(4.12.)

$$\begin{aligned}
 E_{cB} = & \frac{1}{2} m \left[\dot{x}_c^2 + (\dot{y}_{B_1} - d \dot{\beta}_{B_1})^2 + (\dot{z}_{B_1} + d \dot{\phi}_{B_1})^2 \right] + \\
 & \frac{1}{2} I_{Gx}^B \dot{\alpha}_{B_1}^2 + \frac{1}{2} I_{Gy}^B \dot{\varphi}_{B_1}^2 + \frac{1}{2} I_{Gz}^B \dot{\beta}_{B_1}^2 + \\
 & \frac{1}{2} m \left[\dot{x}_c^2 + (\dot{y}_{B_2} + d \dot{\beta}_{B_2})^2 + (\dot{z}_{B_2} - d \dot{\phi}_{B_2})^2 \right] + \\
 & \frac{1}{2} I_{Gx}^B \dot{\alpha}_{B_2}^2 + \frac{1}{2} I_{Gy}^B \dot{\varphi}_{B_2}^2 + \frac{1}{2} I_{Gz}^B \dot{\beta}_{B_2}^2 .
 \end{aligned}$$

Procedind la fel pentru energia cinetică a osiilor și ținând seamă că osia montată nu are deplasări și nici rotiri față de cadrul boghiului în plan orizontal, atunci:

$$x_{oik} = x_c \pm l + a_{ik}$$

$$y_{oik} = y_{B_1} + a_{ik} \beta_{Bi} \quad (4.13.)$$

$$z_{oik} = h_o$$

și

$$x_k = 0 \qquad y_k = 0 \qquad z_k = 0$$

tabelul 4

	i_{ok}	j_{ok}	k_{ok}
\bar{i}_1	1	$-\beta_{Bi}$	φ_{oik}
\bar{j}_1	β_{Bi}	1	$-\alpha_{olk}$
\bar{k}_1	$-\varphi_{oik}$	α_{olk}	1

$$k = 1, 2, 3$$

Tabelul cosinușilor directori este cel alăturat, iar coordonatele absolute ale centrelor de greutate ale osiilor sint:

$$x_{loik} = x_c \pm l + a_{ik} \quad (4.14.)$$

$$y_{loik} = y_{B_1} + a_{ik} \beta_{Bi}$$

$$z_{loik} = 0$$

Viteza centrului de greutate proiectată pe cele trei axe, este:

(4.15.)

$$\dot{x}_{loik} = \dot{x}_c \quad \dot{y}_{loik} = \dot{y}_{B_1} + a_{ik} \dot{\beta}_{Bi}; \quad \dot{z}_{loik} = 0$$

Energia cinetică, corespunzatoare celor șase osii, este:

$$E_{co} = \frac{1}{2} m_o \left[6\dot{x}_c^2 + (\dot{y}_{B_1} + a_{ik} \dot{\beta}_{Bi})^2 \right] + \frac{1}{2} I_{Gx}^o (\dot{\alpha}_{0ik}^2 + \dot{\alpha}_{02k}^2) + \\ + \frac{1}{2} I_{Gy}^o (\dot{\varphi}_{0ik}^2 + \dot{\varphi}_{02k}^2); \quad (4.16.)$$

unde: $\dot{\alpha}_{0ik}$ și $\dot{\alpha}_{02k}$ sunt vitezele unghiulare corespunzatoare rotirii osiilor în jurul axelor O_1x_1 datorită deplasării lor laterale.

Aceste rotiri se pot determina în funcție de celelalte funcții de timp ce determină poziția locomotivei la un moment dat. Deoarece alunecarea elastică a roții pe șină are loc în planul tangent la roată, pentru punctul de tangență există relația între proiecțiile vitezei punctului.

$$v_{1zj} = \mu v_{lyj} \quad (4.17.)$$

Din care, după suostituirea vitezelor respective cu ex-

presiile lor (3.21) rezultă expresiile vitezelor unghiulare:

$$\dot{\alpha}_{01K} = \frac{\mu (\dot{y}_{B_1} - \varepsilon_2 a_k \dot{\beta}_{B_1})}{\mu R - s} \quad (4.18)$$

$$\dot{\alpha}_{02K} = \frac{\mu (\dot{y}_{B_2} - \varepsilon_2 a_k \dot{\beta}_{B_2})}{\mu R - s}$$

unde: ε_2 și a_k păstrează aceeași semnificație ca în capitolul III.

Dezvoltind relațiile (4.6.), (4.12.), (4.16.) ținind seama de (4.7.), (4.8.) și (4.18.), energia cinetică a locomotivei este:

(4.19.)

$$\begin{aligned} E_c &= \frac{1}{2} (M_c + 2m + 6m_o) \dot{x}_c^2 + \frac{1}{2} \left[M_c + I_{Gx}^c \left(\frac{d_3}{d_2 L} \right)^2 \dot{y}_c^2 + M_c \dot{z}_c^2 \right. \\ &\quad \left. + \frac{1}{2} \left[I_{Gx}^c - 2I_{Gx}^c \frac{d_3 h_c}{d_2 L} + I_{Gx}^c \left(\frac{d_3 h_c}{d_2 L} \right)^2 \right] \dot{\alpha}_c^2 + \frac{1}{2} I_{Gy}^c \dot{\varphi}_c^2 + \right. \\ &\quad \left. + \frac{1}{8} I_{Gx}^c \left(\frac{d_3}{d_2 L} \right)^2 (\dot{y}_{B_1} - \dot{y}_{B_2})^2 - \frac{1}{2} I_{Gx}^c \left(\frac{d_3}{d_2 L} \right)^2 \dot{y}_c (\dot{y}_{B_1} + \dot{y}_{B_2}) \right. \\ &\quad \left. + \left[I_{Gx}^c \frac{d_3}{d_2 L} - I_{Gx}^c \left(\frac{d_3}{d_2 L} \right)^2 h_c \right] \dot{\alpha}_c \dot{y}_o + \frac{1}{2} \left[I_{Gx}^c \left(\frac{d_3}{d_2 L} \right)^2 h_c \right. \right. \\ &\quad \left. \left. - I_{Gx}^c \frac{d_3}{d_2 L} \right] \dot{\alpha}_c (\dot{y}_{B_1} + \dot{y}_{B_2}) + \frac{1}{2} \left[m + 3m_o + 3I_{Gx}^c \frac{\mu^2}{(\mu R - s)^2} \right] \right. \\ &\quad \left. (\dot{y}_{B_1}^2 + \dot{y}_{B_2}^2) + \frac{1}{2} m(z_{B_1}^2 + z_{B_2}^2) + \frac{1}{2} \left[md^2 + I_{Gz}^B + (a_1^2 + a_2^2) \right. \right. \\ &\quad \left. \left. + a_3^2 (m_o + I_{Gx}^o \frac{\mu^2}{(\mu R - s)^2}) \right] (\dot{\beta}_{B_1}^2 + \dot{\beta}_{B_2}^2) + \frac{1}{2} (md^2 + I_{Gy}^B \right. \end{aligned}$$

$$\begin{aligned}
 & (\dot{\varphi}_{B_1}^2 + \dot{\varphi}_{B_2}^2) + \frac{1}{2} I_{Gx}^B (\dot{\alpha}_{B_1}^2 + \dot{\alpha}_{B_2}^2) + \left[(a_1 + a_2 - a_3)m_0 \right. \\
 & + (a_1 + a_2 - a_3) I_{Gx}^0 \frac{\mu^2}{(\mu_{R-S})^2} - md \left. \right] (\dot{y}_{B_1} \dot{\beta}_{B_1} - \dot{y}_{B_2} \dot{\beta}_{B_2}) \\
 & + md(\dot{z}_{B_1} \dot{\varphi}_{B_1} - \dot{z}_{B_2} \dot{\varphi}_{B_2}) + \frac{1}{2} I_{Gy}^B (\dot{\varphi}_{O1k}^2 + \dot{\varphi}_{O2k}^2) + \frac{1}{2} I_{Gz}^C \dot{\beta}_C^2
 \end{aligned}$$

4.3. Calculul energiei potențiale.

Se va determina ca suma energiilor potențiale, datorită deformațiilor elastice a suspensiei.

Suspensia boghiului pe osii este realizată prin 12 arcuri elicoidale, cîte patru pentru fiecare osie, iar suspensia primei și celei de a doua osie, cuplată printr-un balansier de o parte și de alta a boghiului. Pentru ușurarea calculelor, suspensiile acestor două osii, se vor înlocui cu o suspensie echivalentă în punctul de articulație a balansierului, avînd constanta elastică echivalentă $k' = 4k$, iar pentru osia a treia, cu una în centrul osiei, cu constanta elastică echivalentă $k'' = 2k$ (fig.4.1.)

Intrucît între cutie și boghiuri, suspensia este realizată prin arcuri cu foi, cutia va avea deplasări elastice numai după axa $O_1 z_1$.

Calculind deformația fiecărui arc cu ajutorul relațiilor de forma (4.2.) și tabelelor 2, 3 și 4 și apoi energia potențială corespunzătoare, cu formula:

$$F_p = \frac{1}{2} k \Delta h^2 \quad (4.20.)$$

Energia potențială a locomotivei este:

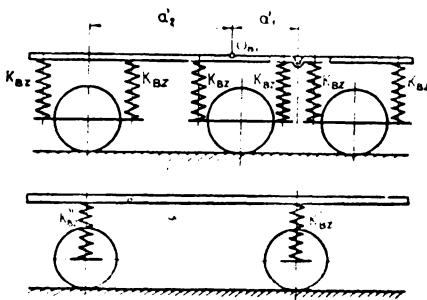


Fig. 4.1

$$\begin{aligned}
 E_p = & \frac{1}{2} k_{cz} \left[(z_0 - l\varphi_c + b\alpha_c - z_{B_1} - b\alpha_{B_1})^2 + (z_c - l\varphi_c - \right. \\
 & \left. - b\alpha_c - z_{B_1} + b\alpha_{B_1})^2 + (z_c + l\varphi_c + b\alpha_c - z_{B_2} - b\alpha_{B_2})^2 \right. \\
 & + (z_c + l\varphi_c - b\alpha_c - z_{B_2} + b\alpha_{B_2})^2 \left. \right] + \frac{1}{2} k_{Bz}^1 \left[(z_{B_1} - \right. \\
 & \left. - a_1^1 \varphi_{B_1} + c\alpha_{B_1} - c\alpha_{01k})^2 + (z_{B_1} - a_1^1 \varphi_{B_1} - c\alpha_{B_1} + \right. \\
 & \left. + c\alpha_{01k})^2 + (z_{B_2} + a_1^1 \varphi_{B_2} + c\alpha_{B_2} - c\alpha_{02k})^2 + (z_{B_2} + \right. \\
 & \left. + a_1^1 \varphi_{B_2} - c\alpha_{B_2} + c\alpha_{02k})^2 \right] + \frac{1}{2} k_{Bz}^2 \left[(z_{B_1} + a_2^1 \varphi_{B_1} + \right. \\
 & \left. + c\alpha_{B_1} - c\alpha_{01k})^2 + (z_{B_1} + a_2^1 \varphi_{B_1} - c\alpha_{B_1} + c\alpha_{01k})^2 + \right. \\
 & \left. + (z_{B_2} - a_2^1 \varphi_{B_2} + c\alpha_{B_2} - c\alpha_{02k})^2 + (z_{B_2} - a_2^1 \varphi_{B_2} - \right. \\
 & \left. - c\alpha_{B_2} + c\alpha_{02k})^2 \right] + \frac{1}{2} k^* \left[y_{B_1} - y_{B_2} - l(\beta_{B_1} + \beta_{B_2}) \right]^2
 \end{aligned}$$

k^* - este constanta elastică echivalentă a cuplei elastice transversale dintre boghiuri, determinată la paragraful (3.4.)

$\alpha_{01k}, \alpha_{02k}$ - sunt unghiurile de rotire a celor șase osii a boghiurilor care se obțin prin integrarea relațiilor (4.18.)

(4.22.)

$$\alpha_{01k} = \frac{\mu (y_{B_1} - \varepsilon_2 a_k \beta_{B_1})}{\mu R - s} ; \quad \alpha_{02k} = \frac{\mu (y_{B_2} - \varepsilon_2 a_k \beta_{B_2})}{\mu R - s}$$

Dezvoltând expresia energiei potențiale (4.21.) ținind seama de (3.7.), (4.8.) și (4.22) se obține:

$$\begin{aligned} E_p = & \frac{1}{2} k_{cz} \left[4z_c^2 + 4l^2 \varphi_c^2 + 4b^2 \alpha_c^2 + 2(z_1^2 + z_2^2) + \right. \\ & + 2b^2(\alpha_1^2 + \alpha_2^2) - 4z_c(z_{B_1} + z_{B_2}) + 4l\varphi_c(z_{B_1} - z_{B_2}) \\ & - 4b^2 \alpha_c (\alpha_{B_1} + \alpha_{B_2}) \Big] + 2 \frac{1}{2} (k'_{Bz} + k''_{Bz}) \left[z_{B_1}^2 + z_{B_2}^2 + \right. \\ & + c^2(\alpha_{B_1}^2 + \alpha_{B_2}^2) + \frac{c^2 \mu^2}{(\mu R - s)^2} (y_{B_1}^2 + y_{B_2}^2) - 2 \frac{c^2 \mu}{\mu R - s} \\ & (y_{B_1} \alpha_{B_1} + y_{B_2} \alpha_{B_2}) \Big] + 2 \frac{1}{2} (k'_{Bz} a_1'^2 + k''_{Bz} a_2'^2) \left[\varphi_{B_1}^2 + \varphi_{B_2}^2 + \right. \\ & + \frac{c^2 \mu^2}{(\mu R - s)^2} (\beta_{B_1}^2 + \beta_{B_2}^2) \Big] + 4 \frac{1}{2} (k'_{Bz} a_1' - k''_{Bz} a_2') \\ & \left[\frac{c^2 \mu^2}{(\mu R - s)^2} (y_{B_1} \beta_{B_1} - y_{B_2} \beta_{B_2}) - (z_{B_1} \varphi_{B_1} - z_{B_2} \varphi_{B_2}) - \frac{c^2 \mu}{\mu R - s} \right] \end{aligned}$$

$$(\alpha_{B_1}\beta_{B_1} - \alpha_{B_2}\beta_{B_2}) + \frac{1}{2} k^* \left[y_{B_1}^2 + y_{B_2}^2 + l^2 (\beta_{B_1}^2 + \beta_{B_2}^2) - 2y_{B_1}y_{B_2} - 2l(y_{B_1} - y_{B_2})(\beta_{B_1} + \beta_{B_2}) + 2l^2 \beta_{B_1}\beta_{B_2} \right].$$

4.4. Calculul forțelor generalizate

4.4.1. Forțele generalizate datorită rotirii leagănelor.

La paragraful (3.2.) s-a stabilit formula (3.4.) a forțelor de rapel datorită rotirii leagănelor în care e_1 și e_2 sunt date de relațiile (4.8.).

Dacă se fac înlocuirile necesare, cele două forțe corespunzătoare celor două leagăne să intă:

$$F_{B_1} = \frac{P_c}{2L} \left(1 + \frac{3d_3^2}{2L} \right) (y_c + l\beta_c - h_c\alpha_c - y_{B_1}) \quad (4.24.)$$

$$F_{B_2} = \frac{P_c}{2L} \left(1 + \frac{3d_3^2}{2L} \right) (y_c - l\beta_c - h_c\alpha_c - y_{B_2}).$$

Deplasările virtuale ale punctelor de aplicare a acestor forțe, să intă δe_1 și δe_2 , iar lucrul mecanic elementar virtual va fi:

$$\delta_{L(F_{B_{12}})} = F_{B_1} \delta e_1 + F_{B_2} \delta e_2 \quad (4.25.)$$

Inlocuind expresiile forțelor de rapel și a deplasărilor virtuale și făcând calculele necesare, rezultă:

$$\delta_{L(F_{B_{12}})} = - \frac{P_c}{2L} \left(1 + \frac{3d_3^2}{2L} \right) \left[(2y_c - 2h_c\alpha_c - y_{B_1} - y_{B_2}) \delta e_1 \right]$$

$$\begin{aligned}
 & + (2l^2\beta_c - ly_{B_1} + ly_{B_2})\delta\beta_c + (-2h_c y_c + 2h_c^2 \alpha_c + h_c y_{B_1} \\
 & + h_c y_{B_2})\delta\alpha_c + (-y_c - l\beta_c + h_c \alpha_c + y_{B_1})\delta y_{B_1} + (-y_c + l\beta_c \\
 & + h_c \alpha_c + y_{B_2})\delta y_{B_2}. \tag{4.25.}
 \end{aligned}$$

iar forțele generalizate sunt coeficienții deplasărilor virtuale corespunzătoare.

$$\begin{aligned}
 Q_B(y_c) &= - \frac{P_c}{2L} \left(1 + \frac{3d_3^2}{2L}\right) (2y_c - 2h_c \alpha_c - y_{B_1} - y_{B_2}) \\
 Q_B(\beta_c) &= - \frac{P_c}{2L} \left(1 + \frac{3d_3^2}{2L}\right) (2l^2\beta_c - ly_{B_1} + ly_{B_2}) \\
 Q_B(\alpha_c) &= - \frac{P_c}{2L} \left(1 + \frac{3d_3^2}{2L}\right) (-2h_c y_c + 2h_c^2 \alpha_c + h_c y_{B_1} + \\
 & + h_c y_{B_2}) \\
 Q_B(y_{B_1}) &= - \frac{P_c}{2L} \left(1 + \frac{3d_3^2}{2L}\right) (-y_c - l\beta_c + h_c \alpha_c + y_{B_1}) \\
 Q_B(y_{B_2}) &= - \frac{P_c}{2L} \left(1 + \frac{3d_3^2}{2L}\right) (-y_c + l\beta_c + h_c \alpha_c + y_{B_2}) \tag{4.26.}
 \end{aligned}$$

4.4.2. Forțele generalizate datorită forțelor de alunecare elastică.

In paragraful (3.3.) s-au determinat expresiile forțelor de alunecare elastică ce apar în punctele de contact a roților cu șina, în proiecție pe axele O_1x_1 și O_1y_1 .

$$F_{x_1j} = -K \left[\frac{\dot{x}_c}{V} - \frac{\mu}{K} (y_{B_1} - \varepsilon_2 a_k \beta_{B_i}) \varepsilon_1 + \frac{\dot{\varphi}_{ik}}{\omega} \right]$$

$$\varepsilon_1 \left[\frac{s \dot{\beta}_{B_i}}{v} \right] \quad (4.27.)$$

$$F_{y_1j} = -K \left[\frac{1}{v} (\dot{y}_{B_i} - \varepsilon_2 a_k \dot{\beta}_{B_i}) - \beta_{B_i} - \frac{\dot{\alpha}_{0ik}}{\omega} \right]$$

și a căror puncte de aplicație au următoarele coordonate determinate cu ajutorul relațiilor de forma (4.2.) și tabelul 4.

$$x_{1j} = x_c \pm l - \varepsilon_2 a_k - \varepsilon_1 s \beta_{B_i} \quad (4.28.)$$

$$y_{1j} = y_{B_i} \left(1 - \frac{\mu_R}{\mu_R - S} \right) - \varepsilon_2 \beta_{B_i} \left(1 - \frac{\mu_R}{\mu_R - S} \right) a_k$$

Luorul mecanic elementar virtual al forțelor de alunecare elastică va fi:

$$\delta L_j = \sum_{j=1}^3 F_{xij} \delta x_{ij} + F_{yij} \delta y_{ij} \quad (4.29.)$$

După calculele și înlocuirile necesare, rezultă:

$$\delta L_j = -12K \left(\frac{\dot{x}_c}{\omega_R} + \frac{\dot{\phi}_{0ik}}{\omega} + 2 \right) \delta x_c - 6K \left[\frac{1}{\omega_R} \left(1 - \frac{\mu_R}{\mu_R - S} \right) \right.$$

$$\left. \dot{y}_{B_1} + \frac{1}{3\omega_R} \left(1 - \frac{\mu_R}{\mu_R - S} \right)^2 (a_1 + a_2 - a_3) \dot{\beta}_{B_1} + \left(1 - \frac{\mu_R}{\mu_R - S} \right) \beta_{B_1} \right] \delta y_{B_1} - 6K \left[\frac{1}{\omega_R} \left(1 - \frac{\mu_R}{\mu_R - S} \right)^2 \dot{y}_{B_2} - \frac{1}{3\omega_R} \left(1 - \frac{\mu_R}{\mu_R - S} \right)^2 (a_1 + a_2 - a_3) \dot{\beta}_{B_2} + \left(1 - \frac{\mu_R}{\mu_R - S} \right) \beta_{B_2} \right] \delta y_{B_2} - 6K \left[\frac{1}{3\omega_R} \left(1 - \frac{\mu_R}{\mu_R - S} \right)^2 (a_1 + a_2 + a_3) \dot{y}_{B_1} + \frac{1}{3\omega_R} \left(1 - \frac{\mu_R}{\mu_R - S} \right)^2 (a_1 + a_2 + a_3) \dot{\beta}_{B_2} \right]$$

$$\left. \dot{y}_{B_1} + \frac{1}{3\omega_R} \left(1 - \frac{\mu_R}{\mu_R - S} \right)^2 (a_1 + a_2 + a_3) \dot{\beta}_{B_1} + \left(1 - \frac{\mu_R}{\mu_R - S} \right) \beta_{B_1} \right] \delta y_{B_1} - 6K \left[\frac{1}{3\omega_R} \left(1 - \frac{\mu_R}{\mu_R - S} \right)^2 (a_1 + a_2 + a_3) \dot{y}_{B_2} - \frac{1}{3\omega_R} \left(1 - \frac{\mu_R}{\mu_R - S} \right)^2 (a_1 + a_2 + a_3) \dot{\beta}_{B_2} + \left(1 - \frac{\mu_R}{\mu_R - S} \right) \beta_{B_2} \right] \delta y_{B_2} - 6K \left[\frac{1}{3\omega_R} \left(1 - \frac{\mu_R}{\mu_R - S} \right)^2 (a_1 + a_2 + a_3) \dot{\beta}_{B_1} + \left(1 - \frac{\mu_R}{\mu_R - S} \right) \beta_{B_2} \right] \delta y_{B_1} - 6K \left[\frac{1}{3\omega_R} \left(1 - \frac{\mu_R}{\mu_R - S} \right)^2 (a_1 + a_2 + a_3) \dot{y}_{B_2} - \frac{1}{3\omega_R} \left(1 - \frac{\mu_R}{\mu_R - S} \right)^2 (a_1 + a_2 + a_3) \dot{\beta}_{B_1} + \left(1 - \frac{\mu_R}{\mu_R - S} \right) \beta_{B_1} \right] \delta y_{B_2}$$

$$\begin{aligned}
 & \frac{\mu_R}{\mu_{R-S}})^2 (a_1^2 + a_2^2 + a_3^2) \dot{\beta}_{B_1} + \frac{1}{3} (a_1 + a_2 + a_3)(1 - \\
 & \frac{\mu_R}{\mu_{R-S}} + \frac{\mu_S}{R}) \beta_{B_1} - \frac{\mu_S}{R} y_{B_1} + \frac{s^2}{\omega_R} \dot{\beta}_{B_1} \Big] \delta \beta_{B_1} - 6K \left[-\frac{1}{3\omega_R} \right. \\
 & (1 - \frac{\mu_R}{\mu_{R-S}})^2 (a_1 + a_2 + a_3) \dot{y}_{B_2} + \frac{1}{3\omega_R} (1 - \frac{\mu_R}{\mu_{R-S}})^2 (a_1^2 + \\
 & + a_2^2 + a_3^2) \dot{\beta}_{B_2} - \frac{1}{3} (a_1 + a_2 + a_3)(1 - \frac{\mu_R}{\mu_{R-S}} + \frac{\mu_S}{R}) \beta_{B_2} - \\
 & \left. - \frac{\mu_S}{R} y_{B_2} + \frac{s^2}{\omega_R} \dot{\beta}_{B_2} \right] \delta \beta_{B_2} \quad (4.30.)
 \end{aligned}$$

dе unde forțele generalizate corespunzătoare, vor fi:

(4.31.)

$$\begin{aligned}
 Q_j(x_c) = & - 12K \left(\frac{\dot{x}_c}{\omega_R} + \frac{\dot{\varphi}_{0ik}}{\omega} \right) \\
 Q_j(y_{B_1}) = & - 6K \left\{ \frac{1}{R} (1 - \frac{\mu_R}{\mu_{R-S}})^2 \left[\frac{1}{\omega} \dot{y}_{B_1} + \frac{1}{3\omega} (a_1 + \right. \right. \\
 & \left. \left. + a_2 + a_3) \dot{\beta}_{B_1} \right] + (1 - \frac{\mu_R}{\mu_{R-S}}) \beta_{B_1} \right\} \\
 Q_j(\beta_{B_1}) = & - 6K \left\{ \frac{1}{R} (1 - \frac{\mu_R}{\mu_{R-S}})^2 \left[\frac{1}{3\omega} (a_1 + a_2 + a_3) \dot{y}_{B_1} \right. \right. \\
 & + \frac{1}{3\omega} (a_1^2 + a_2^2 + a_3^2) \dot{\beta}_{B_1} \Big] + \frac{1}{3} (a_1 + a_2 + a_3)(1 - \\
 & \left. \left. - \frac{\mu_R}{\mu_{R-S}} - \frac{\mu_S}{R} \right) \beta_{B_1} - \frac{\mu_S}{R} y_{B_1} + \frac{s^2}{\omega_R} \dot{\beta}_{B_1} \right\}
 \end{aligned}$$

$$Q_j(y_{B_2}) = -6K \left\{ \frac{1}{R} \left(1 - \frac{\mu_R}{\mu_{R-S}} \right)^2 \left[\frac{1}{\omega} \dot{y}_{B_2} - \frac{1}{3\omega} (a_1 + a_2 - \right. \right.$$

$$\left. \left. - a_3 \right] \dot{\beta}_{B_2} \right] + \left(1 - \frac{\mu_R}{\mu_{R-S}} \right) \dot{\beta}_{B_2} \right\}$$

$$Q_j(\dot{\beta}_{B_2}) = -6K \left\{ \frac{1}{R} \left(1 - \frac{\mu_R}{\mu_{R-S}} \right)^2 \left[- \frac{1}{3\omega} (a_1 + a_2 - a_3) \right. \right.$$

$$\left. \dot{y}_{B_2} + \frac{1}{3\omega} (a_1^2 + a_2^2 + a_3^2) \dot{\beta}_{B_2} \right] - \frac{1}{3} (a_1 + a_2 - a_3)$$

$$\left. \left(1 - \frac{\mu_R}{\mu_{R-S}} + \frac{\mu_S}{R} \right) \dot{\beta}_{B_2} - \frac{\mu_S}{R} y_{B_2} - \frac{S^2}{\omega R} \ddot{\beta}_{B_2} \right\}$$

4.4.3. Fortele generalizate datorită componentelor greutăților.

Atunci cînd locomotiva, respectiv cutia și cele două boghiuri, execută rotații în jurul axelor Ox, componentele orizontale transversale pe care ale greutăților respective, acționează ca forțe de rapel.

Expresiile lor sint:

$$G_{cy} = M_c g \sin (\alpha_c + \psi_c) \approx M_c g (\alpha_c + \psi_c)$$

$$G_{B_1y} = mg \sin \alpha_{B_1} \approx mg \alpha_{B_1} \quad (4.32.)$$

$$G_{B_2y} = mg \sin \alpha_{B_2} \approx mg \alpha_{B_2}$$

Coordonatele y_{1c} , y_{1B_1} și y_{1B_2} a punctelor de aplicare

a acestor forțe fiind:

(4.33.)

$$y_{lc} = y_c; \quad y_{lB_1} = y_{B_1} - d\beta_{B_1}; \quad y_{lB_2} = y_{B_2} + d\beta_{B_2}$$

lucrul mecanic elementar virtual al forțelor (4.32.) va fi:

$$\delta L_G = g_{cy} \delta y_{lc} + g_{B_1y} \delta y_{lB_1} + g_{B_2y} \delta y_{lB_2} \quad (4.34.)$$

Efectuind calculele necesare, expresia dezvoltată a relației (4.34.) devine:

(4.35.)

$$\delta L_G = - \left\{ M_{cg} \alpha_c + \frac{M_c g d_3}{d_2 L} \left[y_c - h_c \alpha_c - \frac{1}{2}(y_{B_1} + y_{B_2}) \right] \right\} \delta y_c$$

$$- mg \alpha_{B_1} \delta y_{B_1} - mg \alpha_{B_2} \delta y_{B_2} + mgd \alpha_{B_1} \delta \beta_{B_1} - mgd \alpha_{B_2} \delta \beta_{B_2}.$$

Forțele generalizate, corespunzătoare componentelor orizontale ale greutăților, vor fi:

$$Q_G(y_c) = - M_{cg} \alpha_c - \frac{M_c g d_3}{d_2 L} \left[y_c - h_c \alpha_c - \frac{1}{2}(y_{B_1} + y_{B_2}) \right]$$

$$Q_G(y_{B_1}) = - mg \alpha_{B_1} \quad (4.36.)$$

$$Q_G(y_{B_2}) = - mg \alpha_{B_2}$$

$$Q_G(\beta_{B_1}) = mgd \alpha_{B_1}$$

$$Q_G(\beta_{B_2}) = - mgd \alpha_{B_2}.$$

4.4.4. Determinarea forțelor generalizate datorită forțelor de frecare.

Forța de frecare din arcul cu foi a suspensiei centrale. Suspensia dintre cutie și boghiuri fiind realizată prin patru perechi de arcuri cu foi, aceste arcuri îndeplinesc, pe lîngă rolul de elemente elastice, și rolul de amortizare cu frecare uscată.

Valoarea unei forțe de frecare corespunzătoare unei perechi de arcuri este după [49], egală cu $F_{fc} = \mu_1 N_1$ unde: μ_1 este coeficientul de frecare dintre foile arcului egal cu 0,6 și N_1 sarcina normală pe arc, egală cu $\frac{G}{4}$.

Coordonatele punctelor de aplicatie a acestor forțe (fig. 2.1.) – în cazul vibrațiilor laterale – ținând cont și de rotirea cutiei datorită deplasării laterale a leagănelor, sunt:

$$\begin{aligned} z_{11} &= -b(\alpha_c - \Psi_{C_1}) + b\alpha_{B_1} \\ z_{12} &= b(\alpha_c - \Psi_{C_1}) - b\alpha_{B_1} \\ z_{13} &= -b(\alpha_c - \Psi_{C_2}) + b\alpha_{B_2} \\ z_{14} &= b(\alpha_c - \Psi_{C_2}) - b\alpha_{B_2} \end{aligned} \tag{4.37}$$

Căciulind deplasarea elementară virtuală a punctelor de aplicatie a forțelor de frecare, ținând seama de formulele (3.7) și (4.8.), lucrul mecanic elementar virtual al acestor forțe, este:

$$\begin{aligned} \delta F_{fc} &= F_{fc} \delta \left[-b(\alpha_c - \alpha_{B_1}) + \frac{d_3 b}{d_2 L} (y_c + l\beta_c - h_c \alpha_c - \right. \\ &\quad \left. - y_{B_1}) \right] + F_{fc} \delta \left[b(\alpha_c - \alpha_{B_1}) - \frac{d_3 b}{d_2 L} (y_c + l\beta_c - h_c \alpha_c - \right. \\ &\quad \left. - y_{B_1}) \right] \end{aligned}$$

$$\begin{aligned}
 & - y_{B_1})] + F_{fc} \delta [- b(\alpha_c - \alpha_{B_2}) + \frac{d_3 b}{d_2 L} (y_c - l\beta_c - \\
 & - h_c \alpha_c - y_{B_2})] + F_{fc} \delta [b(\alpha_c - \alpha_{B_2}) - \frac{d_3 b}{d_2 L} (y_c - \\
 & - l\beta_c - h_c \alpha_c - y_{B_2})]. \tag{4.38}
 \end{aligned}$$

Dorivind coordonatele z_{11} stabilite prin relațiile (4.38) vom obține vitezele punctelor de aplicare a acestor forțe, două cîte două egale și de semne contrarii, pe care pentru simplificarea scrierii le vom nota cu v_1 și v_2 . (4.39)

$$\begin{aligned}
 v_1 &= b(\dot{\alpha}_c - \dot{\alpha}_{B_1}) - \frac{d_3 b}{d_2 L} (y_c + l\beta_c - h_c \dot{\alpha}_c - y_{B_1}) \\
 v_2 &= b(\dot{\alpha}_c - \dot{\alpha}_{B_2}) - \frac{d_3 b}{d_2 L} (y_c - l\beta_c - h_c \dot{\alpha}_c - y_{B_2}).
 \end{aligned}$$

Din (4.38.) și (4.39.), forțele generalizate corespunzatoare forțelor de frecare, vor fi:

$$\begin{aligned}
 Q_{fc}(\alpha_c) &= - 2bF_{fc}(1 + \frac{d_3 h}{d_2 L}) \operatorname{sign} v_1 - 2bF_{fc}(1 + \\
 & + \frac{d_3 h}{d_2 L}) \operatorname{sign} v_2
 \end{aligned}$$

$$Q_{fc}(\beta_c) = 2F_{fc} \frac{d_3 b l}{d_2 L} \operatorname{sign} v_1 - 2F_{fc} \frac{d_3 b l}{d_2 L} \operatorname{sign} v_2$$

$$Q_{fc}(y_c) = 2F_{fc} \frac{d_3 b}{d_2 L} \operatorname{sign} v_1 + 2F_{fc} \frac{d_3 b}{d_2 L} \operatorname{sign} v_2$$

$$Q_{fc}(y_{B_1}) = - 2F_{fc} \frac{d_3 b}{d_2 L} \operatorname{sign} v_1$$

$$Q_{fc}(y_{B_2}) = -2F_{fc} \frac{d_3 b}{d_2 L} \operatorname{sign} v_2 \quad (4.40.)$$

$$Q_{fc}(\alpha_{B_1}) = 2bF_{fc} \operatorname{sign} v_1$$

$$Q_{fc}(\alpha_{B_2}) = 2bF_{fc} \operatorname{sign} v_2.$$

Forța de frecare din amortizoarele suspensiei boghiului pe osii.

Aceste amortizoare fiind dispuse vertical în interiorul fiecărui arc elicoidal, deci cîte 6 de fiecare parte a unui boghiu, construcția și funcționarea lui este descrisă detaliat în [49].

Notînd forța de frecare ce ia naștere între tijă și plăciile de fricțiune, cu:

(fig.4.4)

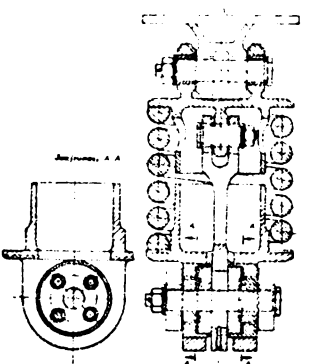


Fig.4.4

$$F_{fb} = \mu_2 N_2$$

unde: μ_2 coeficientul de frecare a cărui valoare este după [59] 0,4-0,46 și am adoptat 0,43.

Forța de apăsare N_2 a plăcilor de fricțiune pe tijă, este realizată pentru fiecare placă prin patru resorturi elicoidale ce realizează o forță de apăsare de 116 kgf.

Coordonatele z_{1Bj} a punctelor de aplicatie a acestor forțe, conform figurii (3.2.) fiind:

$$z_{Bj}^{1,3,5} = -c\alpha_{B_1} + c\alpha_{0ik} \quad (4.41)$$

$$z_{B_1}^{2,4,6} = c \alpha_{B_1} - c \alpha_{01k}$$

$$z_{B_2}^{1,3,5} = c \alpha_{B_2} - c \alpha_{02k}$$

$$z_{B_2}^{2,4,6} = -c \alpha_{B_2} + c \alpha_{02k}$$

Prin derivarea lor, ținind cont de formulele (4.22), vom obține vitezele acestor puncte, două cîte două egale și de semne contrarii, corespunzătoare fiecărei csii a unui boghiu, pe care le vom nota cu:

$$v_3 = c \dot{\alpha}_{B_1} - \frac{c \mu}{\mu_{R-S}} (\dot{y}_{B_1} + a_1 \dot{\beta}_{B_1}) \quad (4.42)$$

$$v_4 = c \dot{\alpha}_{B_1} - \frac{c \mu}{\mu_{R-S}} (\dot{y}_{B_1} + a_2 \dot{\beta}_{B_1})$$

$$v_5 = c \dot{\alpha}_{B_1} - \frac{c \mu}{\mu_{R-S}} (\dot{y}_{B_1} - a_3 \dot{\beta}_{B_1})$$

$$v_6 = c \dot{\alpha}_{B_2} - \frac{c \mu}{\mu_{R-S}} (\dot{y}_{B_2} - a_1 \dot{\beta}_{B_2})$$

$$v_7 = c \dot{\alpha}_{B_2} - \frac{c \mu}{\mu_{R-S}} (\dot{y}_{B_2} - a_2 \dot{\beta}_{B_2})$$

$$v_8 = c \dot{\alpha}_{B_2} - \frac{c \mu}{\mu_{R-S}} (\dot{y}_{B_2} + a_3 \dot{\beta}_{B_2})$$

Lucrul mecanic elementar al acestor forțe pentru cele două boghiuri este:

$$\delta L(F_{FBi}) = \sum F_{FB} \delta [\varepsilon_i c \alpha_{Bi} - \varepsilon_i \frac{c \mu}{\mu_{R-S}} (y_{Bi} - \varepsilon_k a_k \beta_{B_k})] \quad (4.42)$$

unde $\varepsilon_1, \varepsilon_2$ și a_k păstrează aceeași semnificație ca în (3.17).

Formulele generalizate corespunzătoare acestor forțe de freare vor fi:

(4.44)

$$Q_{fB}(\alpha_{B_1}) = -2cF_{fB}\text{sign } v_3 - 2cF_{fB}\text{sign } v_4 - 2cF_{fB}\text{sign } v_5$$

$$Q_{fB}(\alpha_{B_2}) = -2cF_{fB}\text{sign } v_6 - 2cF_{fB}\text{sign } v_7 - 2cF_{fB}\text{sign } v_8$$

$$Q_{fB}(y_{B_1}) = 2 \frac{c\mu}{\mu_{R-S}} F_{fB}\text{sign } v_3 + 2 \frac{c\mu}{\mu_{R-S}} F_{fB}\text{sign } v_4 +$$

$$+ 2 \frac{c\mu}{\mu_{R-S}} F_{fB}\text{sign } v_5$$

$$Q_{fB}(y_{B_2}) = 2 \frac{c\mu}{\mu_{R-S}} F_{fB}\text{sign } v_6 + 2 \frac{c\mu}{\mu_{R-S}} F_{fB}\text{sign } v_7 +$$

$$+ 2 \frac{c\mu}{\mu_{R-S}} F_{fB}\text{sign } v_8.$$

$$Q_{fB}(\beta_{B_1}) = 2 \frac{c\mu}{\mu_{R-S}} a_1 F_{fB}\text{sign } v_3 + 2 \frac{c\mu}{\mu_{R-S}} F_{fB} a_2 \text{sign } v_4 -$$

$$- 2 \frac{c\mu}{\mu_{R-S}} F_{fB} a_3 \text{sign } v_5$$

$$Q_{fB}(\beta_{B_2}) = -2 \frac{c\mu}{\mu_{R-S}} a_1 F_{fB}\text{sign } v_6 - 2 \frac{c\mu}{\mu_{R-S}} a_2 F_{fB}\text{sign } v_7 +$$

$$+ 2 \frac{c\mu}{\mu_{R-S}} a_3 F_{fB}\text{sign } v_8.$$

4.4.5. Forțele generalizate datorită forțelor elastice ale șinelor, la contactul buzei bandajului cu sina.

In paragraful (3.4) s-au stabilit expresiile forțelor elastice ale șinelor la contactul buzei bandajului cu sina (3.24)

$$F'_{y_1j} = K_1(y_{B_1} - \varepsilon_2 a_k \beta_{B_i} \mp 0) \quad (4.45)$$

Coordonata y_{1i} a punctelor de aplicatie a acestor forțe, determinate cu ajutorul relațiilor de forma (4.2) și tabelul 4, săint:

$$y_{1j} = (1 - \frac{\mu_R}{\mu_{R-S}})(y_{B_1} - \varepsilon_2 a_k \beta_{B_i}) \quad (4.46)$$

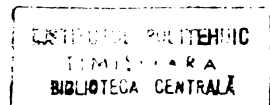
Lucrul mecanic elementar virtual va fi:

$$\delta^L(F'_{y_1j}) = \sum_{j=1}^2 F'_{y_1j} \delta y_{1j} \quad (4.47)$$

După efectuarea calculelor, rezultă următoarele forțe generalizate:

$$Q_k(y_{B_1}) = -K_1 B' \left[(q_4 + a_1 q_6) - 0 \operatorname{sign}(q_4 + a_1 q_6) + (q_4 - a_3 q_6) - 0 \operatorname{sign}(q_4 - a_3 q_6) \right]$$

dacă: $I_1 = q_4 + a_1 q_6 > 0$ și $I_2 = q_4 - a_3 q_6 > 0$



$$Q_k'(y_{B_2}) = -K_1 B' \left[(q_5 - a_1 q_7) - \sigma \operatorname{sign}(q_5 - a_1 q_7) + (q_5 + a_3 q_7) - \sigma \operatorname{sign}(q_5 + a_3 q_7) \right]$$

dacă $I_3 = (q_5 - a_1 q_7) > 0$ și $I_4 = (q_5 + a_3 q_7) > 0$

$$Q_k''(\beta_{B_1}) = -K_1 B' a_1 \left[(q_4 + a_1 q_6) - \sigma \operatorname{sign}(q_4 + a_1 q_6) \right] - K_1 B' a_3 \left[(-q_4 + a_3 q_6) - \sigma \operatorname{sign}(-q_4 + a_3 q_6) \right]$$

dacă: $I_1 > 0$ și $I_2 > 0$

$$Q_k''(\beta_{B_2}) = -K_1 B' a_1 \left[(-q_5 + a_1 q_7) - \sigma \operatorname{sign}(-q_5 + a_1 q_7) \right] - K_1 B' a_3 \left[q_5 + a_3 q_7 - \sigma \operatorname{sign}(q_5 + a_3 q_7) \right]$$

dacă: $I_3 > 0$ și $I_4 > 0$

unde $B' = 1 - \frac{\mu R}{\mu R - S}$

Dacă cele patru condiții I_i $i = 1 \dots 4$ nu sunt satisfăcute și $I \leq 0$ (ceea ce înseamnă că roata nu atacă cu buza bandajului unul din firile căii) forțele generalizate (4.48) sunt nule.

4.6. Stabilirea ecuațiilor diferențiale ale vibrațiilor laterale.

Având toate mărimile necesare utilizării formulei (4.1), în vederea stabilirii ecuațiilor diferențiale ale vibrațiilor

laterale, pentru ușurarea scrierii lor vom face următoarele notații: - funcțiile de timp care determină poziția sistemului la un moment dat le vom nota astfel: $y_c = q_1$; $\alpha_c = q_2$; $\beta_c = q_3$; $y_{B_1} = q_4$; $y_{B_2} = q_5$; $\beta_{B_1} = q_6$; $\beta_{B_2} = q_7$; $\alpha_{B_1} = q_8$; $\alpha_{B_2} = q_9$ - coeficienții derivatelor de ordinul doi cu a_{ij} - coeficienții derivatelor de ordinul întâi, cu b_{ij} - și coeficienții coordonatelor q_i cu c_{ij} .

Inlocuind în formula (4.1) expresia energiei cinetice (4.19) a energiei potențiale (4.23) și a forțelor generalizate (4.26), (4.31), (4.36), (4.40), (4.44), (4.48) și notând

$$a_{11} = \frac{m_c + I_{Gx}^c}{d_2 L} \left(\frac{d_3}{d_2 L} \right)^2 ; \quad (4.49)$$

$$a_{22} = I_{Gx}^c \left[1 - \frac{d_3 h_c}{d_2 L} \left(2 - \frac{d_3 h_c}{d_2 L} \right) \right] ;$$

$$a_{33} = I_{Gz}^c ;$$

$$a_{44} = a_{55} = \frac{1}{4} I_{Gx}^c \left(\frac{d_3}{d_2 L} \right)^2 + m + 3m_o + 3I_{Gx}^o \frac{\mu^2}{(\mu_{x-..})^2} ;$$

$$a_{66} = a_{77} = md^2 + I_{Gz}^c + (a_1^2 + a_2^2 + a_3^2) \left[m_o + I_{Gx}^o \frac{\mu^2}{(\mu_{x-..})^2} \right]$$

$$a_{88} = a_{99} = I_{Gx}^B ;$$

$$a_{45} = \frac{1}{4} I_{Gx}^c \left(\frac{d_3}{d_2 L} \right)^2 ;$$

$$a_{14} = a_{15} = -\frac{1}{2} I_{Gx}^c \left(\frac{d_3}{d_2 L} \right)^2 ;$$

$$a_{12} = I_{Gx}^c \frac{d_3}{d_2 L} \left(1 - \frac{d_3 h_c}{d_2 L} \right) ;$$

$$a_{24} = a_{25} = \frac{1}{2} I_{Gx}^c \frac{d_3}{d_2 L} \left(\frac{d_3 h_c}{d_2 L} - 1 \right) ;$$

$$a_{46} = -a_{57} = (a_1 + a_2 - a_3) \left[m_c + I_{Gx}^o \frac{\mu^2}{(\mu_{R-S})^2} \right] - m_d ;$$

$$b_{44} = b_{55} = \frac{6K}{\omega_R} \left(1 - \frac{\mu_R}{\mu_{R-S}} \right)^2 ;$$

$$b_{66} = b_{77} = 6K \left[\frac{1}{R} \left(1 - \frac{\mu_R}{\mu_{R-S}} \right)^2 \frac{1}{3\omega} (a_1^2 + a_2^2 + a_3^2) + \frac{s^2}{\omega R} \right]$$

$$b_{46} = -b_{57} = \frac{6K}{3\omega_R} \left(1 - \frac{\mu_R}{\mu_{R-S}} \right)^2 (a_1 + a_2 - a_3) ;$$

$$c'_{46} = c'_{57} = 6K \left(1 - \frac{\mu_R}{\mu_{R-S}} \right) ;$$

$$c'_{66} = -c'_{77} = 2K(a_1 + a_2 - a_3) \left(1 - \frac{\mu_R}{\mu_{R-S}} - \frac{\mu_S}{R} \right) ;$$

$$c'_{54} = c'_{75} = -6K \frac{\mu_S}{R} ;$$

$$c_{11} = \frac{P_c}{L} \left(1 + \frac{3d_3^2}{2L} \right) + \frac{m_c d_3}{d_2 L} ;$$

$$c_{22} = 4b^2 k_{cz} + \frac{P_c l^2}{L} \left(1 + \frac{3d_3^2}{2L} \right) ;$$

$$c_{33} = \frac{P_c l^2}{L} \left(1 + \frac{3d_3^2}{2L} \right) ;$$

$$c_{44} = c_{55} = 2(k_{Bz}^i + k_{Bz}^{ii}) \frac{c^2 \mu}{(\mu_{R-S})^2} + k^* + \frac{P_c}{2L} \left(1 + \frac{3d_3^2}{2L} \right)$$

$$c_{66} = c_{77} = 2(k_{Bz}^I a_1^I)^2 + k_{Bz}^{II} a_2^I)^2 \frac{c^2 \mu^2}{(\mu_{R-S})^2} + k^* l ;$$

$$c_{88} = c_{99} = 2b^2 k_{cz} + 2c^2 (k_{Bz}^I + k_{Bz}^{II}) ;$$

$$c_{28} = c_{29} = - 2b^2 k_{cz} ;$$

$$c_{24} = c_{25} = \frac{P_c h_c}{2L} \left(1 + \frac{3d_3^2}{2L} \right) ;$$

$$c_{14} = c_{15} = - \frac{P_c h_c}{2L} \left(1 + \frac{3d_3^2}{2L} \right) ;$$

$$c_{12} = - \frac{P_c h_c}{L} \left(1 + \frac{3d_3^2}{2L} \right) ;$$

$$c_{48} = c_{59} = - 2(k_{Bz}^I + k_{Bz}^{II}) \frac{c^2 \mu}{\mu_{R-S}} ;$$

$$c_{46} = - c_{57} = 2(k_{Bz}^I a_1^I - k_{Bz}^{II} a_2^I) \frac{c^2 \mu^2}{(\mu_{R-S})^2} - k^* l ;$$

$$c_{45} = - k^* ;$$

$$c_{67} = k^* l^2 ;$$

$$c_{47} = - c_{56} = - k^* l ;$$

$$c_{68} = - c_{79} = - 2(k_{Bz}^I a_1^I - k_{Bz}^{II} a_2^I) \frac{c^2 \mu}{\mu_{R-S}} ;$$

$$c_{34} = - c_{35} = - \frac{P_c l}{2L} \left(1 + \frac{3d_3^2}{2L} \right) ;$$

$$c_{68}^{II} = c_{15}^{II} = - mgd ;$$

$$c''_{14} = c''_{79} = - \frac{M_c g d_3}{2d_2 L} ;$$

$$c''_{12} = M_c g (1 + \frac{d_3 h_c}{d_2 L}) ;$$

$$c''_{48} = c''_{49} = mg$$

unde: $a_{ij} = a_{ji}$; $b_{ij} = b_{ji}$; $c_{ij} = c_{ji}$; $c'_{ij} \neq c'_{ji}$; $c''_{ij} \neq c''_{ji}$.

$$R_1 = 2F_{fc} \frac{d_3 b}{d_2 L} ;$$

$$R_2 = 2F_{fc} \frac{d_3 b t}{d_2 L} ;$$

$$R_3 = 2bF_{fc} ;$$

$$R_4 = 2F_{fb} \frac{c \mu}{\mu_{R-S}} ;$$

$$R_5 = 2cF_{fb} .$$

Cu aceste notări ecuațiile diferențiale ale vibrațiilor laterale ale locomotivei, vor fi:

(4.50)

$$\mathbf{M}[\ddot{q}_i] + \mathbf{C}[\dot{q}_i] + (\mathbf{K}_1 + \mathbf{K}_2 + \mathbf{K}_3)[q_i] + \mathbf{F}[\text{sign } v_i] \cdot F$$

$$i = 1, \dots, 9$$

unde:

M - reprezintă matricea de inertie. Ea este o matrice pătrată și simetrică de ordinul nouă.

$$\mathbf{M} = [a_{ij}] = \begin{bmatrix} a_{11} & a_{12} & 0 & a_{14} & a_{15} & 0 & 0 & 0 & 0 \\ a_{21} & a_{22} & 0 & a_{24} & a_{25} & 0 & 0 & 0 & 0 \\ 0 & 0 & a_{33} & 0 & 0 & 0 & 0 & 0 & 0 \\ a_{41} & a_{42} & 0 & a_{44} & a_{45} & a_{46} & 0 & 0 & 0 \\ a_{51} & a_{52} & 0 & a_{54} & a_{55} & 0 & a_{57} & 0 & 0 \\ 0 & 0 & 0 & a_{64} & 0 & a_{66} & 0 & 0 & 0 \\ 0 & 0 & 0 & 0 & a_{75} & 0 & a_{77} & 0 & 0 \\ 0 & 0 & 0 & 0 & 0 & 0 & 0 & a_{88} & 0 \\ 0 & 0 & 0 & 0 & 0 & 0 & 0 & 0 & a_{99} \end{bmatrix} \quad (4.51)$$

$[\ddot{q}_i]$ - reprezintă matricea coloană a accelerărilor generalizate.

$$[\ddot{q}_i] = \begin{bmatrix} \ddot{q}_1 \\ \vdots \\ \ddot{q}_9 \end{bmatrix} \quad (4.52)$$

C - reprezintă matricea de amortizare care este tot o matrice pătrată și simetrică de ordinul nouă.

(4.53)

$$\mathbf{C} = [\mathbf{b}_{ij}] = \begin{bmatrix} 0 & 0 & 0 & 0 & 0 & 0 & 0 & 0 & 0 \\ 0 & 0 & 0 & 0 & 0 & 0 & 0 & 0 & 0 \\ 0 & 0 & 0 & 0 & 0 & 0 & 0 & 0 & 0 \\ 0 & 0 & 0 & \mathbf{b}_{44} & 0 & \mathbf{b}_{46} & 0 & 0 & 0 \\ 0 & 0 & 0 & 0 & \mathbf{b}_{55} & 0 & \mathbf{b}_{57} & 0 & 0 \\ 0 & 0 & 0 & \mathbf{b}_{64} & 0 & \mathbf{b}_{66} & 0 & 0 & 0 \\ 0 & 0 & 0 & 0 & \mathbf{b}_{75} & 0 & \mathbf{b}_{77} & 0 & 0 \\ 0 & 0 & 0 & 0 & 0 & 0 & 0 & 0 & 0 \\ 0 & 0 & 0 & 0 & 0 & 0 & 0 & 0 & 0 \end{bmatrix}$$

$[\dot{\mathbf{q}}_i]$ - reprezintă matricea coloană a vitezelor generalizate

$$[\dot{\mathbf{q}}_i] = \begin{bmatrix} \dot{\mathbf{q}}_1 \\ \vdots \\ \dot{\mathbf{q}}_9 \end{bmatrix} \quad (4.54)$$

\mathbf{K}_1 - reprezintă matricea rigidității suspensiei locomotiviei și a couplei elastice transversale dintre boghiuri. Ea este o matrice pătrată și simetrică de ordinul nouă.

\mathbf{K}_2 - reprezintă matricea rigidității datorită forțelor de alunecare elastică și este o matrice pătrată.

\mathbf{K}_3 - reprezintă matricea rigidității datorită greutăților cutiei și a celor două boghiuri și este o matrice pătrată.

(4.55)

$$K_1 = [c_{ij}] = \begin{bmatrix} c_{11} & c_{12} & 0 & c_{14} & c_{15} & 0 & 0 & 0 & 0 \\ c_{21} & c_{22} & 0 & c_{24} & c_{25} & 0 & 0 & c_{28} & c_{29} \\ 0 & 0 & c_{33} & c_{34} & c_{35} & 0 & 0 & 0 & 0 \\ c_{41} & c_{42} & c_{43} & c_{44} & c_{45} & c_{46} & c_{47} & c_{48} & 0 \\ c_{51} & c_{52} & c_{53} & c_{54} & c_{55} & c_{56} & c_{57} & 0 & c_{59} \\ 0 & 0 & 0 & c_{64} & c_{65} & c_{66} & c_{67} & c_{68} & 0 \\ 0 & 0 & 0 & c_{74} & c_{75} & c_{76} & c_{77} & 0 & c_{79} \\ 0 & c_{82} & 0 & c_{84} & 0 & c_{86} & 0 & c_{88} & 0 \\ 0 & c_{92} & 0 & 0 & c_{95} & 0 & c_{97} & 0 & c_{99} \end{bmatrix}$$

(4.56)

$$K_2 = [c'_{ij}] = \begin{bmatrix} 0 & 0 & 0 & 0 & 0 & 0 & 0 & 0 & 0 \\ 0 & 0 & 0 & 0 & 0 & 0 & 0 & 0 & 0 \\ 0 & 0 & 0 & 0 & 0 & 0 & 0 & 0 & 0 \\ 0 & 0 & 0 & 0 & 0 & 0 & c'_{46} & 0 & 0 \\ 0 & 0 & 0 & 0 & 0 & 0 & 0 & c'_{57} & 0 \\ 0 & 0 & 0 & 0 & c'_{64} & 0 & c'_{66} & 0 & 0 \\ 0 & 0 & 0 & 0 & 0 & c'_{75} & 0 & c'_{77} & 0 \\ 0 & 0 & 0 & 0 & 0 & 0 & 0 & 0 & 0 \\ 0 & 0 & 0 & 0 & 0 & 0 & 0 & 0 & 0 \end{bmatrix}$$

$$K_3 = [c_{ij}^n] \quad (4.57)$$

$$\begin{bmatrix} 0 & c_{12}^n & 0 & c_{14}^n & c_{15}^n & 0 & 0 & 0 & 0 \\ 0 & 0 & 0 & 0 & 0 & 0 & 0 & 0 & 0 \\ 0 & 0 & 0 & 0 & 0 & 0 & 0 & 0 & 0 \\ 0 & 0 & 0 & 0 & 0 & 0 & 0 & c_{48}^n & 0 \\ 0 & 0 & 0 & 0 & 0 & 0 & 0 & 0 & c_{59}^n \\ 0 & 0 & 0 & 0 & 0 & 0 & 0 & c_{68}^n & 0 \\ 0 & 0 & 0 & 0 & 0 & 0 & 0 & 0 & c_{79}^n \\ 0 & 0 & 0 & 0 & 0 & 0 & 0 & 0 & 0 \\ 0 & 0 & 0 & 0 & 0 & 0 & 0 & 0 & 0 \end{bmatrix}$$

$[q_i]$ - reprezintă matricea coloană a coordonatelor generalizata

$$[q_i] = \begin{bmatrix} q_1 \\ \vdots \\ q_9 \end{bmatrix} \quad (4.58)$$

$[\text{sign } v_i]$ - reprezintă matricea coloană a sensurilor vitezelor v_i .

$$[\text{sign } v_i] = \begin{bmatrix} \text{sign } v_1 \\ \vdots \\ \text{sign } v_9 \end{bmatrix} \quad (4.59)$$

F - reprezintă matricea forțelor de frecare din suspensiunea locomotivei și este o matrice pătrată.

(4.60)

$$\mathbf{F} = \begin{bmatrix} -R_1 & -R_1 & 0 & 0 & 0 & 0 & 0 & 0 & 0 \\ R_2 & R_2 & 0 & 0 & 0 & 0 & 0 & 0 & 0 \\ -R_3 & R_3 & 0 & 0 & 0 & 0 & 0 & 0 & 0 \\ R_1 & 0 & -R_4 & -R_4 & -R_4 & 0 & 0 & 0 & 0 \\ 0 & R_1 & 0 & 0 & 0 & -R_4 & -R_4 & -R_4 & 0 \\ 0 & 0 & -a_1 R_4 & -a_2 R_4 & a_3 R_4 & 0 & 0 & 0 & 0 \\ 0 & 0 & 0 & 0 & 0 & a_1 R_4 & a_2 R_4 & -a_3 R_4 & 0 \\ -R_3 & 0 & R_5 & R_5 & R_5 & 0 & 0 & 0 & 0 \\ 0 & -R_3 & 0 & 0 & 0 & R_5 & R_5 & R_5 & 0 \end{bmatrix}$$

P - reprezintă matricea coloană a forțelor elastice ale şinelor, la contactul buzei bandajului cu şina.

$$\mathbf{P} = \begin{bmatrix} 0 \\ 0 \\ 0 \\ \sum Q_k \\ \sum Q_k^1 \\ \sum Q_k^2 \\ \sum Q_k^3 \\ 0 \\ 0 \end{bmatrix} \quad (4.61)$$

Din analiza ecuațiilor (4.50) rezultă că:

- a) - variabilele sistemului caracterizează vibrațiile laterale ale locomotivei.

Ele au fost notate cu:

$y_c; y_{B_1}; y_{B_2}$ - deplasările laterale, a cutiei și a celor două boghiuri și care au fost notate cu q_1, q_4, q_5 .

$\beta_c; \beta_{B_1}; \beta_{B_2}$ - rotațiile cutiei și a celor două boghiuri, în jurul axelor Oz perpendiculare pe calca de rulare și care trec prin centrul de greutate, respectiv prin pivoturi și care au fost notate cu q_3, q_6, q_7 .

$\alpha_c; \alpha_{B_1}; \alpha_{B_2}$ - rotațiile cutiei și a celor două boghiuri în jurul axelor Oy perpendiculare pe cele două fire ale căii de rulare și care trec prin centrul de greutate, respectiv prin pivoturi și au fost notate cu q_2, q_8, q_9 .

- b) - vibrațiile laterale ale locomotivei sunt independente de vibrațiile verticale.

c) - matricele **M**, **C** și **K**, sunt pătrate și simetrice. Ele, nefiind diagonale, rezultă că ecuațiile diferențiale ce descriu vibrațiile laterale ale locomotivei au cuplaj inerțial, de amortizare, elastic.

d) - datorită forțelor de frecare uscată și a forțelor elastice ale vînelor, sistemul de ecuații diferențiale este neliniear.



C a p i t o l u l V

STUDIUL VIBRAȚIILOR LATERALE ALE LOCOMOTIVEI DIESEL-ELECTRICE 060 D.A. DE 2100 C.P.

5.1. Generalități.

Studiul vibrațiilor laterale ale acestei locomotive, descrise de un sistem de nouă ecuații diferențiale - pentru cazul cel mai general, linear pe porțiuni - reprezintă pornind de la această primă observație, o problemă destul de dificil de rezolvat.

Având în vedere faptul - amintit în primul capitol - că la baza unei construcții de material rulant stau în primul rînd cercetările experimentale făcute pe prototipuri, sau pe subansamblle care odată perfectionate, sănt adoptate la diferite tipuri de locomotive, un studiu teoretic care apoi să stea la îndemîna proiectanților este absolut necesar, având în vedere eficiența lui economică.

In acest sens, cercetările întreprinse în paragrafele acestui capitol, au drept obiectiv obținerea unor concluzii asupra comportării suspensiei locomotivei, în vederea îmbunătățirii ei pentru un mers silentios și o mai mare siguranță a circulației, la viteze mari de deplasare.

Pentru obținerea acestor concluzii, rezolvarea manuală a unui asemenea sistem de ecuații diferențiale, este aproape imposibilă. De aceea s-a recurs la ajutorul mașinilor electronice de calcul de mare capacitate, a centrului de calcul al Filialei Academiei R.S.C. din Bratislava și a Centrului tec-

torial de calcul din Timișoara.

Dat fiind caracterul nelinear al sistemului de ecuații diferențiale, rezolvarea lui s-ar fi pretat cel mai bine pe calculatoare analogice, dar cum complexitatea problemei a depășit capacitatea a două calculatoare analogice MEDA (R.S.C.), pe care l-am avut la dispoziție, am recurs la rezolvarea sistemului de ecuații pe mașini cifrice de calcul.

Paralel cu cercetările teoretice, au fost făcute și cercetări experimentale, utilizând o aparat^{ură} electronică de măsură, de o foarte mare precizie, cu care este dotat laboratorul de vibrații al Catedrei de mecanica și rezistența materialelor de la Institutul politehnic din Timișoara.

Rezultatele teoretice, cît și cele obținute prin măsurători, au confirmat justitatea calculului și a metodelor folosite dând posibilitatea obținerii unor concluzii valabile, atât pentru exploatare, cît și pentru proiectarea materialului rulant.

5.2. Influența unor parametrii ai suspensiei centrale asupra vibrațiilor laterale ale locomotivei.

În etapa actuală de dezvoltare a transportului feroviar dotat cu locomotivele diesel - electrice de mare putere, creșterea vitezei de circulație a trenurilor depinde în mare măsură de felul în care locomotivele satisfac cerințele de mișcare rapidă.

Din studiile făcute pînă în prezent în diferite instituții de cercetări din lume asupra vibrațiilor diferitelor locomotive, rezultă că principalele forme de vibrații și cele mai periculoase la viteze mari de circulație, sunt cele laterale ce apar, atât în portiunile rectilinii ale căii, cît și în

De aceea studierea dinamicii laterale a acestei locomotive pentru asigurarea unui mers lin la viteze cuprinse între 0 și peste 100 km/h, se impune ca o necesitate.

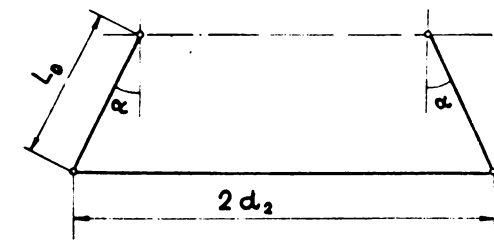
Cercetările în acest domeniu arată că această calitate a mersului este determinată de acceleratiile vibrațiilor și de vitezele lor de variație, care la rîndul lor, depind de pulsăriile vibrațiilor laterale.

Avînd în vedere acest lucru, în cele ce urmează, se va analiza influența unor parametrii ai suspensiei locomotivei a supra pulsării proprii ale vibrațiilor laterale.

Pentru aprecierea comportării leagănului celei de-a doua treaptă de suspensie, la vibrațiile laterale ale locomotivei, s-a introdus parametrul L_1 , care reprezintă lungimea pendulului matematic sincron pendulului fizic (leagănului la deplasarea laterală a locomotivei).

Relația de calcul al parametrului L_1 a fost stabilită în lucrarea [24], ca funcție de dimensiunile constructive ale leagănului, fig.5.1.

(5.1.)



$$L_1 = L \left(1 - \frac{h_c}{d_2 \tan \alpha} \right) \cos \alpha$$

Pentru studiul influenței repartiției masei totale a părților

suspendate elastic, între cutie și boghiuri, s-a introdus coeeficientul $\eta = \frac{2m}{M_c + 2m}$ unde "m" este masa părții susținătoare a unui boghiu și M_c , masa cutiei locomotivei. Aprecierea car-

tativă a suspensiei se va face prin introducerea parametrului $p = \frac{\theta_B}{\theta_C}$, unde $\theta_B = \frac{f_B}{f_{tot}} 100$ și $\theta_C = \frac{f_C}{f_{tot}} 100$, iar f_B și f_C sint săgețile statice corespunzătoare celor două trepte de

pensie și f_{total} săgeată statică totală.

Din practica construcției de locomotive din ultimii ani, reiese că odată cu creșterea vitezei de deplasare a locomotivei, apare tendința de creștere a săgeții statice a suspensiei. Distribuția săgeții totale a suspensiei pe cele două trepte de suspensie este foarte variată. De exemplu, pentru diferite tipuri de locomotive, săgeata statică corespunzătoare primului treptă de suspensie reprezintă $f_B = 55 - 16\%$ din săgeata statică totală, în cea corespunzătoare celui de a doua treptă de suspensie $f_C = 45 - 84\%$.

Studiile făcute pe plan mondial, în ceea ce privește distribuția săgeții statice totale pe cele două trepte, arată că ea exercită o influență considerabilă, asupra calității mersului locomotivei.

Ecuațiile diferențiale care descriu vibrațiile laterale ale locomotivei, se obțin din (4.50) anulând forțele generalizate:

$\mathbf{C}[\ddot{q}_i] + \mathbf{K}_2[q_i]$ - forțele generalizate datorită forțelor de alunecare elastică,

$\mathbf{K}_3[q_i]$ - forțele generalizate datorită greutăților cutiei și a celor două boghiuri,

$\mathbf{F}[\text{sign } v_i]$ - forțele generalizate datorită forțelor de fricare,

\mathbf{P} - forțele generalizate datorită forțelor elastice ale şinelor.

Sistemul de ecuații astfel obținut va fi:

$$\mathbf{M}[\ddot{q}_i] + \mathbf{K}_4[q_i] = [0] \quad (5.1)$$

ANEXA
la proiectul
laboratorului
de mecanica
solului și
străzii

Pentru a vedea care este influența leagăinului celei de a doua trepte de suspensie, asupra pulsăriilor vibrațiilor laterale, în coeficienții acestor ecuații va trebui să apară parametrul L_1 .

Pentru aceasta se constată că la deplasarea laterală a cutiei locomotivei, leagăinul celei de a doua trepte de suspensie, joacă rolul unui element elastic. Constanta lui elastică echivalentă k_{cy} se determină din egalitatea pulsării vibrației deplasării laterale a cutiei cu a pendulului matematic sincron de lungime L_1 .

De unde:

$$k_{cy} = \frac{Q}{4L_1} \quad (5.3)$$

unde Q este greutatea cutiei locomotivei.

Energia potențială corespunzătoare deplasării elastice laterale a cutiei, calculată cu formula (4.20), va fi:

$$\frac{2}{2} k_{cy} \left[(\dot{y}_c + h_c \alpha_c + l \beta_c - y_{B_1})^2 + (y_c - h_c \alpha_c - l \beta_c - y_{B_2})^2 \right] \quad (5.4)$$

În acest caz deplasarea laterală y_c a cutiei locomotivei, se înlocuiește cu elongația liniară a pendulului matematic sincron

$$y_c = - L_1 \varphi \quad (5.5)$$

unde φ este noua variabilă a sistemului. Semnul minus se obține prin faptul că la o variație pozitivă a lui y_c fi corespunzătoare variație negativă a lui φ .

Inlocuind energia potențială corespunzătoare deplasării y_c (4.26) cu energia potențială echivalentă (5.4) și pe y_c cu (... matricele **M** și **K** nu se schimbă ca structură, dar face să apară explicit parametrul L_1 . Deasemenea în matricele coloană $[q_i]$ $[\ddot{q}_i]$ coordonata generalizată $q_1 = y_c$ se consideră $q_1 = -\varphi$.

Expresiile coeficienților a_{ij} și c_{ij} în funcție de cei trei parametri L_1 , η și p , ținând seamă de dimensiunile constructive ale locomotivei, sunt:

$$a_{11} = 9,7(1 - \eta)L_1^2 ;$$

$$a_{22} = 4,53(1 - \eta) ;$$

$$a_{33} = 7,95(1 - \eta) ;$$

$$a_{44} = a_{55} = 1,1 + 4,68\eta ;$$

$$a_{66} = a_{77} = 2,95 + 23\eta ;$$

$$a_{88} = a_{99} = 3,97\eta ;$$

$$a_{45} = 0,06(1 - \eta) ;$$

$$a_{14} = a_{15} = 0,12(1 - \eta)L_1 ;$$

$$a_{12} = -(1 - \eta)L_1 ;$$

$$a_{24} = a_{25} = -0,5(1 - \eta) ;$$

$$a_{46} = -a_{57} = -0,05 - 0,56\eta ;$$

$$\begin{aligned}c_{11} &= 46,44(1 - \eta)L_1 + 2(1 - \eta)(1 + p)L_1^2 ; \\c_{22} &= 173,66(1 - \eta)(1 + p) + 91 \frac{1 - \eta}{L_1} ; \\c_{33} &= 823 \frac{1 - \eta}{L_1} + 35,4(1 - \eta)(1 + p) ; \\c_{44} = c_{55} &= 1,96(1 - \eta)(1 + p) + 33,8 \frac{p}{1 + p} + 23,22 \frac{1 - \eta}{L_1} \\&\quad + 63 ; \\c_{66} = c_{77} &= 107 \frac{p}{1 + p} + 1.116,3 ; \\c_{88} = c_{99} &= 61,63(1 - \eta)(1 + p) + 33,72 \frac{p}{1 + p} ; \\c_{28} = c_{29} &= - 77(1 - \eta)(1 + p) ; \tag{5.6} \\c_{24} = c_{25} &= 6,65(1 - \eta)(1 + p) + 65 \frac{1 - \eta}{L_1} ; \\c_{12} &= 13,31(1 - \eta)(1 + p)L_1 + 130(1 - \eta) ; \\c_{34} = -c_{35} &= - 182,8 \frac{1 - \eta}{L_1} - 7,1(1 - \eta)(1 + p) ; \\c_{48} = c_{59} &= - 11(1 - \eta)(1 + p) + 2,36 \frac{p}{1 + p} ; \\c_{46} = -c_{57} &= - 206 - \frac{p}{1 + p} ; \\c_{45} &= - 63 ; \\c_{67} &= 1.116,3 ; \\c_{47} = -c_{56} &= - 265 ;\end{aligned}$$

$$c_{68} = - c_{79} = - 0,07 \frac{p}{1 + p};$$

$$c_{15} = c_{14} = 46,44(1 - \eta) + 1,7(1 - \eta)(1 + p)L_1.$$

unde: $a_{ij} = a_{ji}$ și $c_{ij} = c_{ji}$.

Pentru integrarea sistemului de ecuații diferențiale (5.2) se aleg soluții de forma:

$$[c_i] = \operatorname{Re} \left\{ [A_i] e^{i\omega t} \right\} \quad i = 1, \dots, 9 \quad (5.7)$$

care, înlocuite în (5.2) conduc la ecuația

$$[A_i](K_1 - \omega^2 M) = [0] \quad (5.8)$$

care reprezintă un sistem de nouă ecuații algebrice cu nouă necunoscute A_i .

Acest sistem are soluții nebanale dacă ecuația caracteristică,

$$\Delta = \det(K_1 - \omega^2 M) = [0] \quad (5.8')$$

Ecuația (5.8') este un polinom de gradul nouă în ω^2 și are nouă rădăcini reale deoarece matricele M și K_1 sunt simetrice și M este pozitiv definită.

Pentru a vedea influența parametrilor L_1 , η și p asupra pulsăriilor proprii ale vibrațiilor laterale, un calcul manual este imposibil, de aceea s-a recurs la ajutorul mașinii electronice de calcul a Centrului de Calcul al Filialei Academiei R.S.C. din Bucureștiava.

$c_{11}-a_{11}\omega^2$	$c_{12}-a_{12}\omega^2$	0	$c_{14}-a_{14}\omega^2$	$c_{15}-a_{15}\omega^2$	0	0	c_{18}	c_{19}
$c_{21}-a_{21}\omega^2$	$c_{22}-a_{22}\omega^2$	0	$c_{24}-a_{24}\omega^2$	$c_{25}-a_{25}\omega^2$	0	0	c_{28}	c_{29}
0	0	$c_{33}-a_{33}\omega^2$	c_{34}	c_{35}	0	0	c_{38}	c_{39}
$c_{41}-a_{41}\omega^2$	$c_{42}-a_{42}\omega^2$	c_{43}	$c_{44}-a_{44}\omega^2$	$c_{45}-a_{45}\omega^2$	$c_{46}-a_{46}\omega^2$	c_{47}	c_{48}	0
$c_{51}-a_{51}\omega^2$	$c_{52}-a_{52}\omega^2$	c_{53}	$c_{54}-a_{54}\omega^2$	$c_{55}-a_{55}\omega^2$	c_{56}	$c_{57}-a_{57}\omega^2$	c_{58}	c_{54}
0	0	0	$c_{64}-a_{64}\omega^2$	c_{65}	$c_{66}-a_{66}\omega^2$	c_{67}	c_{68}	0
0	0	0	c_{74}	$c_{75}-a_{75}\omega^2$	c_{76}	$c_{77}-a_{77}\omega^2$	c_{78}	c_{79}
c_{81}	c_{82}	c_{83}	c_{84}	0	c_{86}	0	$c_{88}-a_{88}\omega^2$	0
c_{91}	c_{92}	c_{93}	0	c_{95}	0	c_{97}	0	$c_{99}-a_{99}\omega^2$

 $\Delta =$

Pentru următoarele valori date parametrilor:

$$L_1 = 0,1; 0,2; 0,3; 0,4; 0,5; 0,6; 0,7; 0,8; 0,9; 1 \text{ [m]}$$

$$p = 0,50; 0,70; 0,90,$$

$$\eta = 0,21; 0,27; 0,31,$$

s-a rezolvat ecuația caracteristică (5.8'), iar variația frecvențelor proprii ale locomotivei este reprezentată în figurile (5.7) (5.7).

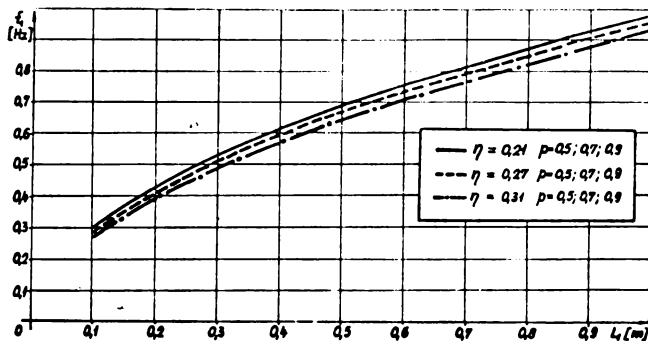


Fig. 5.2.

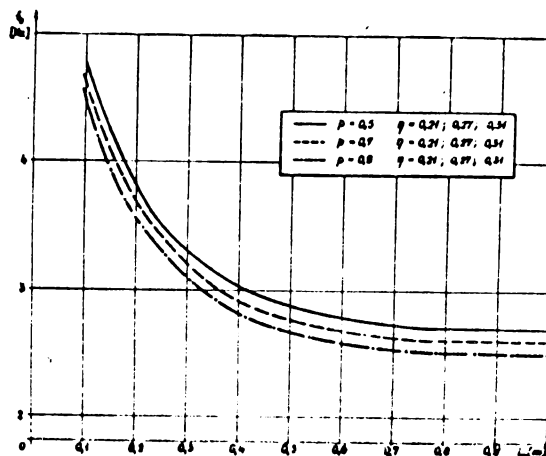


Fig. 5.3

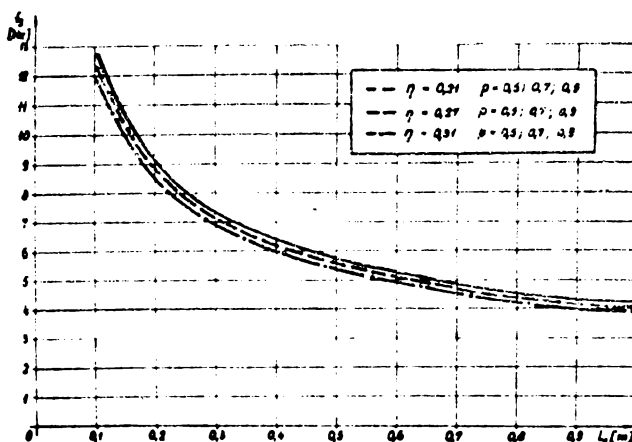


Fig. 5.4

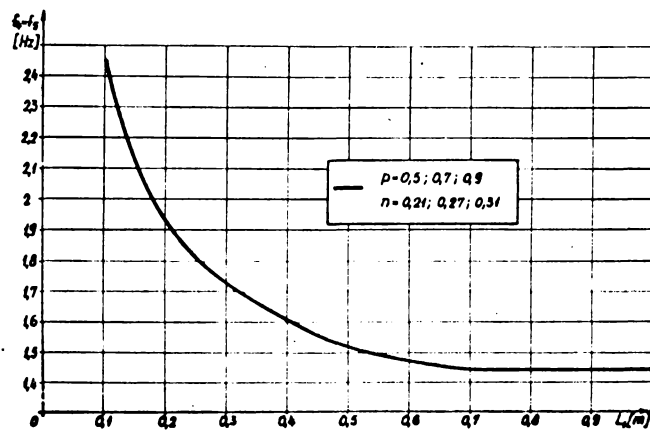


Fig. 5.5

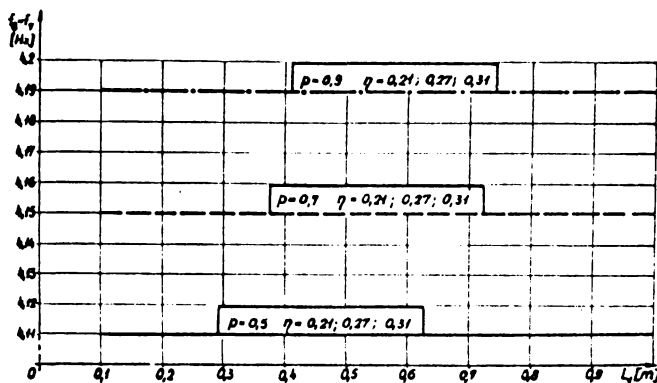


Fig. 5.6.

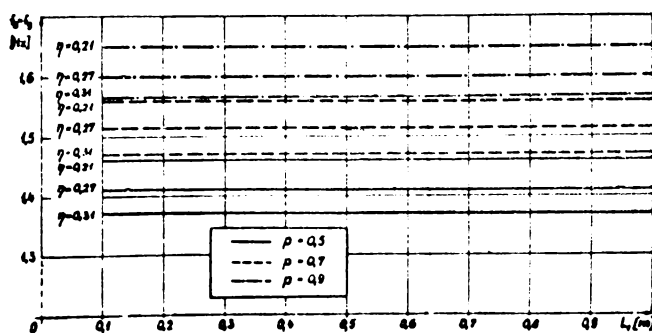


Fig. 5.7

Din analiza diagrameelor rezultă următoarele concluzii:

1. - Spectrul frecvențelor proprii ale locomotivei este cuprins între 0,5 și 6,5 Hz, deci reprezintă un spectru de bandă îngustă și corespunde următoarelor valori date parametrilor.

$$L_4 = 0,37 \text{ m.} \quad \eta = 0,27 \quad \text{și} \quad p = 0,7$$

2. - Pentru o variație între 10 și 100 cm a parametrului L_1 - ce caracterizează construcția leagănului celei de a doua trepte de suspensie a locomotivei - valorile frecvențelor proprii sunt cuprinse între 0,28 și 12,4 Hz, prezentând variații față de acest parametru frecvențele $f_1 \div f_5$:

- valoarea lui f_1 crește odată cu creșterea lui L_1 , pe cind $f_2 \div f_5$ scad odată cu creșterea parametrului L_1 pînă în jurul valorii de 80 cm, după care rămîn constante.

3. - Nu prezintă nici o variație față de repartiția săgeții statice totale și a masei suspendate a locomotivei pe cele două trepte de suspensie, frecvențele f_4 și f_5 .

4. - Prezintă o variație mică sub 1 Hz, frecvențele $f_1 \div f_3$. Ele scad odată cu creșterea masei suspendate ce revine primei trepte de suspensie și rămîn invariabile față de repartiția săgeții statice totale pe cele două trepte de suspensie.

5. - Prezintă aceeași variație mică frecvențele f_8 și f_9 , ele scad odată cu creșterea săgeții statice, cît și a masei suspendate, ce revine primei trepte de suspensie a locomotivei.

Cunoașterea variației frecvențelor proprii ale locomotivei, funcție de diferențele ei mărimi constructive, are importanță în proiectare, în vederea evitării stăriilor de instabilitate a locomotivei, asigurînd astfel securitatea circulației și un regim de mișcare silențios.

5.3. Influența conicității bandajului și a forțelor de pseudoalunecare, asupra vibrațiilor laterale ale locomotivei.

Circulația pe cale ferată a materialului rulant se face în mod diferit față de cea a vehiculelor rutiere, deoarece între forma și dimensiunile aparatului de rulare și calea ferată există o strictă dependență.

Un rol important în acest sens îl are forma și dimensiunile bandajului roții (fig.5.8.) Acost profil poriferic al roții, dat la început mai mult după bunul simț și intuiție, a format ulterior - concomitent cu creșterea vitezei de circulație a capacitatei de transport a vehiculelor și a dezvoltării cunoștințelor teoretice - obiectul unor neconvenite studii, cercetări și observații.

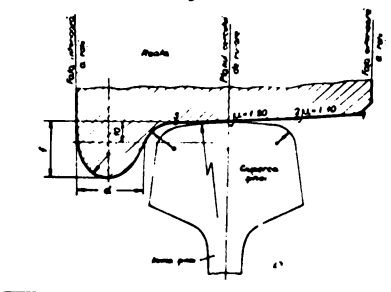


Fig.5.8.

ma actuală a bandajului continuă a fi încă mult discutată și cercetată spre a da o siguranță de mers cît mai mare, o uzură periferică a roții și ginoi cît mai redusă și un mers al vehiculului cît mai liniștit.

In cele ce urmează ne propunem a studia care este influența conicității bandajului de pe portiunea 2-3 asupra vibrației.

Nici chiar profilul folosit astăzi, nu are o formă perfect cristalizată. Diferitele administrații de cale ferată folosesc profiliuri care diferă puțin prin cote, înclinații, raze de raccordare, etc. Încât se poate afirma că forma

lor laterale ale locomotivei, porțiune cu care circulă locomotiva în aliniament.

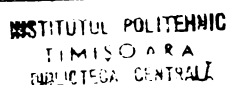
In cazul absenței acestei conicități și în eventualitatea unei cauze de natură constructivă, sau exterioară, roata vehicoulului, odată ajunsă în contact cu unul din firile căii, ar rămîne în contact pînă cînd o altă cauză exterioară alcătorește, să schimbe poziția osiei. La o asemenea circulație, uzură, atît a șinei, cît și a buzei bandajului, ar fi foarte mare, ceea ce ar duce la cheltuieli de întreținere mari.

Conicitatea "μ" a suprafețelor de rulare a bandajelor roților face ca la o deplasare a osiei din poziția mijlocie, una din roți, rulînd pe un diametru mai mare, se va deplasa înaintea celeilalte roți, pînă cînd cealaltă roată va atinge cu buza bandajului firul căii, după care acesta va începe să se depleteze ea înaintea primei ș.a.m.d.

Această deplasare a osiei, de la un fir al căii la celălalt, cu schimbarea alternativă a centrului instantaneu de rotație, de o parte și cealaltă a căii, se numește mișcare de serpuire. O asemenea mișcare îi va determina vehicoulului o uzură mai mică, atît a roții, cît și a șinelor și deci, cheltuieli de întreținere mai reduse.

In cazul locomotivei 060 D.A., prima și cea de a treia osie a flocărui boghiu fiind montate fără joc longitudinal și transversal, datorită conicității bandajelor, osiile montate vor imprima boghiurilor la fel o mișcare de serpuire, iar acesta în rîndul lor, întregii locomotive.

Această mișcare fiind o suprapunere de două mișcări – deplasare transversală perpendiculară pe firul căii și o rotație în jurul unei axe perpendiculare pe planul căii – constituie una din principalele forme de vibrare a locomotivei de a cărei nume



caracteristice depinde, atât mișcarea ei silentioasă, cît și siguranța contra deraierii.

Pentru circulația în aliniament a unei singure osii montate, ecuația diferențială care descrie mișcarea de deplasare laterală după axa Oy este de forma [140]

$$\ddot{y} + \omega^2 y = 0 \quad (5.10)$$

în care s-a notat $\omega^2 = \frac{\mu}{RS} v^2$ unde:

μ = conicitatea bandajului

R = raza roții

2S = distanța între cercurile de rulare

v = viteza de înaintare a locomotivei.

Soluția ecuației (5.10) fiind de forma:

$$y = y_0 \sin \omega t$$

reprezintă o oscilație armonică cu perioada:

$$T = \frac{2\pi}{v} \sqrt{\frac{RS}{\mu}} \quad (5.11)$$

și lungime de undă:

$$L = vT = 2\pi \sqrt{\frac{RS}{\mu}} \quad (5.12)$$

Din relațiile de mai sus, se vede, că atât conicitatea bandajului, cît și viteza de înaintare a locomotivei, influențează asupra mișcării ei de șerpuire.

În figura (5.9.) sunt date diagramele de variație a perioadei și lungimii de undă a acestei vibrații în funcție de viteza de înaintare.

Prezența forțelor de frecare dintre roată și șină, precum și a forțelor de rapel, fac ca vibrațiile osiei montate să se reducă în mod simțitor.

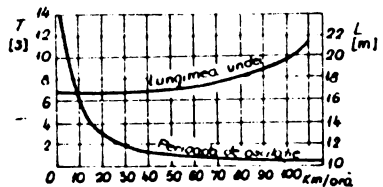


Fig.5.9

să vedem în continuare ce influență au aceste mărimi asupra întregului sistem de vibrații laterale a locomotivei, la care osia montată nu este prevăzută cu nici un joc.

Ecuațiile diferențiale ale vibrațiilor laterale ale locomotivei pentru acest studiu, se deduc din ecuațiile (4.50) anumite matricea F a forțelor de frecare și matricea P a forțelor elastice ale șinelor.

$$M[\ddot{q}_i] + C[\dot{q}_i] + (K_1 + K_2 + K_3)[q_i] = [0] \quad (5.13)$$

$$i = 1, \dots, 9$$

unde matricele M , C și K , sunt pătrate și simetrice. Rezultă ecuațiile diferențiale care descriu vibrațiile laterale ale locomotivei ca o construcție mecanică îndelungată, formenând un sistem de nouă ecuații diferențiale având cuplaj inerțial, de amortizare și elastic.

Pentru rezolvarea sistemului de ecuații (5.13) se va căuta soluții de formă

Calculele de mai sus, având scopul de a ne arăta posibilitățile de influențare a vibrațiilor laterale a unei osii montate prevăzute cu joc longitudinal și transversal, de către conicitatea bandajului și a vitezei de înaintare,

să vedem în continuare ce influență

$$[q_i] = [A_i] e^{\lambda t} \quad i = 1, \dots, 9 \quad (5.14)$$

care, înlocuite în ecuația (5.13), conduc la următoarea problemă algebrică

$$(\mathbf{M}\lambda^2 + \mathbf{C}\lambda + \mathbf{K}_1 + \mathbf{K}_2 + \mathbf{K}_3) [A_i] = [0] \quad (5.15)$$

care reprezintă un sistem de nouă ecuații algebrice, cu nouă necunoscute A_i .

Pentru ca sistemul (5.15) să aibă soluții diferite de zero, va trebui ca

$$\Delta = \det(\mathbf{M}\lambda^2 + \mathbf{C}\lambda + \mathbf{K}_1 + \mathbf{K}_2 + \mathbf{K}_3) = 0 \quad (5.16)$$

Rezolvarea manuală a acestei ecuații este aproape imposibilă, de aceea s-a recurs la ajutorul calculatorului electronic din cadrul Centrului de Calcul al Filialei Academiei R.S.R. din Oradea.

Calculele s-au făcut pentru locomotiva diesel-electrica 060 D.A. de 2.100 C.P. în funcție de conicitatea bandajului μ și viteza de înaintare "v" a locomotivei.

Pentru următoarele valori date parametrilor μ și v

$$\mu = \frac{1}{15}; \frac{1}{20}; \frac{1}{25} \quad \text{și} \quad v = 10 \dots 150 \text{ km/h}$$

rădăcinile ecuației caracteristice (5.16) sunt trecute în tablă. Din analiza lor rezultă următoarele concluzii:

1. Ecuațiile diferențiale (5.13) care descriu vînătarea laterale a locomotivei - ca o construcție mecanică - formează un sistem de nouă ecuații diferențiale cuplate ...

prin cuplaje elastice , inertiale, și de amortizare.

2. Vibrațiile laterale ale locomotivei - pentru următoarele valori date parametrilor $\mu = \frac{1}{20}$; $\frac{1}{25}$ și $v = 10...150$ km/h - reprezintă o sumă de mișcări aperiodice și vibrații amortizate cu pulsării diferite, de unde rezultă concluzia că locomotiva ca o construcție mecanică ideală, este stabilă.

3. Aceeași concluzie rezultă și pentru celelalte valori date parametrilor $\mu = \frac{1}{15}$ și $v = 10 - 150$ km/h, afară de cazurile cînd $v = 140$, 150 km/h, pentru care vibrațiile laterale ale locomotivei reprezintă o sumă de vibrații amortizate și vibrații cu amplitudinea crescătoare în timp, pentru care locomotiva - ca o construcție mecanică ideală - este instabilă.

4. Din rezultatele obținute rezultă că pentru mișcările aperiodice factorul de amortizare scade, atît cu creșterea conicității bandajului, cît și cu creșterea vitezei de înaintare a locomotivei.

5. Pentru celelalte mișcări vibratorii, atît factorul de amortizare, cît și pulsăriile vibrațiilor cresc, în general, odată cu creșterea conicității bandajului, cît și cu a vitezei de înaintare a locomotivei.

(5.16)

$c_{11} + c_{12}$	$c_{12} + c_{13}$	$c_{13} + c_{14}$	$c_{14} + c_{15}$	$c_{15} + c_{16}$	$c_{16} + c_{17}$	$c_{17} + c_{18}$	$c_{18} + c_{19}$
$c_{19} + c_{20}$	$c_{20} + c_{21}$	$c_{21} + c_{22}$	$c_{22} + c_{23}$	$c_{23} + c_{24}$	$c_{24} + c_{25}$	$c_{25} + c_{26}$	$c_{26} + c_{27}$
$c_{27} + c_{28}$	$c_{28} + c_{29}$	$c_{29} + c_{30}$	$c_{30} + c_{31}$	$c_{31} + c_{32}$	$c_{32} + c_{33}$	$c_{33} + c_{34}$	$c_{34} + c_{35}$
$c_{35} + c_{36}$	$c_{36} + c_{37}$	$c_{37} + c_{38}$	$c_{38} + c_{39}$	$c_{39} + c_{40}$	$c_{40} + c_{41}$	$c_{41} + c_{42}$	$c_{42} + c_{43}$
$c_{43} + c_{44}$	$c_{44} + c_{45}$	$c_{45} + c_{46}$	$c_{46} + c_{47}$	$c_{47} + c_{48}$	$c_{48} + c_{49}$	$c_{49} + c_{50}$	$c_{50} + c_{51}$
$c_{51} + c_{52}$	$c_{52} + c_{53}$	$c_{53} + c_{54}$	$c_{54} + c_{55}$	$c_{55} + c_{56}$	$c_{56} + c_{57}$	$c_{57} + c_{58}$	$c_{58} + c_{59}$
$c_{59} + c_{60}$	$c_{60} + c_{61}$	$c_{61} + c_{62}$	$c_{62} + c_{63}$	$c_{63} + c_{64}$	$c_{64} + c_{65}$	$c_{65} + c_{66}$	$c_{66} + c_{67}$
$c_{67} + c_{68}$	$c_{68} + c_{69}$	$c_{69} + c_{70}$	$c_{70} + c_{71}$	$c_{71} + c_{72}$	$c_{72} + c_{73}$	$c_{73} + c_{74}$	$c_{74} + c_{75}$
$c_{75} + c_{76}$	$c_{76} + c_{77}$	$c_{77} + c_{78}$	$c_{78} + c_{79}$	$c_{79} + c_{80}$	$c_{80} + c_{81}$	$c_{81} + c_{82}$	$c_{82} + c_{83}$
$c_{83} + c_{84}$	$c_{84} + c_{85}$	$c_{85} + c_{86}$	$c_{86} + c_{87}$	$c_{87} + c_{88}$	$c_{88} + c_{89}$	$c_{89} + c_{90}$	$c_{90} + c_{91}$
$c_{91} + c_{92}$	$c_{92} + c_{93}$	$c_{93} + c_{94}$	$c_{94} + c_{95}$	$c_{95} + c_{96}$	$c_{96} + c_{97}$	$c_{97} + c_{98}$	$c_{98} + c_{99}$

11

RADACINILE ECUATIEI CARACTERISTICE

μ	λ_1	λ_2	λ_3	λ_4	λ_5	λ_6	λ_7	λ_8
-10 -1864,07	-1550,92	-1854,62	-1550,57	-0,02038 +i43,368	-0,02038 -i43,368	-0,01769 +i20,241	-0,01769 -i20,241	-0,01769 -i20,241
20 -922,674	-768,353	-918,045	-767,919	-0,04112 +i43,369	-0,04112 -i43,369	-0,03575 +i20,240	-0,03575 -i20,240	-0,03575 -i20,240
30 -613,667	-511,807	-610,642	-511,231	-0,06173 +i43,371	-0,06173 -i43,371	-0,05376 +i20,240	-0,05376 -i20,240	-0,05376 -i20,240
40 -458,958	-383,635	-456,750	-382,904	-0,08227 +i43,373	-0,08227 -i20,239	-0,07191 +i20,239	-0,07191 -i20,239	-0,07191 -i20,239
50 -366,154	-306,997	-364,443	-306,111	-0,10268 +i43,375	-0,10268 -i43,375	-0,09018 +i20,238	-0,09018 -i20,238	-0,09018 -i20,238
60 -303,778	-255,736	-302,406	-254,695	-0,12310 +i43,379	-0,12310 -i43,379	-0,10875 +i20,237	-0,10875 -i20,237	-0,10875 -i20,237
70 -258,991	-219,188	-257,864	-217,996	-0,14342 +i43,382	-0,14342 -i43,382	-0,12759 +i20,235	-0,12759 -i20,235	-0,12759 -i20,235
80 -255,159	-191,867	-224,217	-190,528	-0,16364 +i43,387	-0,16364 -i43,387	-0,14676 +i20,233	-0,14676 -i20,233	-0,14676 -i20,233
90 -198,588	-170,737	-197,788	-169,259	-0,18373 +i43,392	-0,18373 -i43,392	-0,16633 +i20,231	-0,16633 -i20,231	-0,16633 -i20,231
100 -177,534	-154,380	-176,844	-152,771	-0,20318 +i43,397	-0,20318 -i43,397	-0,18584 +i20,229	-0,18584 -i20,229	-0,18584 -i20,229
110 -159,115	-140,603	-158,523	-138,858	-0,223385 +i43,404	-0,223385 -i43,404	-0,20268 +i20,226	-0,20268 -i20,226	-0,20268 -i20,226

μ	$v_{km/h}$	λ_1	λ_2	λ_3	λ_4	λ_5	λ_6	λ_7	λ_8
120	-143,625	-129,788	-143,133	-127,902	-0,24296	-0,24296	-0,22792	-0,22792	-120,222
130	-129,587	-121,491	-129,308	-119,344	+143,411	-i43,411	+i20,222	+i20,222	-i20,222
140	-0,28136 +143,426	-0,28136 -143,426	-115,964 +13,2663	-115,964 -13,2663	-114,730 +12,1660	-114,730 -i2,1670	-0,26232 +i20,418	-0,26232 -i43,418	-0,24970 +i20,219
150	-107,607 +i5,9041	-107,607 -15,9041	-0,30020 +i43,435	-0,30020 -i43,435	-106,354 +i5,6674	-106,354 -i5,6674	-0,27214 +i20,215	-0,27214 -i20,215	-0,27214 -i20,215

V a l o r i l e _ 1 u 1 _ \lambda

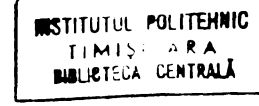
λ_9	λ_{10}	λ_{11}	λ_{12}	λ_{13}	λ_{14}	λ_{15}	λ_{16}	λ_{17}	λ_{18}
-0,00159	-0,00159	-0,00420	-0,00420	-0,31489	-0,01530	-0,01530	-0,40843	-0,40843	-19,5099
+137,113	-137,113	+14,2405	-14,2405	+10,4242	-10,4242	+15,7591	+10,5099	+10,5099	-19,5099
-0,00231	-0,00231	-0,00855	-0,00855	-0,63508	-0,63508	-0,03122	-0,82360	-0,82360	-11,0318
+137,113	-137,113	+14,2394	-14,2394	+10,8576	-10,8576	+15,7559	+11,0318	+11,0318	-11,0318
-0,00350	-0,00350	-0,01290	-0,01290	-0,95222	-0,95222	-1,23468	-1,23468	-0,04743	-0,04743
+137,113	-137,113	+14,2372	-14,2372	+11,2909	-11,2909	+11,5556	+11,5556	+15,7497	-15,7497
-0,00469	-0,00469	-0,01695	-0,01695	-1,26853	-1,26853	-0,06347	-0,06347	-1,64478	-1,64478
+137,113	-137,113	+14,2339	-14,2339	+11,7287	-11,7287	+15,7394	-15,7394	+12,0881	-2,08815
-0,00586	-0,00586	-0,01994	-0,01994	-1,58319	-1,58319	-0,07762	-0,07762	-2,05360	-2,05360
+137,114	-137,114	+14,22854	-14,22854	+12,1709	-12,1709	+15,7240	-15,7240	+12,6302	-12,6302
-0,00704	-0,00704	-0,02081	-0,02081	-1,89903	-1,89903	-0,08701	-0,08701	-2,46648	-2,46648
+137,114	-137,114	+14,22222	-14,22222	+12,6211	-12,6211	+15,7034	-15,7034	+13,1877	-13,1877
-0,00823	-0,00823	-0,01896	-0,01896	-2,21492	-2,21492	-0,08845	-0,08845	-2,88436	-2,88436
+137,114	-137,114	+14,2161	-14,2161	+13,0778	-13,0778	+15,6802	-15,6802	+13,7577	-13,7577
-0,00942	-0,00942	-0,01508	-0,01508	-2,52951	-2,52951	-0,08129	-0,08129	-3,30681	-3,30681
+137,114	-137,114	+14,2117	-14,2117	+13,5403	-13,5403	+15,6593	-15,6593	+14,3374	-14,3374
-0,01061	-0,01061	-0,01061	-0,01061	-2,84052	-2,84052	-0,06858	-0,06858	-3,72984	-3,72984
+137,114	-137,114	+14,2096	-14,2096	+14,0096	-14,0096	+15,6443	-15,6443	+14,9246	-14,9246
-0,01177	-0,01177	-0,00671	-0,00671	-3,13831	-3,13831	-4,13736	-4,13736	-0,05483	-0,05483
+137,114	-137,114	+14,20932	-14,20932	+14,4750	-14,4750	+15,5055	-15,5055	+15,6363	-15,6363
-0,01300	-0,01300	-0,00354	-0,00354	-3,44313	-3,44313	-4,55476	-4,55476	-0,04173	-0,04173
+137,114	-137,115	+14,2099	-14,2099	+14,9732	-14,9732	+16,1266	-16,1266	+15,6329	-15,6329

V a l o r i e l u i λ

λ_9	λ_{10}	λ_{11}	λ_{12}	λ_{13}	λ_{14}	λ_{15}	λ_{16}	λ_{17}	λ_{18}
-o,01421 +i37,115	-o,01421 -i37,115	-o,00129 +i4,2110	-o,00129 -i4,2110	-3,73000 +15,4728	-3,73000 -15,4728	-4,95060 +16,7507	-4,95060 -i6,7507	-o,03121 +i5,6328	-o,03121 -i5,6328
-o,01542 +i37,115	-o,01542 -i37,115	-o,00027 +i4,2122	-o,00027 -i4,2122	-4,01308 +15,9858	-4,01308 -i5,9858	-5,33125 +17,3937	-5,33125 -i7,3937	-o,02295 +i5,6344	-o,02295 -i5,6344
-o,01662 +i37,116	-o,01662 -i37,116	+o,00136 +i4,2133	+o,00136 -i4,2133	-4,28077 +16,5112	-4,28077 -i6,5112	-5,69266 +i8,0555	-5,69266 -i8,0555	-o,01662 +i5,6367	-o,01662 -i5,6367
-o,01785 +i37,116	-o,01785 -i37,116	+o,00210 +i4,2144	+o,00210 -i4,2144	-4,53605 +i7,0537	-4,53605 -i7,0537	-6,03423 +18,7424	-6,03423 -i8,7424	-o,01178 +i5,6393	-o,01178 -i5,6393

μ	k_m/n	λ_1	λ_2	λ_3	λ_4	λ_5	λ_6	λ_7	λ_8
10	-1818,78	-1518,51	-1809,56	-1518,16	+143,368	-143,368	-0,02925	-0,01813	-0,01813
20	-900,199	-752,302	-895,688	-751,858	+143,369	-143,369	-0,04222	-0,03662	-0,03662
30	-598,657	-501,120	-595,712	-500,531	+143,371	-143,371	-0,06334	-0,05505	-0,05505
40	-447,668	-375,628	-445,550	-374,882	+143,373	-143,373	-0,08440	-0,07359	-0,07359
50	-357,080	-300,592	-355,419	-299,687	+143,376	-143,376	-0,10531	-0,09220	-0,09220
60	-296,183	-250,399	-294,853	-249,336	+143,379	-143,379	-0,12620	-0,11106	-0,11106
70	-252,448	-214,610	-251,357	-213,394	+143,383	-143,383	-0,14698	-0,13012	-0,13012
80	-219,403	-187,851	-218,490	-186,488	+143,388	-143,388	-0,16763	-0,14944	-0,14944
90	-193,442	-193,442	-167,152	-192,666	+143,393	-143,393	-0,18812	-0,16906	-0,16906
100	-172,863	-151,123	-172,191	-149,492	+143,399	-143,399	-0,20792	-0,18852	-0,18852
110	-154,850	-137,618	-154,267	-135,858	+143,405	-143,405	-0,22846	-0,20292	-0,20292
120	-139,680	-127,028	-139,186	-125,132	+143,412	-143,412	-0,24834	-0,23006	-0,23006
130	-0,26796	-0,26796	-118,991	-125,828	-125,560	-116,820	-0,24834	-0,25132	-0,25132
140	+143,420	-143,420	-0,28724	-0,01130	-0,01130	-0,01117	-0,01117	-0,27305	-0,27305
150	-0,01043	-0,01043	+15,8345	-0,30628	-0,30628	-0,01355	-0,01355	-0,29545	-0,29545

λ_9	λ_{10}	λ_{11}	λ_{12}	λ_{13}	λ_{14}	λ_{15}	λ_{16}	λ_{17}	λ_{18}
-0,00119	-0,00119	-0,00430	-0,00430	-0,32186	-0,32186	-0,01568	-0,01568	-0,41750	-0,41750
+i37,113	-i37,113	+i4,2405	-i4,2405	+i0,3745	-i0,3745	+i5,7591	-i5,7591	+i4,4535	-i4,4535
-0,00240	-0,00240	-0,00870	-0,00870	-0,03187	-0,03187	-0,64938	-0,64938	-0,84217	-0,84217
+i37,113	-i37,113	+i4,2394	-i4,2394	+i5,2557	-i5,2557	+i0,7573	-i0,7573	+i0,9603	-i0,9603
-0,00361	-0,00361	-0,01299	-0,01299	-0,97424	-0,97424	-0,04815	-0,04815	-1,26318	-1,26318
+i37,113	-i37,113	+i4,2373	-i4,2373	+i1,1400	-i1,1400	+i5,7495	-i5,7495	+i1,4481	-i1,4481
-0,00482	-0,00482	-0,01694	-0,01694	-1,29884	-1,29884	-0,06405	-0,06405	-1,68388	-1,68388
+i37,113	-i37,113	+i4,2340	-i4,2340	+i1,5268	-i1,5268	+i5,7395	-i5,7395	+i1,9441	-i1,9441
-0,00602	-0,00602	-0,01998	-0,01999	-1,62231	-1,62231	-0,07808	-0,07808	-2,10388	-2,10388
+i37,114	-i37,114	+i4,2294	-i4,2294	+i1,9174	-i1,9174	+i5,7249	-i5,7249	+i2,4492	-i2,4492
-0,00724	-0,00724	-0,02147	-0,02147	-1,94736	-1,94736	-0,08794	-0,08794	-2,52817	-2,52817
+i37,114	-i37,114	+i4,2239	-i4,2239	+i2,3155	-i2,3155	+i5,7058	-i5,7058	+i2,9686	-i2,9686
-0,00845	-0,00845	-0,02091	-0,02091	-2,27292	-2,27292	-2,95713	-2,95713	-0,09114	-0,09114
+i37,114	-i37,114	+i4,2183	-i4,2183	+i2,7198	-i2,7198	+i3,5004	-i3,5004	+i5,6842	-i5,6842
-0,00966	-0,00966	-0,01854	-0,01854	-2,59829	-2,59829	-0,08693	-0,08693	-3,39079	-3,39079
+i37,114	-i37,114	+i4,2136	-i4,2136	+i3,1305	-i3,1305	+i5,6638	-i5,6638	+i4,0427	-i4,0427
-0,01038	-0,01038	-0,01516	-0,01516	-2,92212	-2,92212	-0,07215	-0,07215	-3,82633	-3,82633
+i37,114	-i37,114	+i4,2105	-i4,2105	+i3,5481	-i3,5481	+i5,6478	-i5,6478	+i4,5942	-i4,5942
-0,01207	-0,01207	-0,01173	-0,01173	-3,23487	-3,23487	-4,24855	-4,24855	-0,06547	-0,06547
+i37,114	-i37,114	+i4,2089	-i4,2089	+i3,9630	-i3,9630	+i5,1414	-i5,1414	+i5,376	-i5,376
-0,01332	-0,01332	-0,00853	-0,00853	-3,55812	-3,55812	-4,68443	-4,68443	-0,05334	-0,05334
+i37,115	-i37,115	+i4,2083	-i4,2083	+i4,4076	-i4,4076	+i5,7277	-i5,7277	+i5,6317	-i5,6317
-0,01455	-0,01455	-0,00596	-0,00596	-3,86887	-3,86887	-5,10138	-5,10138	-0,04291	-0,04291
+i37,115	-i37,115	+i4,2085	-i4,2085	+i4,8544	-i4,8544	+i6,3178	-i6,3178	+i5,6294	-i5,6294
-0,01578	-0,01578	-0,00396	-0,00396	-4,17281	-4,17281	-5,50601	-5,50601	-0,03427	-0,03427
+i37,115	-i37,115	+i4,2091	-i4,2091	+i5,5140	-i5,5140	+i6,9272	-i6,9272	+i5,6292	-i5,6292
-0,01700	-0,01700	-0,00244	-0,00244	-4,46751	-4,46751	-5,89417	-5,89417	-0,02733	-0,02733
+i37,116	-i37,116	+i4,2098	-i4,2098	+i5,7862	-i5,7862	+i7,5562	-i7,5562	+i5,6301	-i5,6301
-0,01823	-0,01823	-0,00128	-0,00128	-4,75347	-4,75347	-6,26543	-6,26543	-0,02173	-0,02173
+i7,216	-i37,116	+i4,2106	-i4,2106	+i6,2755	-i6,2755	+i8,2113	-i8,2113	+i5,6316	-i5,6316



μ	k_m/h	λ_1	λ_2	λ_3	λ_4	λ_5	λ_6	λ_7	λ_8
10	-1792,19	-1499,51	-1783,11	-1499,15	-0,02124	-0,02124	-0,01840	-0,01840	-120,241
20	-887,003	-742,892	-882,561	-742,442	-0,04287	-0,04287	-0,03715	-0,03715	-120,240
30	-589,843	-494,855	-586,944	-494,258	-0,06431	-0,06431	-0,05844	-0,05844	-120,240
40	-441,037	-370,934	-438,925	-370,178	-0,08568	-0,08568	-0,07460	-0,07460	-120,239
50	-351,750	-296,836	-350,118	-295,118	-0,10689	-0,10689	-0,09342	-0,09342	-120,238
60	-291,721	-247,269	-290,419	-246,194	-0,12808	-0,12808	-0,11244	-0,11244	-120,236
70	-241,604	-211,294	-247,533	-210,695	-0,14913	-0,14913	-0,13163	-0,13163	-120,235
80	-216,021	-185,493	-215,126	-184,117	-0,17002	-0,17002	-0,15102	-0,15102	-120,233
90	-190,419	-165,044	-189,657	-133,528	-0,19075	-0,19075	-0,17065	-0,17065	-120,230
100	-170,122	-149,203	-169,460	-147,561	-0,21076	-0,21076	-0,19005	-0,19005	-120,228
110	-152,352	-135,852	-151,772	-134,084	-0,23150	-0,23150	-0,21068	-0,21068	-120,225
120	-137,379	-125,380	-136,878	-123,484	-0,25156	-0,25156	-0,23122	-0,23122	-120,222
130	-123,656	-117,473	-123,378	-115,364	-0,27133	-0,27133	-0,25214	-0,25214	-120,218
140	-0,29750	-0,29750	-0,01128	-0,01128	-0,01100	-0,01100	-0,027340	-0,027340	-120,214
150	+143,429	-143,429	+13,5938	-13,5938	+13,0128	+13,0128	+120,214	+120,214	-120,210
	-0,30989	-0,30989	-103,165	-103,165	-101,900	-101,900	-0,29521	-0,29521	-120,210
	+143,438	-143,438	+15,7267	-15,7267	+15,7141	+15,7141			

λ_9	λ_{10}	λ_{11}	λ_{12}	λ_{13}	λ_{14}	λ_{15}	λ_{16}	λ_{17}	λ_{18}
-0,00121 +137,113	-0,00121 -137,113	-0,00436 +14,2405	-0,00436 -14,2405	-0,32616 +10,3392	-0,32616 +10,3392	-0,01590 -15,7590	-0,01590 -15,7590	-0,42306 +10,4504	-0,42306 +10,4504
-0,00242 +137,113	-0,00242 -137,113	-0,00878 +14,2394	-0,00878 -14,2394	-0,03226 +15,7556	-0,03226 +15,7556	-0,65820 +10,6858	-0,65820 +10,6858	-0,85356 +10,9117	-0,85356 +10,9117
-0,00367 +137,113	-0,00367 -137,113	-0,01304 +14,2373	-0,01304 -14,2373	-0,98785 +11,0325	-0,98785 +15,7494	-0,04857 -15,7494	-0,04857 -15,7494	-1,28070 +11,3750	-1,28070 +11,3750
-0,00490 +137,113	-0,00490 -137,113	-0,01693 +14,2342	-0,01693 -14,2342	-0,131761 +11,3829	-0,131761 +11,3829	-0,06438 -15,7395	-0,06438 -15,7395	-1,70795 +11,8462	-1,70795 +11,8462
-0,00612 +137,114	-0,00612 -137,114	-0,01999 +14,2300	-0,01999 -14,2300	-1,64660 +11,7367	-1,64660 +11,7367	-0,07831 +15,7254	-0,07831 +15,7254	-2,13489 +12,3260	-2,13489 +12,3260
-0,00735 +137,114	-0,00735 -137,114	-0,02175 +14,2250	-0,02175 -14,2250	-1,97754 +12,0974	-1,97754 +12,0974	-0,08843 +15,7073	-0,08843 +15,7073	-2,56635 +12,8195	-2,56635 +12,8195
-0,00858 +137,114	-0,00858 -137,114	-0,02186 +14,2198	-0,02186 -14,2198	-2,30935 +12,4642	-2,30935 +12,4642	-3,0027 +13,3249	-3,0027 +13,3249	-0,09261 +15,6867	-0,09261 +15,6867
-0,00982 +137,114	-0,00982 -137,114	-0,02039 +14,2151	-0,02039 -14,2151	-2,64166 +12,8372	-2,64166 +12,8372	-0,09012 +15,6668	-0,09012 +15,6668	-15,6866 +13,8417	-15,6866 +13,8417
-0,01105 +137,114	-0,01105 -137,114	-0,01787 +14,2116	-0,01787 -14,2116	-2,97359 +13,2172	-2,97359 +13,2172	-0,08231 +15,6505	-0,08231 +15,6505	-3,44323 +14,3682	-3,44323 +14,3682
-0,01226 +137,115	-0,01226 -137,115	-0,015 +14,2093	-0,015 -14,2093	-3,29572 +13,5953	-3,29572 +13,5953	-4,31815 +14,8916	-4,31815 +14,8916	-13,8417 +15,6391	-13,8417 +15,6391
-0,01350 +137,114	-0,01350 -137,114	-0,01205 +14,2081	-0,01205 -14,2081	-3,63067 +14,0010	-3,63067 +14,0010	-4,76566 +15,4534	-4,76566 +15,4534	-14,3682 +15,6318	-14,3682 +15,6318
-0,01476 +137,115	-0,01476 -137,115	-0,00951 +14,2076	-0,00951 -14,2076	-3,95487 +14,4091	-3,95487 +14,4091	-5,19609 -16,0197	-5,19609 -16,0197	-0,05076 +15,6281	-0,05076 +15,6281
-0,01599 +137,115	-0,01599 -137,115	-0,00738 +14,2076	-0,00738 -14,2076	-4,27441 +14,8297	-4,27441 +14,8297	-5,61627 +16,6053	-5,61627 +16,6053	-0,04209 +15,6266	-0,04209 +15,6266
-0,01722 +137,116	-0,01722 -137,116	-0,00565 +14,2079	-0,00565 -14,2079	-4,58699 +15,2626	-4,58699 +15,2626	-6,02202 +17,2109	-6,02202 +17,2109	-0,03490 +15,6265	-0,03490 +15,6265
-0,01847 +137,115	-0,01847 -137,115	-0,00427 +14,2084	-0,00427 -14,2084	-4,89350 +15,7124	-4,89350 +15,7124	-6,41311 +17,8431	-6,41311 +17,8431	-0,02900 +15,6272	-0,02900 +15,6272

5.4. Integrarea ecuațiilor diferențiale ale vibrațiilor laterale ale locomotivei.

In capitolul IV au fost stabilite ecuațiile diferențiale cele mai generale, care descriu vibrațiile laterale ale locomotivei.

Scrise sub forma matriceală, în (4.50), acestea sănt

$$M [\ddot{q}_i] + C [\dot{q}_i] + (K_1 + K_2 + K_3) [q_i] + F [\text{sign } v_i] = P$$

semnificația termenilor fiind stabilită în relațiile (4.51. - 4.61).

Datorită neliniarităților ce apar în sistemul de ecuații din cauza forțelor de frocare uscată, cît și a forțelor conducătoare, rezolvarea sistemului de ecuații se pretează cel mai bine pe calculatoare analogice.

Astfel, s-a încercat rezolvarea lui pe două calculatoare analogice tip M E D A (R.S.C.) legate în serie, (care mi-

fost puse la dispoziție de Institutul de cercetări al Căilor Ferate - București), dar fără succes, deoarece numărul de potențiometre și de comparatoare pe care le au calculatoarele (38 respectiv 4) au fost insuficiente pentru rezolvarea problemei.

De aceea s-a recurs la rezolvarea sistemului de ecuații pe calculatorul cifric al Centrului de calcul teritorial din Timișoara.

Programarea problemei pentru rezolvare s-a făcut în limbajul Fortran, folosind metoda Runge - Kutta modificată de Gill, pentru rezolvarea ecuațiilor diferențiale ordinare de ordinul I, folosind subrutina R.K.G.S. conform programului anexat.

Ca parametru pentru variația în timp a legilor de mișcare a vibrațiilor laterale, s-a luat viteza v de circulație a locomotivei.

Intrucit această metodă ce se pretează la integrarea ecuațiilor diferențiale neliniare, pe calculatoare cifrice, constă în integrarea sistemului de ecuații pe poțiuni, în general pasul optim ales de mașină, a fost de 1/1000 secunde și uneori, cind el nu a corespuns, a fost înjumătătit. Astfel, timpul de rezolvare pe calculator, a sistemului de ecuații, pentru o viteză de circulație, a fost de aproximativ 180 minute pentru un interval de 8 secunde.

Având în vedere timpul extrem de mare, respectiv cheltuieli mari, pentru rezolvarea unui caz, s-a limitat integrarea sistemului de ecuații, pentru vitezele de 80 și 100 km/h, cu care se circulă curent pe liniile ferate principale și pentru viteză de 140 km/h, cu care se preconizează a se circula în viitorul apropiat.

Tinind seamă de soluția constructivă a locomotivei, s-au ales următoarele condiții initiale:

$$\begin{array}{ll}
 q_{01} = y_{0c} = 0,03 \text{ m} & \dot{q}_{01} = \dot{y}_{0c} = 0,18 \text{ m/sec} \\
 q_{02} = \beta_{0c} = 0,022 \text{ rad} & \dot{q}_{02} = \dot{\beta}_{0c} = 0,13 \text{ rad/sec} \\
 q_{03} = \alpha_{0c} = 0,007 \text{ rad} & \dot{q}_{03} = \dot{\alpha}_{0c} = 0,042 \text{ rad/sec} \\
 q_{04} = y_{0B_1} = 0,002 \text{ m} & \dot{q}_{04} = \dot{y}_{0B_1} = 0,012 \text{ m/sec} \\
 q_{05} = y_{0B_2} = 0,002 \text{ m} & \dot{q}_{05} = \dot{y}_{0B_2} = 0,012 \text{ m/sec} \\
 q_{06} = \beta_{0B_1} = 0,0015 \text{ rad} & \dot{q}_{06} = \dot{\beta}_{0B_1} = 0,009 \text{ rad/sec} \\
 q_{07} = \beta_{0B_2} = 0,0015 \text{ rad} & \dot{q}_{07} = \dot{\beta}_{0B_2} = 0,009 \text{ rad/sec} \\
 q_{08} = \alpha_{0B_1} = 0,003 \text{ rad} & \dot{q}_{08} = \dot{\alpha}_{0B_1} = 0,018 \text{ rad/sec} \\
 q_{09} = \alpha_{0B_2} = 0,003 \text{ rad} & \dot{q}_{09} = \dot{\alpha}_{0B_2} = 0,018 \text{ rad/sec}
 \end{array}$$

Valorile numerice ale mărimilor caracteristice a locomotivei diesel-electrice 060 D.A., pentru care s-a integrat sistemul de ecuații diferențiale, sint date în tabelul alăturat.

Datele caracteristice ale locomotivei

Notă- ția	Denumirea	Valo- rea	U/M
M_c	Masa cutiei locomotivei	67.400	kg
m_B	Masa suspendată a unui boghiu	12.753	kg
m_o	Masa unei osii	3.433	kg
I_{Gx}^c	Momentul de inerție al cutiei în raport cu axa Ox.	56.898	kgm^2

Notă ția	D e n u m i r e a	Valoare	U/M
I_{Gz}^c	Momentul de inertie al cutiei în cu axa Oz	$1,43 \cdot 10^6$	kgm^2
I_{Gx}^B	Momentul de inertie al boghiului în raport cu axa Ox	10.791	kgm^2
I_{Gz}^B	Momentul de inertie al boghiului în raport cu axa Oz	62.293	kgm^2
I_{Gx}^O	Moment de inertie al osiei montate în raport cu axa Ox	1.667	kgm^2
K	Coefficientul de proporționalitate al forței de alunecare elastică	14,71	MN
K_1	Constanta elastică transversală a șinei	14,71	MNm^{-1}
k^*	Constanta elastică a cuplei elastice transversale dintre boghiuri	618	kNm^{-1}
k_{cz}	Constanta elastică a arcului cu foi de la suspensia cutiei pe boghiuri	1,96	MNm^{-1}
k_{Bz}	Constanta elastică a arcului eliocoidal de la suspensia boghiului pe osii	0,64	MNm^{-1}
h_o	Inăltimea centrului de greutate al cutiei locomotivei față de originea axelor legate de boghiu	1,75	m
L	Lungimea suspensorului	0,29	m
d	Distanța între centrul de greutate al boghiului și originea axelor	0,06	m
d_2	Conform figurii 3.1.	1,06	m
d_3	Conform figurii 3.1.	0,055	m
a_1	Distanța între prima osie montată și pivot	2	m
a_2	Distanța între a doua osie montată și pivot	0,04	m
a_3	Distanța între a treia osie montată și pivot	2,11	m
a'_1	Conform figurii 4.1.	1	m
a'_2	Conform figurii 4.1.	2,1	m

Notă	Denumirea	Valoarea	U/M
2	Distanța între pivoți	8,42	m
2b	Distanța transversală între arcurile elicoidale de la suspensia boghiului pe osii	2,70	m
R	Raza cercului de rulare a unei roți	0,55	m
2S	Distanța între cercurile de rulare a unei osii montate	1,5	m
μ	Conicitatea bandajului	$\frac{1}{20}$	-

Numărul mare de amplitudini, peste 8.400 pentru fiecare din cele nouă vibrații ale locomotivei și pentru fiecare din cele trei viteză de circulație, au fost înregistrate pe bandă magnetică și apoi printr-un program special au fost culese pentru reprezentare, din zece în zece miimi de secundă, adică un număr de peste 840 valori.

Cu aceste valori s-au reprezentat curbele de variație a vibrațiilor laterale ale locomotivei, prin aproximativ 160 de puncte fiecare curbă, fig. 5.10 - 5.18.

Din analiza diagramelor obținute rezultă următoarele concluzii:

- mișcările laterale ale locomotivei, sint o suprapunere de mai multe vibrații cu frecvențe apropiate,
- amplitudinile mișcărilor componente au ordinul de mărime comparabil la boghiu, iar la cutie există un mod de vibrație preponderent,

- în ce privește cutia locomotivei, influența vitezei de circulație asupra amplitudinii vibrațiilor este foarte mică, iar în ce privesc boghiurile, amplitudinile vibrațiilor de deplasare laterală cît și de șerpuire, cresc odată cu creșterea vitezei. De aici se desprinde concluzia că suspensia elastică protejează cutia locomotivei,

- amplitudinile vibrațiilor de șerpuire sunt mai mari decât ale vibrațiilor de legănare la cutie și invers la boghiuri, iar amplitudinile vibrațiilor de deplasare laterală sunt mai mari la boghiul din spate față de cele ale boghiului din față,

- judecînd după amplitudinile vibrațiilor obținute prin calcul, justețea alegerii modelului mecanic al locomotivei pentru studiul teoretic se confirmă prin faptul că ele se sitiază în limitele admise de construcția locomotivei.

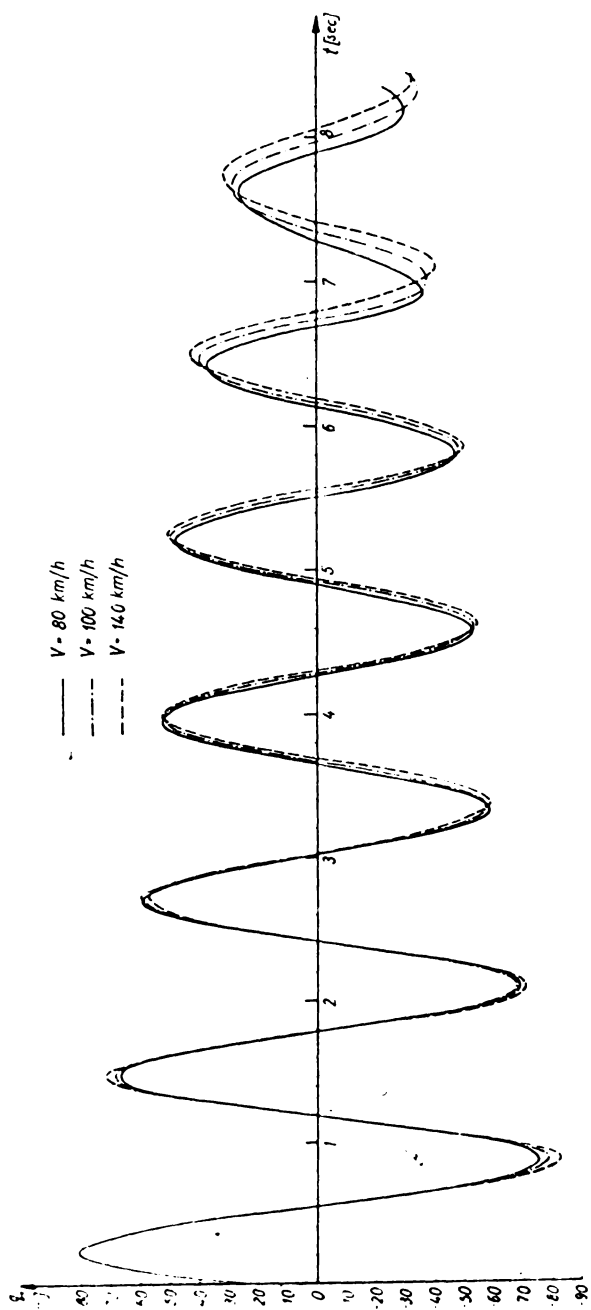


Fig. 5.10.

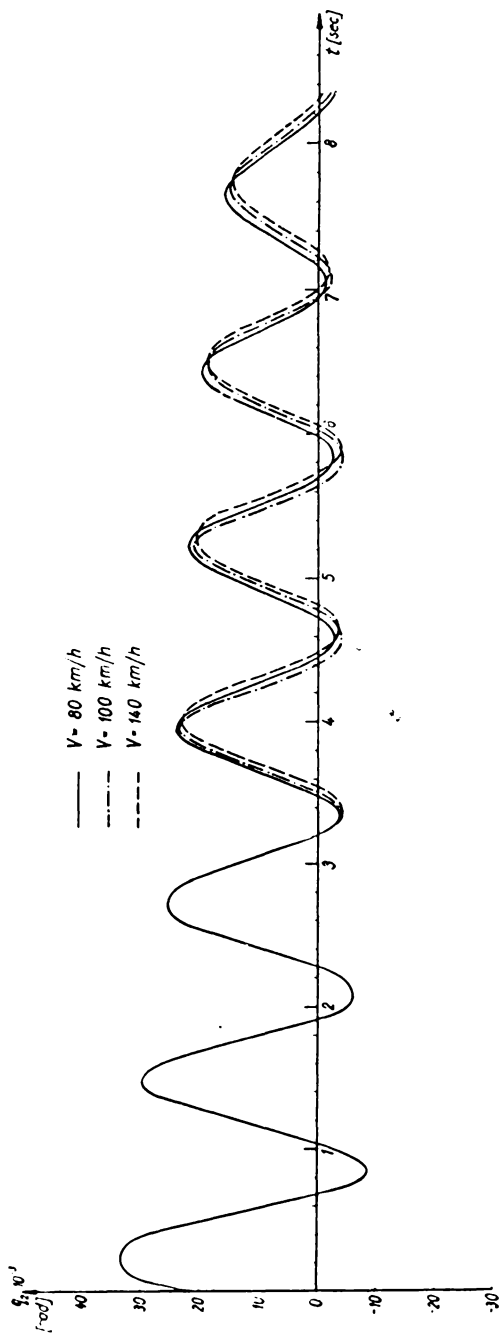


Fig. 511.

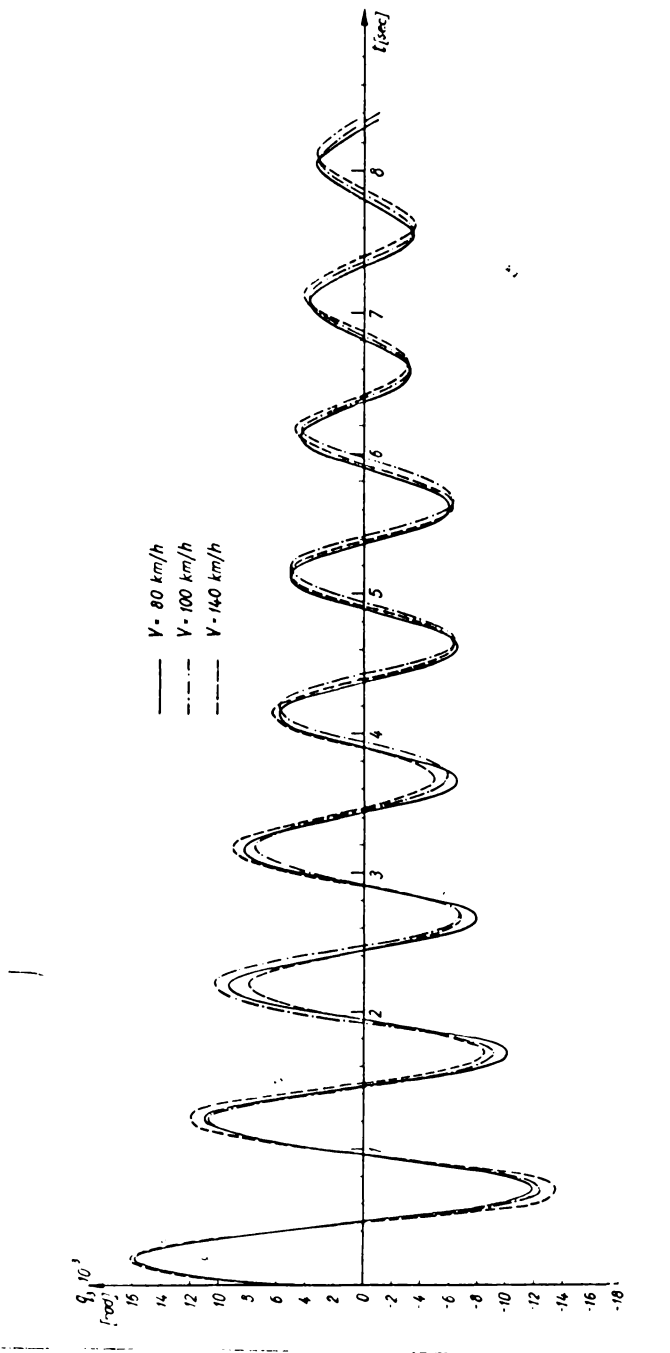


Fig. 5.12.

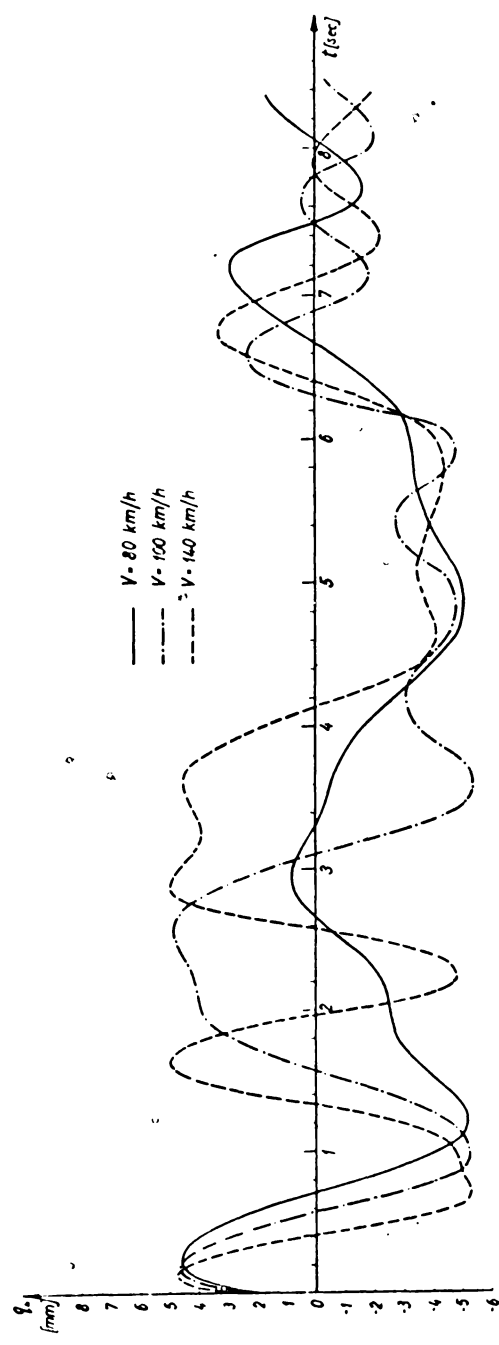


Fig. 5.13

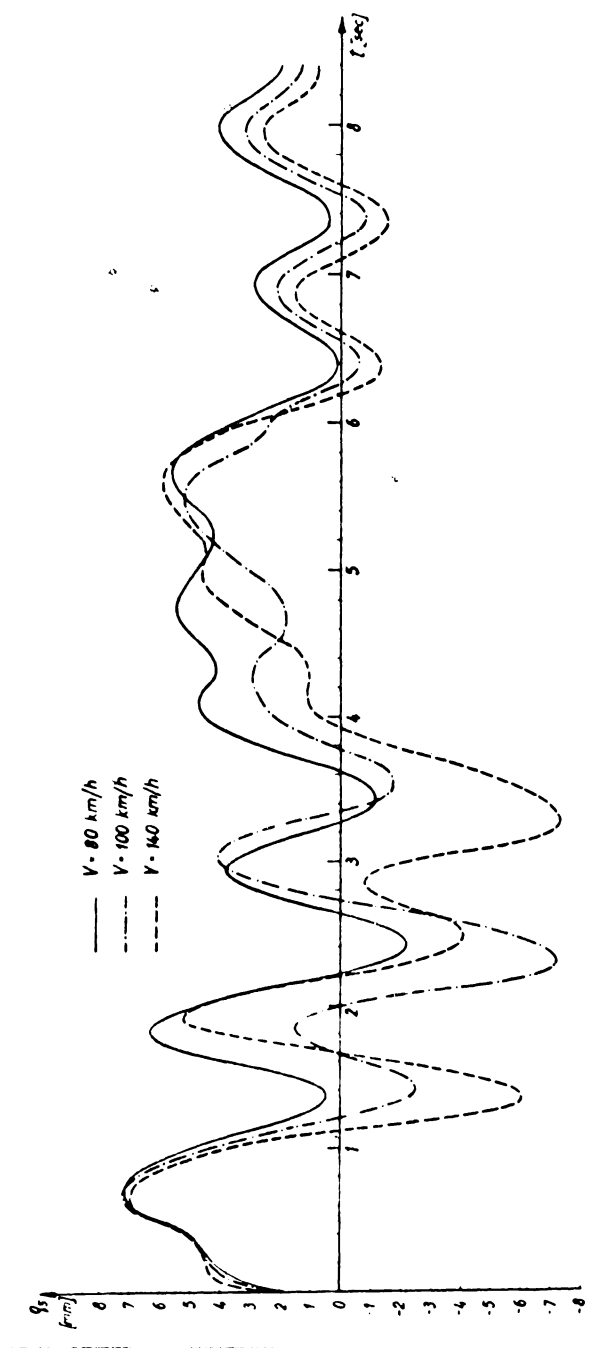


Fig. 5.14.

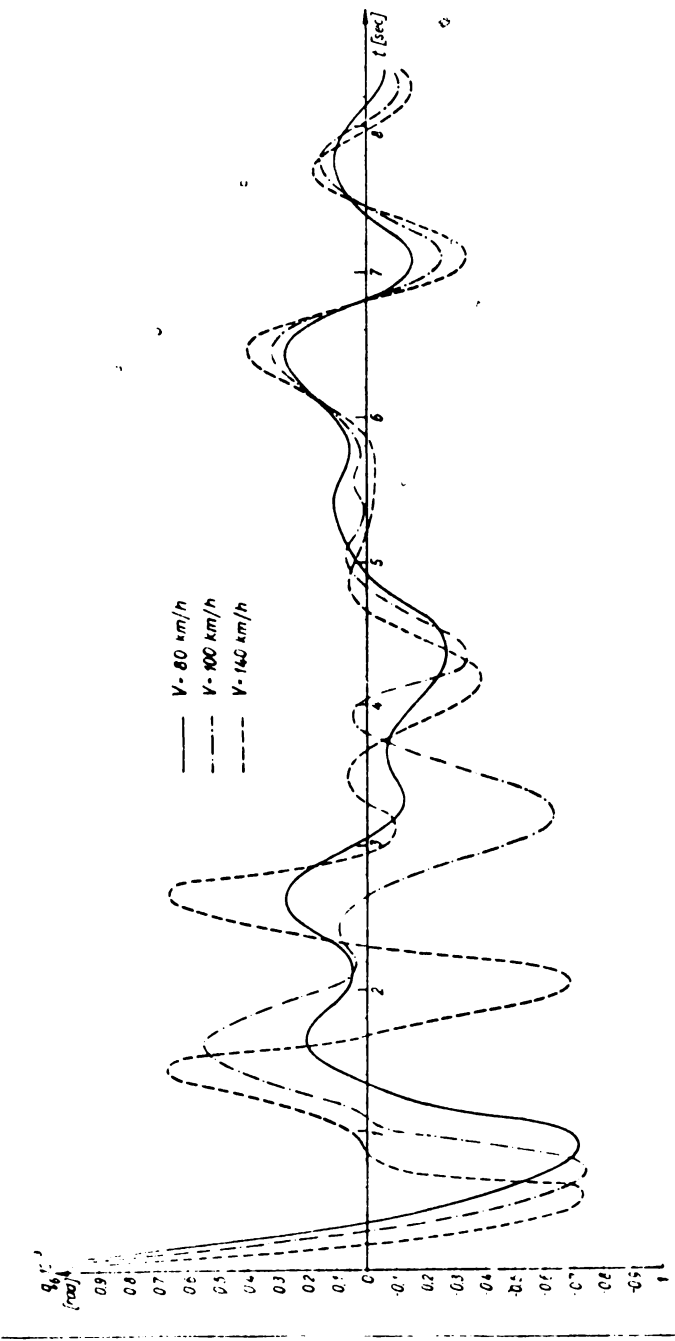


Fig. 5.15.

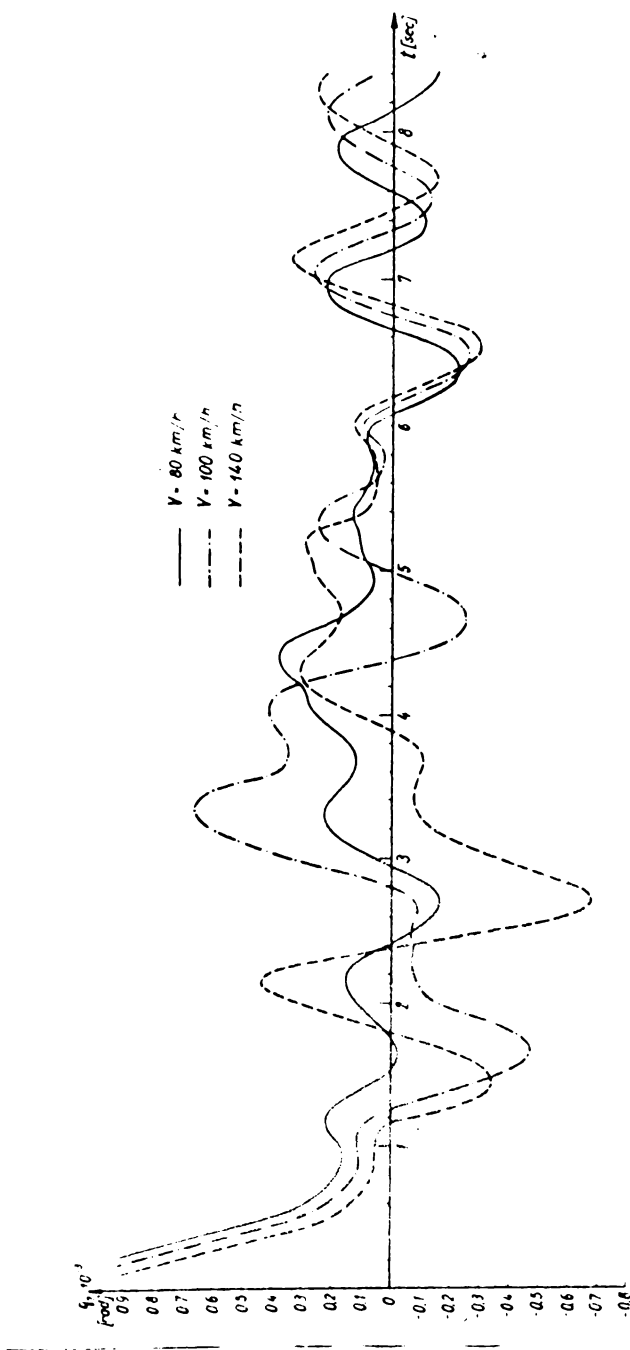


Fig. 5.16

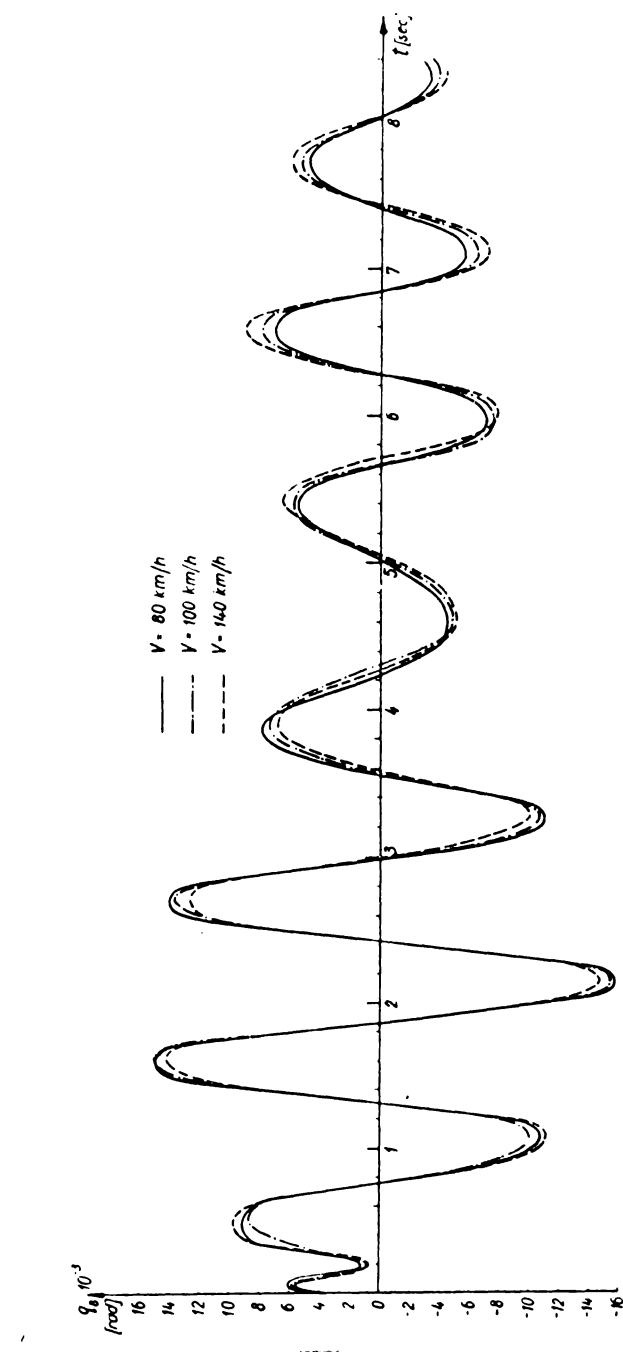


Fig. 5.17.

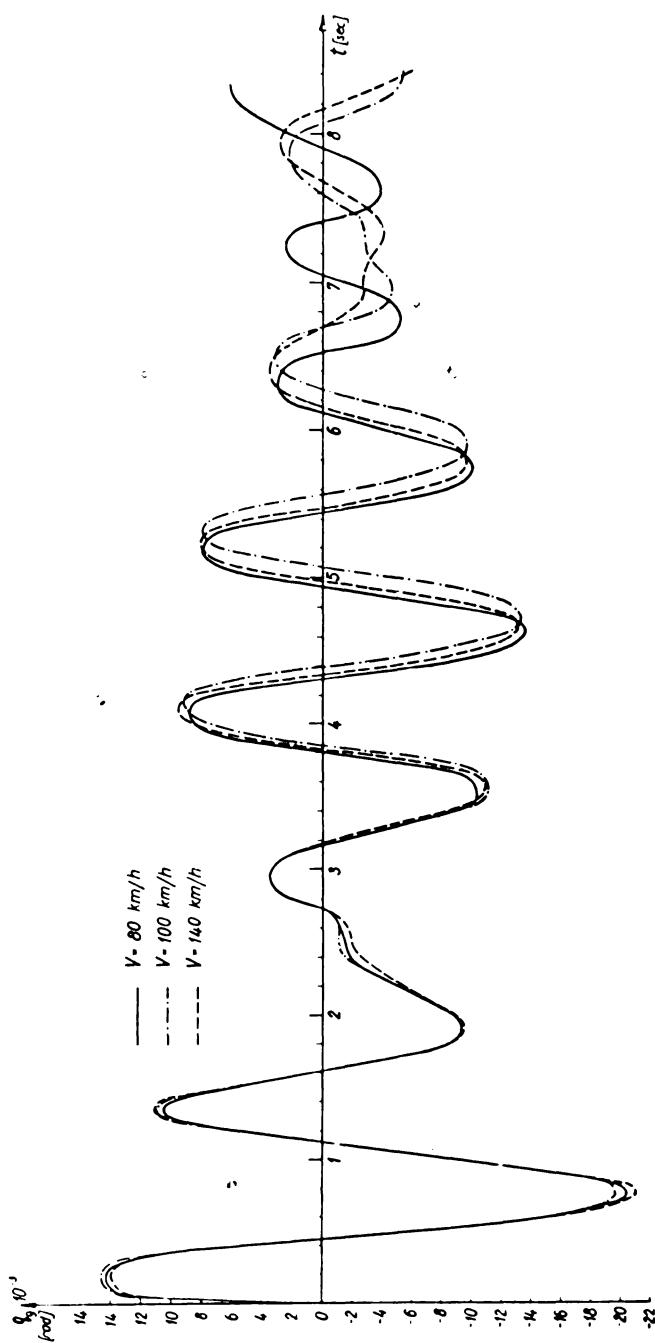


Fig. 5.18.

5.5. Determinarea forțelor de interacțiune dintre roată și șină, la mersul în aliniament al locomotivei

Controlul calității dinamice și perfecționarea materialului rulant proiectat, se face în prezent numai pe cale experimentală, lucru ce este legat de cheltuieli mari pentru fabricarea modelului experimental.

La proiectare este necesar însă, ca în studiul inițial de proiectare a unei locomotive noi, să se facă aprecieri asupra unor parametrii ai construcției, să se elucideze influența diversilor parametrii asupra calităților dinamice a locomotivei proiectate.

In practica construcției de locomotive, acțiunea laterală a locomotivei asupra căii de rulare, constituie una din principalele caracteristici a calității ei dinamice.

Datorită faptului că între buza bandajului și șină există un joc de $\sigma = 5$ mm și cum bandajele roților au o conicitate de $\mu = \frac{1}{20}$, locomotiva va avea un mers șerpuitor, atâcind cu buza bandajului, cînd un fir al căii, cînd altul. Forțele ce iau naștere la acest contact al buzei bandajului cu șina au fost stabilite în relațiile (3.24), care însumate cu forțele de alunecare elastică (3.22) constituie acțiunea laterală a locomotivei asupra căii de rulare.

Cum expresiile acestor forțe prezintă neliniaritate și depind de variabilele sistemului și de derivatele lor, valorile pentru trasarea diagramelor de variație în timp a forțelor, au fost calculate odată cu integarea sistemului de ecuații, printr-un program special anexat programului principal, pentru aceeași gamă de viteze.

Expressiile acestor forțe apar în sistemul de ecuații

(4.5o) notate cu $C^{[q_1]}$; $K_2^{[q_1]}$ și P de unde rezultă că

$$F_{\text{cond}} = C^{[q_1]} + K_2^{[q_1]} - P \quad (5.18)$$

Cea de a doua osie montată a fiecărui boghiu fiind prevăzută cu joc transversal, ceea ce îi permite o mobilitate transversală chiar după consumarea jocului σ , fără a încărca rama boghiului în direcție transversală, diagramele de variație a forțelor de interacțiune roată - șină, au fost calculate doar pentru prima și cea de a treia osie montată a fiecărui boghiu.

În fig. (5.19-5.22) sînt date diagramele de variație în timp a forțelor de interacțiune roată - șină (forță conducedătoare), în funcție de viteza de circulație a locomotivei, iar în figura (5.23) sînt date diagramele de variație a forțelor conducedătoare maxime a acestor osii montate, în funcție de viteza de circulație.

După cum reiese din diagrame, odată cu creșterea vitezei de circulație, forțele conducedătoare cresc, creșterea fiind mai mare la osiile montate ale celui de al doilea boghiu. Astfel se constată că la circulația cu viteze mari a locomotivei în aliniament, forțele conducedătoare ale primei osii montate nu sunt cele mai mari și de aceea aprecierea calității dinamice orizontale nu se poate face după aceste forțe.

Distribuția forțelor conducedătoare între perechile de osii montate, este funcție de poziția boghiurilor și a osiilor montate

față de sistemul de axe ales, de caracterul legăturilor dintre osii - boghiu, boghiu - cutie și de cel dintre boghiuri. De aceea pentru lămurirea influenței diferenților factori asupra distribuției forțelor conduceătoare între osiile montate, săt necesare studii speciale.

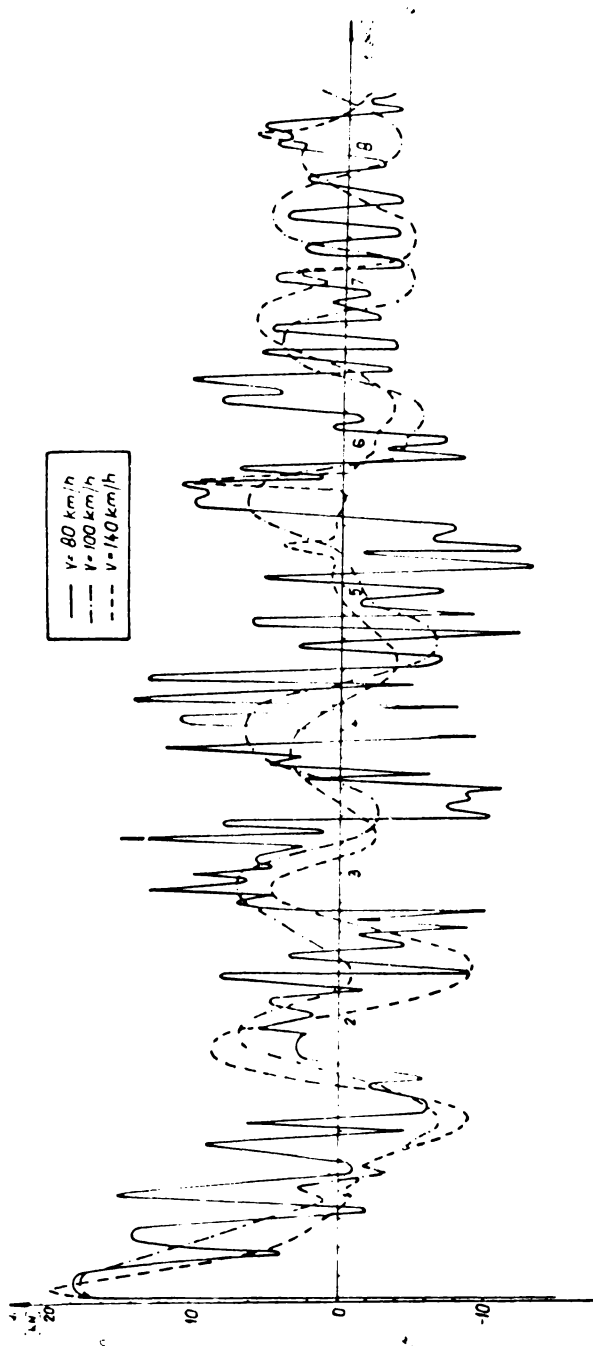


Fig. 5.19.

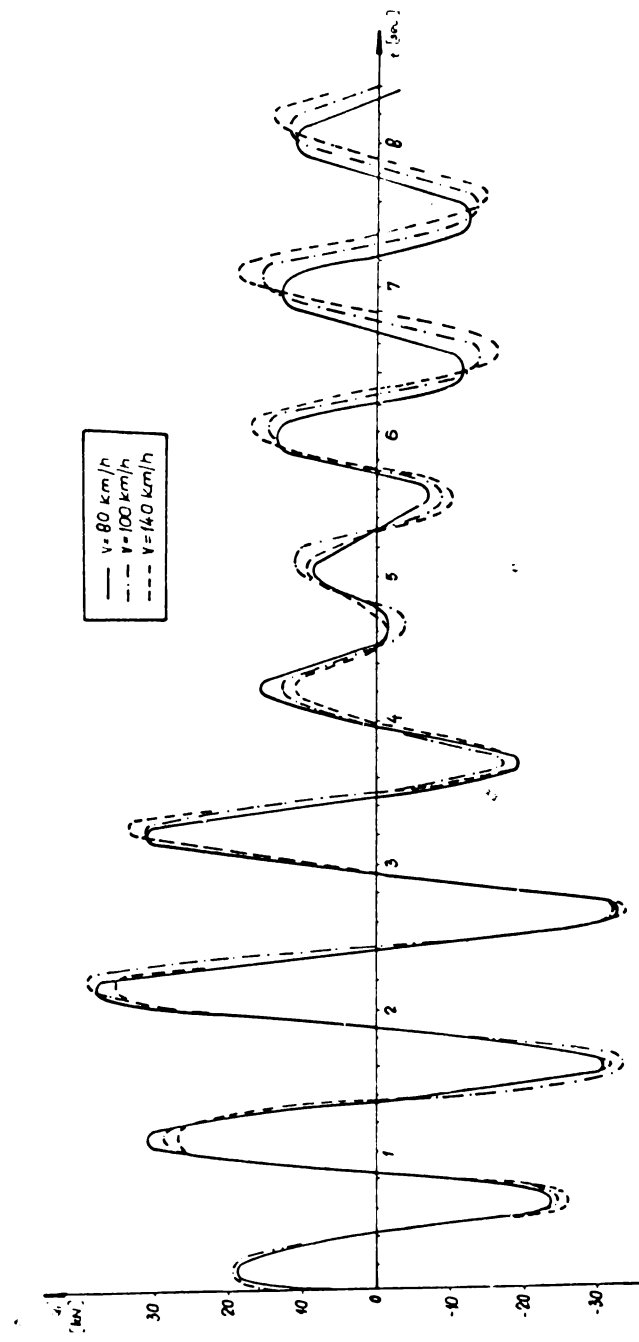


Fig. 5.20.

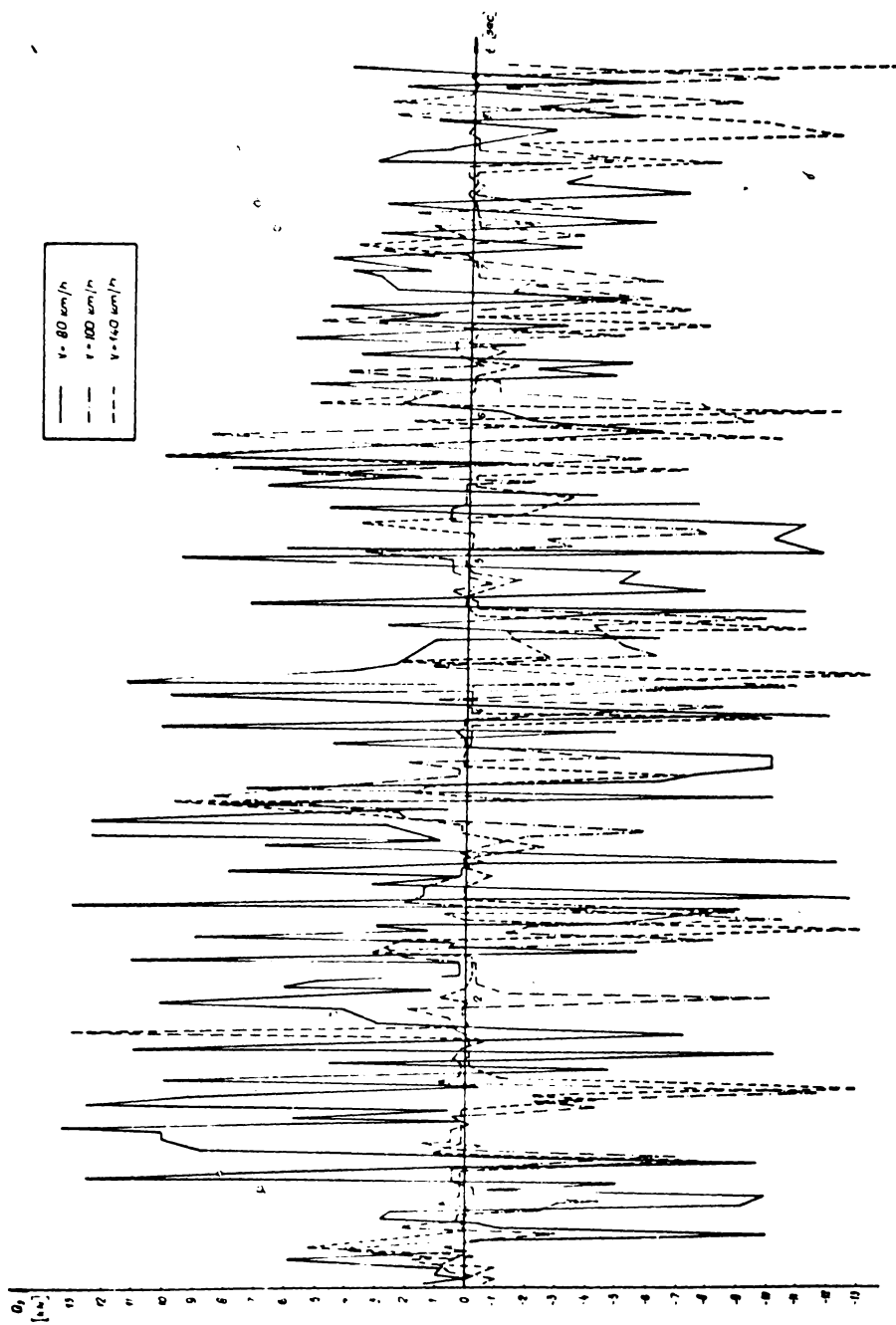


Fig. 5.21.

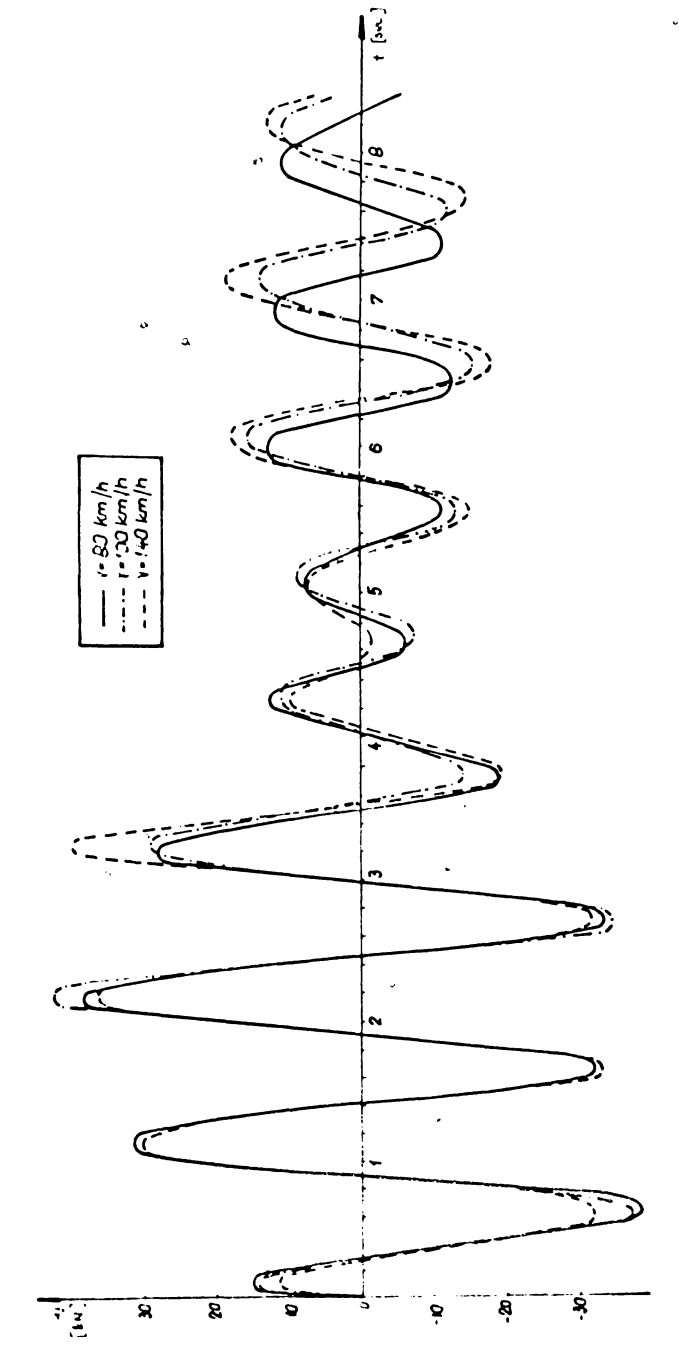


Fig. 5.22.

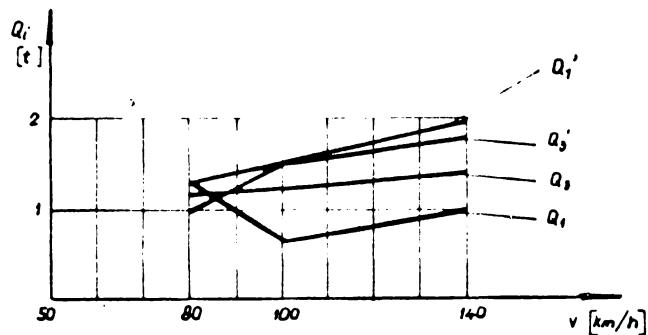


Fig. 5.23.

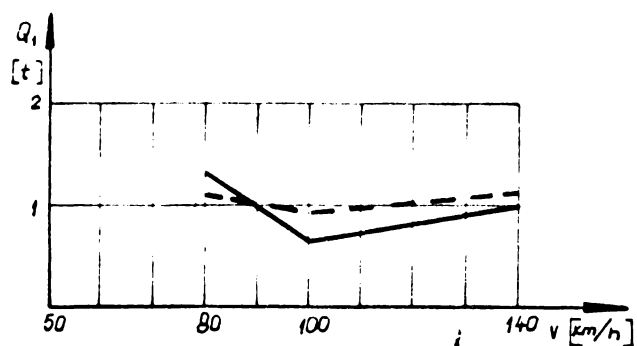


Fig. 5.24.

Rezultate obținute cu ajutorul calculatorului electric au fost comparate cu cele obținute pe cale experimentală de institute de cercetări din străinătate pentru locomotive asemănătoare cu cea studiată, [63] subsemnatul neavând posibilitatea a face asemenea experimentări care necesită o instalație specială de care nu dispunem.

In figura (5.24) este dată diagrama de variație a forței conducătoare de la prima osie montată în funcție de viteză obținută prin calcul (trasată cu linie plină) și diagrama de variație a acelorași forță, obținută pe cale experimentală (trasată cu linie întreruptă).

Din aceasta comparare rezultă că schema de calcul oglindește aproape corect particularitățile constructive ale locomotivei și ale căii de rulare.

Din analiza diagramelor reiese că cea de a treia osie montată a primului boghiu are un mers nelinigtit, forța conducătoare respectivă prezentind variații rapide și brusete. Același lucru se poate spune și despre prima osie a primului boghiu, dar numai la viteză de 80 km/h. Forțele conducătoare ce acționează asupra osiilor montate a celui de al doilea boghiu au, pentru toate cele trei vitezze, o variație aproape sinusoidală, fără variații aşa de bruse în timp.

Rezultatele obținute cu ajutorul modelului de calcul ales și a mașinii electronice de calcul utilizată, ne permit să tragem următoarele concluzii.

1. Din compararea rezultatelor obținute cu mașina electronică, cu datele experimentale din literatură de specialitate, pentru o locomotivă asemănătoare, rezultă că modelul de calcul ales oglindește aproape corect particularitățile constructive ale locomotivei și ale căii de rulare.

Pe această bază se poate recomanda metoda propusă pentru aprecierea dinamicii orizontale a locomotivei, la proiectare.

2. Frotelor conducătoare corespunzatoare osiilor montate a celui de al doilea boghiu, prezentând o variație mai mare funcție de viteză, fără de cele corespunzatoare primului boghiu, rezultă concluzia că la deplasarea locomotivei în aliniament, nu întotdeauna forța conducătoare de la prima osie montată a primului boghiu este cea mai mare. De aceea această forță nu poate fi determinantă la aprecierea dinamicii orizontale a locomotivei diesel - electrice 060 D.A.

C a p i t o l u l VI

VERIFICARI EXPERIMENTALE

Pentru a verifica dacă s-a ales bine modelul mecanic al locomotivei, s-au efectuat măsurători experimentale pe locomotiva diesel-electrică ogo D.A. nr. 876 la vitezele de 60, 80 și 100 km/h pe ruta Timișoara - Lugoj și înapoi. Limitarea vitezei la 100 km/h a fost impusă de rezistența liniei ferate.

Măsurătorile s-au efectuat cu locomotiva circulând liberă și în aliniament, condiții pentru care s-a făcut și studiul teoretic.

6.1. Schema bloc a instalației electronice de înregistrare a vibrațiilor laterale.

Pentru înregistrarea vibrațiilor laterale s-a folosit instalația electronică din fig(6.1.) având schema bloc din fig. (6.2.) utilizîndu-se traductorii de acceleratie:

T_{1x} - pentru înregistrarea deplasării laterale a primului boghiu în dreptul primei osii montate.

T_{2x} - pentru înregistrarea deplasării laterale a primului boghiu, în dreptul pivotului.

T_{1y} - pentru înregistrarea deplasării laterale a celui de al doilea boghiu, în dreptul ultimei osii montate.

T_{2y} - pentru înregistrarea deplasării laterale a celui de al doilea boghiu în dreptul pivotului.

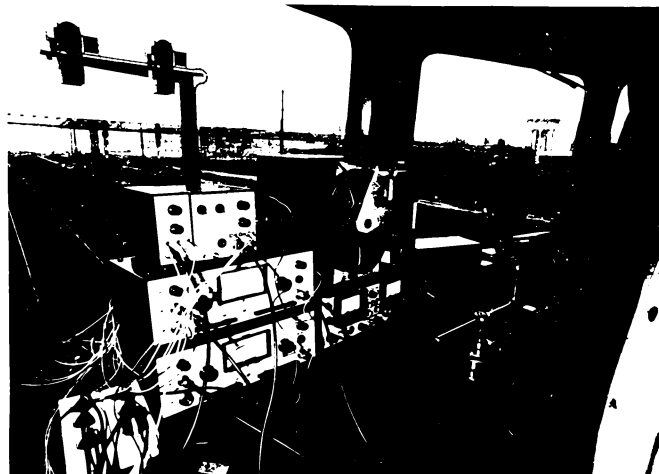


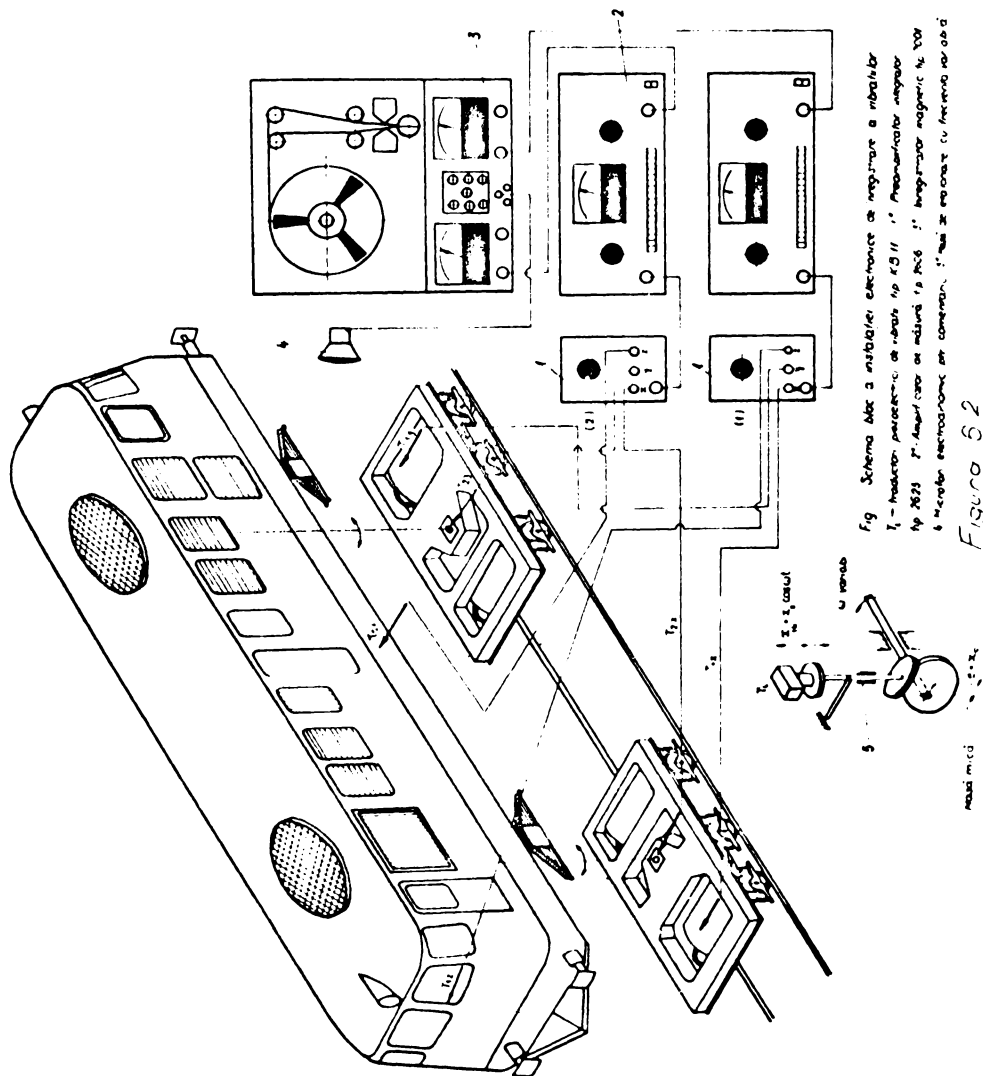
Fig.6.1.

T_{1z} - pentru înregistrarea deplasării laterale a cutiei locomotivei, montat în cabina mecanicului pe pupitrul de comandă.

T_{2z} -pentru înregistrarea deplasării laterale a cutiei locomotivei, montat în exterior la nivelul podelei și la mijlocul cutiei.

Se observă că pe fiecare subansamblu (boghiuri sau cutie) s-au fixat cîte doi traductori a căror semnale pot fi înregistrate simultan, acestea fiind necesare pentru obținerea vibrațiilor notate în calculul analitic cu (q_6, q_4) ; (q_7, q_5) și (q_2, q_1) .

Aceste grupuri de cîte doi traductori sunt cuplați la preamplificatoarele 1, ce integrează semnalele electrice proporționale cu acceleratia, în semnale electrice proporționale cu deplasarea. Aceste semnale sunt apoi amplificate în amplificatoarele 2, la nivelul cerut de intrarea înregistatorului magnetic,3. Comentariul legat de procesul de înregistrare se înregistrează pe banda magnetică prin intermediul microfonului 4.



INSTITUTUL POLITEHNIC
TEHNICĂ AEREA
BIBLIOTECA CENTRALĂ

6.2. Schema bloc a instalației electronice folosită la prelucrarea vibratiilor înregistrate pe bandă magnetică.

In figura (6.3.) este prezentată instalația electronică folosită și în figura 6.4. este arătată schema bloc folosită la prelucrarea semnalului $u(t) = Kx(t)$, ce a fost înregistrat pe banda magnetică.



Fig.6.3.

Datorită faptului că mișcarea vibratorie $x(t)$ este o vibrație neperiodică, avind un caracter aleatoriu, nu i se poate defini frecvența și amplitudinea. De aceea schema bloc de prelucrare a semnalului $u(t)$, s-a ales pentru prelucrarea lui statistică.

Astfel semnalul $u(t)$ de la înregistratorul magnetic 2, s-a trecut prin setul de filtre combinate tip K.F.103(2) compus din filtre trece jos și trece sus care se pot combina în filtre trece bandă, având lățimea de bandă Δf_1 și frecvența medie f_{im} . La trecerea semnalului $u(t)$ prin filtrul 2,

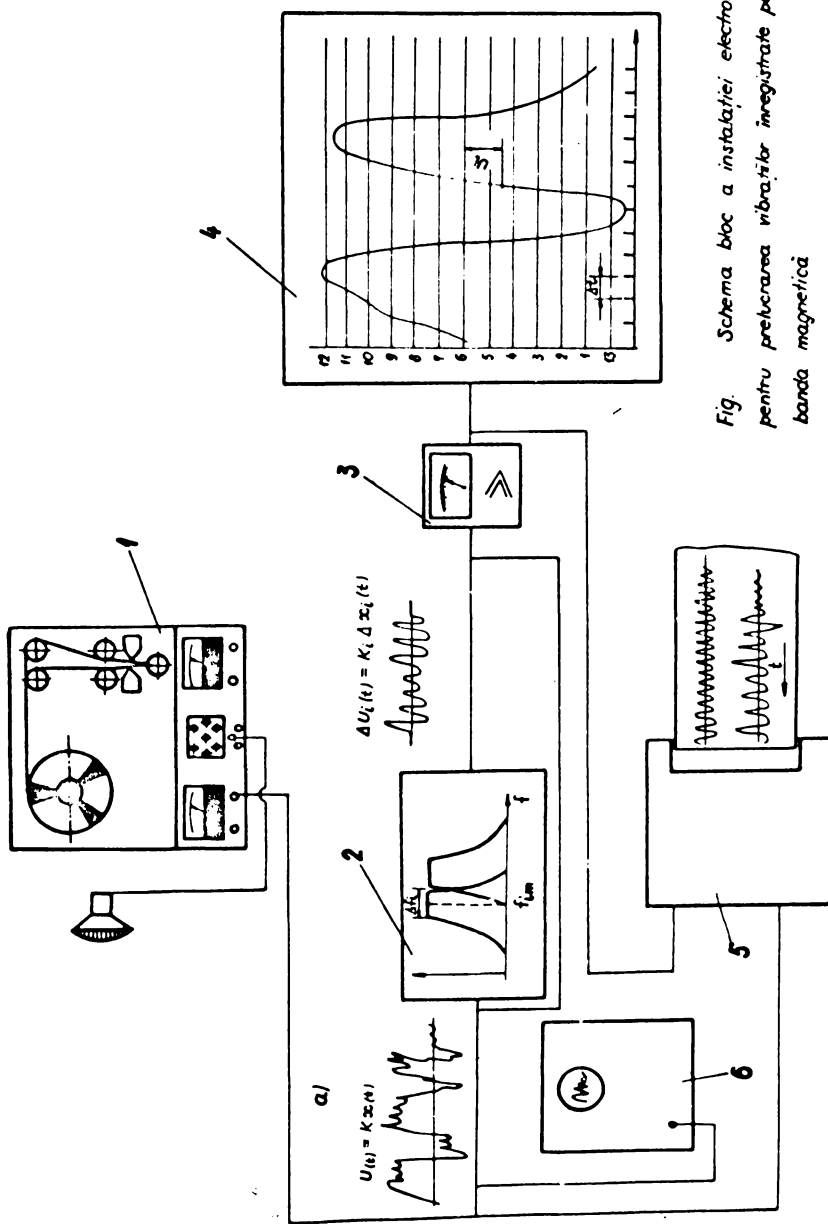


Fig. Schema bloc a instalației electronice
pentru prelucrarea vibrațiilor înregistrate pe
bandă magnetică

1-Inegrator în coordinate tip 7001 ; 2-Filtru
combinat tip KF 103 ; 3-Voltmetru electronic tip
2425 ; 4-Cazor statistic tip KLA2 ; 5-Oscilograf cu
bucătă ; 6-Osciloscop de control

Fig. 5

acesta va fi filtrat și din forma complexă a semnalului $u_i(t)$ va trece numai semnalul de bandă îngustă $\Delta u_i(t) = K \Delta x_i(t)$.

In continuare semnalul $\Delta u_i(t)$ încadrat într-o bandă de frecvență este trecut prin intermediul voltmetrului electronic 3, de tip 2425, la clasa statistic 4, de tip K.L.A.2, care are rolul de a clasa pe nivale de amplitudini semnalul $\Delta u_i(t)$ pentru valori instantanee sau extreme.

Pentru compararea mișcărilor vibratorii obținute prin calcul, cu cele experimentale, semnalul $u_i(t)$ atât filtrat cît și nefiltrat s-a înregistrat pe oscilograful cu buclă tip.

8 LS - 1.

Deoarece banda magnetică prezintă anumite întreruperi de semnal cauzate de schimbarea scărilor la aparatele de măsură, acestea pot provoca efecte de soc de bandă pe filtru, introducind erori suplimentare.

Pentru eliminarea acestor șocuri declansarea înregistrărilor s-a făcut prin urmărirea permanentă a semnalului $u_i(t)$ pe osciloscopul 6 de control.

6.3. Caracteristicile aparatelor folosite.

La înregistrare.

- Traductor de acceleratie tip KB 11 fabricat de firma Messelektronik din Dresden - R.D.G., având sensibilitatea $\approx 9 \left[\frac{\text{m.v}}{\text{m.sec}^{-2}} \right]$ având domeniul de frecvențe limitat jos de preamplificatorul integrator folosit și limita superioară 2000 Hz.

- Preamplificator integrator tip 2625 fabricat de firma Brüel și Kjaer din Danemarca, pentru frecvențe joase având domeniul folosit de frecvențe joase, pentru deplasări cuprinse între 1 - 30 Hz.

- Amplificator tip 2606 fabricat de firma Brüel și Kjaer din Danemarca, având domeniul de frecvență cuprins între

2 - 20.000 Hz, alimentat cu curent continuu sau alternativ.

- Inregistrator magnetic tip 7001 fabricat de firma Brüel și Kjaer din Danemarca, având domeniul de frecvență cuprins între 0 - 20 KHz, nivelul de intrare 1,4 v, două canale de înregistrare simultană și un canal pentru comentariu.

- Masă vibrantă de etalonare, construită în cadrul laboratorului de vibrații al catedrei de mecanică și rezistență materialelor din I.P.T., având amplitudinea $x_{OE} = 2,63$ mm și frecvență variabilă continuu în domeniul 0,5 - 12 Hz.

La prelucrarea vibrațiilor.

- Filtru combinat tip K.F.lo3 fabricat de firma Messelektronik din Dresden R.D.G.

S-au folosit din acest filtru combinat următoarele două filtre care s-au combinat pentru realizarea a 8 benzi de trecere.

Filtru trece sus Filtru trece jos Banda de trecere

S.M.22 [Hz]	S.M.25 [Hz]	[Hz]
0,5	0,71	0,5 - 0,71
0,71	1,0	0,71 - 1,0
1,0	1,4	1,0 - 1,4
1,4	2,0	1,4 - 2,0
2,0	2,8	2,0 - 2,8
2,8	4,0	2,8 - 4,0
4,0	5,6	4,0 - 5,6
5,6	8,0	5,6 - 8,0

Raportul dintre mărimea semnalului de intrare și a semnalului de ieșire este de 1 : 1.

- Voltmetru electronic tip 2425 fabricat de firma Brüel și Kjaer din Danemarca, avind domeniul de frecvențe

cuprins între 0,5 - 500 KHz, sensibilitatea $100 \mu V$ și nivelul de ieșire pentru deviația totală a scării la intrare egal cu 1 v.

- Aparat pentru clasare tip K.L.A.2 fabricat de firma Messelektronik din Dresda-R.D.G. cu 11 clase de selecție și 2 clase marginale reglabile.

Modurile de funcționare:

1 - Multiplicitate de depășire de clasă în direcția valorilor negative.

2 - Multiplicitatea valorilor momentane.

3 - Multiplicitatea de sumă absolută.

4 - Multiplicitate de valori extreme.

- Oscilograf cu buclă tip 8 LS-1 fabricat de firma Kombinat V.E.B. Messgeräte Werk Zwönitz, având domeniul de înregistrare la frecvențe cuprinse între 0 - 10 KHz, un număr de 8 canale, înregistrarea făcindu-se pe hîrtie cu lățimea de 120 mm, sensibilă la raze ultraviolete.

6.4. Calibrarea aparatelor.

Decoarece semnalul electric proporțional cu mișcarea vibratorie a fost trecut printr-o serie de aparițe de amplificare, s-a ținut seama de aceasta în calculul constantei de scară K.

Pentru stabilirea lui K. s-a înregistrat vibrații armonice de amplitudine cunoscută $x_{0E} = 2,63$ mm și frecvență variabilă, cu ajutorul mesei de etalonare 5. fig.(6.2.)

Dacă se notează cu:

A_E^I - domeniul amplificatorului 2 fig(6.2) în [mv]
la înregistrarea pentru etalon.

A^I - domeniul amplificatorului 2 fig(6.2) în [mv]
în timpul înregistrărilor pentru $x_1(t)$

A_E^R - domeniul voltmetrului electronic 3 fig(6.4.) în [mv] la redare pentru etalon.

A^R - domeniul voltmetrului electronic 3 fig(6.4.) în [mv] la redare pentru $x_i(t)$.

\hat{I}_E - indicația de vîrf a voltmetrului electronic 3 fig(6.4) în [v] pentru etalon,

atunci constanta K se calculează cu relația:

$$K = \frac{\hat{I}}{A_E^I} \cdot \frac{A^R}{A_E^R} \cdot \frac{x_{0E}}{\hat{I}_E} \quad \left[\frac{\text{mm}}{\text{v}} \right] \quad (6.1.)$$

Tensiunea de ieșire la deviația maximă de vîrf a acului voltmetrului electronic 3 fig.6.4., este de 1 v, pentru care s-a reglat domeniul clasorului statistic 4. fig(6.4.)

Deoarece la măsurători s-au folosit cabluri de lungimi mari, între traductori și aparatelor de măsură, care atenuiază semnalul traductorilor, s-a făcut etalonarea acestora cu ajutorul unei vibrante de etalonare 5 fig(6.2) Tot cu această masă vibrantă s-a făcut și etalonarea traductorilor, în domeniul frecvențelor joase ale locomotivei.

In urma înregistrărilor efectuate s-a constatat că banda de frecvență a vibrațiilor laterale ale locomotivei studiate, este cu limita inferioară la aproximativ 0,5 Hz. Cum caracteristica de frecvență a preamplificatorului integrator tip 2625 este lineară de la 1 Hz, iar a amplificatorului tip 2606 este lineară de la 2 Hz, este necesară introducerea unei corecții de frecvență în calculul constantei de calibrare. Această constantă s-a determinat experimental prin fixarea traductorului pe masa vibrantă de etalonare, înregistrând vibrațiile de etalonare începînd de la frecvența de 0,5 Hz la 2 Hz.

La redare, se citește la voltmetrul electronic 3 fig.6.4., indicația I_f care pentru frecvențe mai mari decât 2 Hz rămîne constantă I_c . În acest caz filtrul 2 fig.6.4. funcționează în domeniul, filtru trece sus cu frecvență de tăiere de 2 Hz. Pentru a vedea atenuarea pe fiecare domeniu de frecvență a filtrelor frece bandă sub 2 Hz, se aduce frecvența mesei vibrante de etalonare în domeniul filtrului și se citește pe voltmetrul electronic valoarea indicației I_f .

Factorul de atenuare pentru banda de frecvență aleasă va fi:

$$f_K = \frac{I_f}{I_c} < 1 \quad (6.2)$$

In figura 6.5 s-a trasat curba de variație a lui f_K funcție de frecvență.

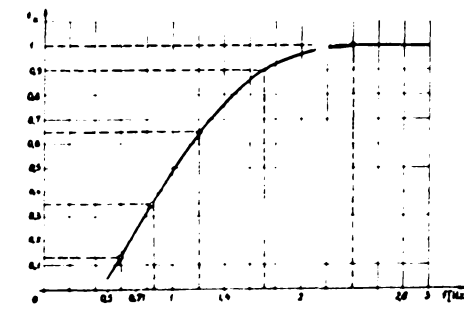


Fig.6.5.

In acest fel constanta de calibrare va fi:

$$K_1 = \frac{K}{f_{IK}} \quad \left[\frac{\text{mm}}{\text{v}} \right] \quad (6.3)$$

6.5. Evaluarea rezultatelor experimentale.

6.5.1. Determinarea valorii mediei pătratice \tilde{x}_0^2 și a densității spectrale de putere $w(\omega)$.

Starea energetică a unui sistem vibrant este caracterizată prin valoarea mediei pătratice definită prin relația:

$$\tilde{x}^2 = \lim_{T \rightarrow \infty} \frac{1}{T} \int_0^T x^2(t) dt. \quad (6.4)$$

unde T este timpul de integrare.

In cazul functiilor x (t) periodice, T coincide cu perioada si \tilde{x}^2 poate fi citita cu ajutorul unui instrument obisnuit. Daca functia nu este periodică, pentru a putea fi caracterizata starea energetică a sistemului vibrant citirea directă a lui \tilde{x}^2 nu este posibilă. In acest caz este necesar să se facă integrarea funcției pe un interval lung de timp ($T \rightarrow \infty$).

In cazul în care funcția x (t) este trecută printr-un filtru trece jos, avind banda de pulsatie $\Delta\omega_i = 2\pi\Delta f_i$, valoarea medieei pătratice pe acest filtru va fi:

$$\Delta \tilde{x}_i^2 = \frac{1}{T} \int_0^T \Delta x_i^2(t) dt \quad (6.5)$$

si densitatea spectrală de putere

$$w(\omega) = \lim_{\Delta\omega \rightarrow 0} \frac{\Delta \tilde{x}_i^2}{\Delta\omega} = \frac{d\tilde{x}_i^2}{d\omega} \quad (6.6)$$

Folosind schema bloc a instalației electronice din fig 6.4. se poate determina valoarea medieei pătratice pentru un timp nelimitat T, prin clasarea nivelelor de amplitudini cu ajutorul clasorului 4.

In figura (6.6) se arată forma de clasare, multiplicitatea valorilor momentane, obținută cu ajutorul aparatului de clasare tip K.L.A.2.

Aparatul este reglat în 11 domenii de clasă, avind media de clasă u_{jm} [v] și dispune de un generator de tact care dă impulsuri electrice la intervalul t.

Dacă semnalul u (t) se găsește la momentul t_i corespunzător impulsului n_i , în clasa lo, la contorul lo al aparatului va apărea un impuls, iar în momentul t_{i+1} va apărea un

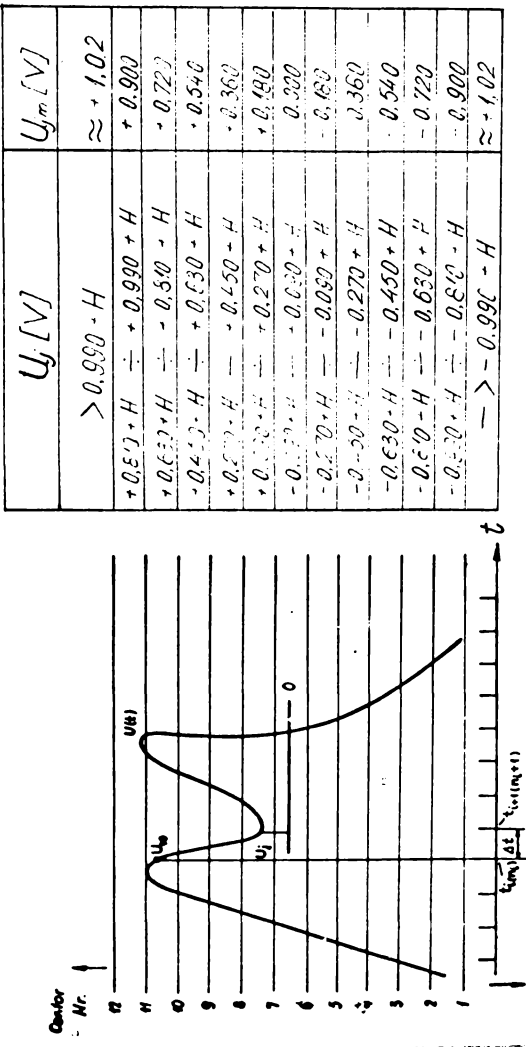


Figura 6.6

impuls în clasa 7. Dacă frecvența generatorului de tact este suficient de mare, cu ajutorul contoarelor 1 - 13 se poate determina în intervalul de timp T numărul de impulsuri în fiecare clasă.

In acest caz, expresia mediei pătratice \tilde{x}^2 o putem scrie cu ajutorul unei sume

$$\tilde{x}^2 = \frac{1}{T} \sum_{i=1}^N x_i^2 \Delta t_i \quad (6.7)$$

Lăsând Δt_i constant egal cu pasul de timp al generatorului de tact, avem:

$$\tilde{x}^2 = \frac{\Delta t}{T} \sum_{i=1}^N x_i^2 \quad (6.8)$$

unde $T = N \Delta t$ și

$$\tilde{x}^2 = \frac{1}{N} \sum_{i=1}^N x_i^2 \quad (6.9)$$

Decoarece nivelul de ± 1 volt al aparatului de clasare, este împărțit în 13 clase cu valorile medii u_{jm} , putem approxima:

$$\sum_{i=1}^N \Delta x_i^2 = K_1^2 \sum_{j=1}^{13} n_j^i u_{jm}^2 \quad (6.10)$$

unde n_j este numărul de impulsuri citite pe contorul j. Astfel rezultă:

$$\Delta \tilde{x}^2 = \frac{K_1^2}{N} \sum_{j=1}^{13} n_j^i u_{jm}^2 \quad \text{și} \quad N = \sum_{j=1}^{13} n_j^i \quad (6.11)$$

Deci cu ajutorul acestor relații putem determina valoarea mediei pătratice pe orice interval dorim.

Dacă semnalul u (t) este trecut prin filtrul de bandă $\Delta \omega_i$, vom avea:

$$\Delta \tilde{x}_i^2 = K_1^2 \frac{\sum_{j=1}^{13} n_j^i u_{jm}^2}{\sum_{j=1}^{13} n_j^i} \quad [\text{mm}^2] \quad (6.12)$$

iar densitatea spectrală de putere pe filtrul trece bandă va fi:

$$W(\omega) \approx \frac{\Delta \tilde{x}_1^2}{\Delta \omega} \quad (6.13)$$

Pentru calculul valorii mediei pătratice în banda de frecvență a semnalului, vom avea:

$$\tilde{x}^2 = \sum_{i=1}^S \Delta \tilde{x}_i^2 \quad (6.14)$$

unde S este numărul de filtre trece bandă folosit.

In cazul unui semnal sinusoidal cu amplitudinea de vîrf \hat{x}_o , valoarea medie calculată cu formula (6.4.) va fi:

$$\tilde{x}_o^2 = \frac{1}{2} \hat{x}_o^2 \quad \text{și} \quad \hat{x}_o = \sqrt{2 \tilde{x}_o^2} \quad (6.15)$$

In cazul în care rezultatele teoretice obținute la calculator sunt date sub forma unor diagrame fig. (5.10. - 5.18) se poate defini o amplitudine de vîrf echivalentă x_{oE} c pentru banda de frecvență dată Δf_1

$$\hat{x}_{oE} = \sqrt{2 \Delta \tilde{x}_1^2} \quad (6.16)$$

iar pentru întreaga bandă de frecvență dată:

$$\hat{x}_{oEc} = \sqrt{2 \sum_{i=1}^S \Delta \tilde{x}_i^2} \quad (6.17)$$

Această valoare trasată pe diagrama mișcării ne va da rapid o imagine comparativă între valorile calculate teoretic și cele experimentale.

Dacă legile de mișcare sunt date sub formă tabelară la intervale de timp constant $\Delta t = ct.$ valoarea medie pătratică calculată teoretic va avea forma:

$$\tilde{x}^2 = \frac{\Delta t}{T} \sum_{i=1}^n x_i^2 \quad (6.18)$$

unde x_i este valoarea instantanea a mișcării vibratorii la

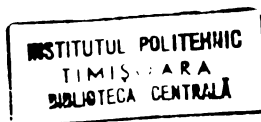
timpul t_i din intervalul $0 \rightarrow T$.

Inregistrările experimentale de pe banda magnetică au fost prelucrate cu ajutorul schemei bloc din fig.(6.4) și sintetizate tabelar în tabelele (1 - 24).

Pentru caracterizarea stării energetice a locomotivei din punct de vedere al vibrațiilor laterale, s-a extras din aceste tabele, densitatea spectrală de putere $w(\omega)$ [mm^2/sec] calculată cu formula (6.13). Aceste mărimi au fost apoi reprezentate în fig.(6.7 - 6.10) în funcție de frecvența medie a filtrelor de bandă folosite și pentru cele trei viteză la care s-au făcut înregistrările .

Pe fiecare figură este o schită a subansamblului (boghiu, cutie) în care este figurat traductorul în punctul în care s-au făcut măsurările experimentale.

Pentru a vedea comportarea din punct de vedere al vibrațiilor atât a boghiului din față comparativ cu cel din spate, cît și a părții din față a cutiei, față de partea din spate, în fiecare figură sînt trasate curbele densității spectrale de putere pentru perechile de traductori : (1x, 1y); (2x, 2y) și pentru 1z și 2z la dus și la întors.



Tabelul 1. Vibratiiile măsurate cu traductorul Ix la v = 60 km/h.

η_j^2	η_j'	u_j^2 [v ²]	u_j^2 [v ²]	$n_j^2 u_j^2$ [v ⁴]	$n_j' u_j^2$ [v ⁴]	R [v]	Δf [Hz]
0,5-0,71-0,71-	1-1,4	1,4-2	2-2,1	2,8-4	4-5,6	5,6-8	
1. 0,810	0	194 213 157	94 172 76	8 77 6	78 62 53	62 42	
2. 0,518	0	327 236	102 54	109 27	166 55	98 84	A I = 10mv.
3. 0,291	265	166 145	145 52	27	55	49	A I = 3 mv.
4. 0,129	776 92	547 64	164 74	166 47	174 48	190 50	A E = 1 v
5. 0,022	1058	565 541	16 856	360 24	470 56	381 42	544 62
6. 0	1190	847	696 1421	2073	28 0	1193 0	I = 0,8 v
7. 0,032	1096	606	0 0	0	0	1597	$x_{0E} = 2,63$
8. 0,129	597	545	476 571	936 24	816 29	1065 35	$x^2 = 8,66$
9. 0,291	213	372	507 107	187 54	130 37	445 129	$\hat{x}_{0Ec} = 4,16$ mm
10. 0,518	71	423	316 161	124 62	20 19	203 203	46 46
11. 0,610	0	186	156 215	26 7	75 5	15 59	23 12
		0	159	26 30	7 5	15 12	2 5
						4	4

12.	1,04	0	239	497	143	148	52	54	0	205	213	125	120	24	480
13.	1,04	0	239	497	139	144	31	0	0	154	190	192	378		
$\sum n'_j$	5565	5104	5266	5074	5170	5986	5169	5292							
$\sum n'_j u'_j$	400	1596	1354	599	284	1032	722	226							
$k \left[\frac{N}{m^2} \right]$	1,09	1,09	1,09	1,09	1,09	0,36	0,36	0,36							
f_A	0,13	0,35	0,65	0,9	1	1	1	1							
$\Delta \hat{x}' [mm^2]$	4,9	2,7	0,72	0,16	0,059	0,022	0,018	0,02							
$\Delta \hat{x}_{\text{cor}} [mm]$	3,13	2,32	1,2	0,50	0,34	0,21	0,059	0,2							
$W(\omega, [\text{nm}^2 \text{ sec}])$	3,71	1,48	0,28	0,041	0,013	0,0028	0,001	0,0012							

Tabloul 2 Vibratiile măsurate cu trădutorul IX la $\nu = 80 \text{ nm/h}$.

n	u_j^2	r'_j	$n'_j u'_j$	$\Delta F [\text{Hz}]$
1.	$0,5 - 0,71$	$0,71 - 1$	$1 - 1,4$	$1,4 - 2$
2.	$0,810$	35	107	81
3.	$0,291$	161	28	86
4.	$0,129$	29	46	157

n	u_j^2	r'_j	$n'_j u'_j$	$\Delta F [\text{Hz}]$
1.	$0,518$	91	144	157
2.	$0,46$	46	23	80
3.	$0,291$	161	207	261
4.	$0,129$	29	46	60

5.	0,032	406	12	254	7	158	4	253	7	434	7	238	7	421	12	436	12
6.	0	935	0	225	0	182	0	295	0	812	0	338	0	711	0	890	0
7.	0,032	497	14	246	2	229	6	415	12	404	12	214	6	396	11	418	A _E ^R =1 v
8.	0,129	88	10	111	13	254	20	346	41	217	26	150	18	101	12	153	I=0,8 v mm
9.	0,291	92	26	118	14	174	50	248	71	125	36	157	28	45	8	47	x _{OE} =2,68 mm
10.	0,518	176	89	146	155	79	153	78	114	58	105	17	53	17	4	8	$\tilde{x}^2=16,01$ mm ²
11.	0,810	67	24	115	76	61	16	17	12	37	37	22	27	0	0	2	
12.	1,04	0	310	93	372	71	382	71	66	78	29	21	0	0	0	$\hat{x}_{OLC}=5,65$ mm	
13.	1,04	59	61	328	401	322	413	111	111	46	63	24	25	0	0	0	
$\Sigma \eta'_j$		2857	2407	2627	2715	2753	2715	2753	272	68	81	25	21	0	0	0	
$\sum \eta'_j u'_j$		420	1093	1252	655	437	442	1848	1848	47	63	24	25	0	0	0	
$k \left[\frac{mm}{N} \right]$		1,09	1,09	1,09	1,09	1,09	1,09	1,09	1,09	1,09	1,09	1,09	1,09	1,09	1,09	1,09	97
f_k		0,13	0,35	0,65	0,9	0,9	0,9	0,9	0,9	0,9	0,9	0,9	0,9	0,9	0,9	0,9	1
$\Delta \tilde{x}_k^2 [mm^2]$		9,87	4,36	1,21	0,35	0,18	0,03	0,03	0,03	0,03	0,03	0,03	0,03	0,03	0,03	0,03	0,36
$\Delta \hat{x}_{OEC}^2 [mm^2]$		4,43	2,95	1,56	0,84	0,61	0,27	0,27	0,27	0,27	0,27	0,27	0,27	0,27	0,27	0,27	0,36
$W(\omega) [mm^2 sec]$		7,46	2,38	0,47	0,092	0,035	0,035	0,035	0,035	0,035	0,035	0,035	0,035	0,035	0,035	0,035	0,035

Tabelul 3. Vibratiiile măsurate cu trădutorul I_x la $v = 100 \text{ km/h}$.

Nr. criteriu	u_j^2 [v²]	η_j^i	$\eta_j^i y_j^i [V]$					
			0,3	0,3	0,3	0,3	0,1	$A^R [V]$
1. 0,810	85	235	197	272	14	27	90	$\Delta f [\text{Hz}]$
2. 0,518	140	248	126	202	250	75	19	- 141
3. 0,291	430	528	632	519	385	129	363	$A^I = 3 \text{ mV}$
4. 0,129	1144	892	709	852	639	576	767	$A^I = 10 \text{ mV}$
5. 0,032	1386	1019	904	913	102	76	69	$A_E^R = 1 \text{ V}$
6. 0	2139	1221	980	1033	27	48	54	$A_E^I = 1 \text{ V}$
7. 0,032	1484	1066	777	1045	1496	1912	1910	$I = 0,8 \text{ A}$
8. 0,129	1095	870	782	786	835	477	532	$x_{OE} = 2,65 \text{ mm}$
9. 0,291	362	469	524	495	290	122	1411	$x^2 = 99,8 \text{ mm}^2$
10. 0,518	113	324	126	151	142	84	35	$\hat{x}_{OEC} =$
11. 0,810	102	236	165	155	194	45	16	$14,1 \text{ mm}$
								-/-

12.	1,04	40	41	438	455	775	806	432	449	43	44	23	23	154	160	26	22
13.	1,04	40	41	438	455	775	806	432	449	43	44	23	23	154	160	26	22
$\sum n'_j$		8560	7934	7970	7967	8499	8926					7798		9055			
$\sum n'_j u'_j$		941	2145	2862	2264	707	423					1063		318			
$k \left[\frac{\text{mm}^2}{\text{N}} \right]$		3,27	3,27	3,27	3,27	3,27	3,27					1,09		1,09			
f_c		0,13	0,35	0,65	0,9	1	1					1		1			
$A \tilde{x}_c' [\text{mm}^2]$		63	22,69	8,85	3,69	0,88		0,50				0,16		0,04			
$A \tilde{x}_{acc} [\text{mm}]$		11,24	6,73	4,2	2,71	1,33		1,00				0,56		0,28			
$W(\omega) [\text{mm}^2 \text{sec}]$		47,77	12,45	3,51	0,97	0,17		0,065				0,015		0,0016			

Tabloul 4. Vibratiiile măsurate cu traductorul ly la $v = 60 \text{ km/h}$.

Nr ordor	u_j^2 [v ²]	n'_j	$n'_j u'_j [v']$														
			c, 1	0, 1	0, 1	0, 1	0, 1	0, 1	0, 1	0, 1	0, 1	0, 1	0, 1	0, 1	0, 1	0, 1	0, 1
1.	0,5-6,71	0,71-1	1-1,4	1,4-2	2-2,8	2,8-4	4-5,6	5,6-8	5,6-8	5,6-8	5,6-8	5,6-8	5,6-8	5,6-8	5,6-8	5,6-8	5,6-8
1.	0,810	62	209	7	15	5	0	48	48	48	48	48	48	48	48	48	48
2.	0,518	11,1	157	24	11	6	5	12	12	12	12	12	12	12	12	12	12
3.	0,291	148	252	72	188	82	54	64	19	19	19	19	19	19	19	19	19
4.	0,129	239	341	520	40	211	23	248	18	18	18	18	18	18	18	18	18

	5.	6.	7.	8.	9.	10.	11.	12.	13.	$\sum n_j'$	$\sum n_j' u_j'$	$k \left[\frac{m}{mm} \right]$	f_i	$\Delta \bar{x}' [mm']$	$\Delta \hat{x}_{mm'} [mm']$	$W(\omega) [mm^2]$	
o, o32	463	13	373	11	556	16	672	20	827	24	48	1	535	16	715	21	
6.	0	626	0	735	0	607	0	1318	0	956	0	1963	0	795	0	1127	0
7.	o, o32	563	16	304	2	474	14	531	15	844	25	720	21	714	21	634	19
8.	o, 129	178	21	279	33	423	20	288	34	197	45	23	5	491	58	287	$\lambda_{OE}=2,63$ mm
9.	o, 291	152	208	149	78	43	22	48	23	22	12	6	361	95	34	$\hat{x}^2=16,82$ mm ²	
10.	o, 518	173	88	289	55	147	28	57	18	29	9	27	13	169	38	27	$\hat{x}_{OE_C}=5,97$ mm
11.	o, 810	82	83	11	18	67	.8	18	9	14	7	3	13	86	12	19	5,97 mm
12.	1,04	63	65	437	20	454	20	30	0	30	0	0	0	0	0	22	2
13.	1,04	63	65	437	20	454	20	30	0	31	0	0	0	0	0	0	0
$\sum n_j'$	2923	410-	3054	3241	3241	3241	3241	3241	3241	3222	3222	3222	3222	2896	3911	3508	
$\sum n_j' u_j'$	553	1557	332	261	151	67	151	67	151	151	67	67	67	574	574	257	
$k \left[\frac{m}{mm} \right]$	1,09	1,09	1,09	1,09	1,09	1,09	1,09	1,09	1,09	1,09	1,09	1,09	1,09	0,36	0,36	0,36	
f_i	0,13	0,35	0,65	0,9	1	1	1	1	1	1	1	1	1	1	1	1	
$\Delta \bar{x}' [mm']$	12,65	3,63	0,30	0,11	0,04	0,04	0,04	0,04	0,04	0,02	0,02	0,02	0,02	0,018	0,018	0,009	
$\Delta \hat{x}_{mm'} [mm']$	5,03	2,71	0,78	0,48	0,30	0,30	0,30	0,30	0,30	0,21	0,21	0,21	0,21	0,19	0,19	0,14	
$W(\omega) [mm^2]$	9,60	2,019	0,81	0,02	0,007	0,007	0,007	0,007	0,007	0,001	0,001	0,001	0,001	0,0017	0,0017	0,0004	

Tabelul 5

Vibratiiile măsurate cu traductorul ly la $v = 80 \text{ km/h}$.

Nr conțor	u_1^2 [v²]	η'_1	$\eta'_2 u'_2 [v']$			$A_z^R [V]$
			0,1	0,3	0,5	
0,5-0,71	0,71-1	1-1,4	1,4-2	2-2,8	2,8-4	4-5,6
1. 0,810	261	153	180	30	8	5,6-8
2. 0,518	314	244	357	173	49	29
3. 0,291	330	333	470	182	88	24
4. 0,129	609	729	636	471	266	180
5. 0,032	962	795	983	1111	133	720
6. 0	1315	891	1189	2050	3630	4705
7. 0,032	923	857	928	1299	1097	685
8. 0,129	431	751	727	27	38	22
9. 0,291	414	304	344	87	52	30
10. 0,518	472	289	475	242	116	22
11. 0,810	103	240	147	60	37	7

- 144 -

$A_z^I = 10 \text{ mV}$

$A_z^I = 5 \text{ mV}$

$A_z^R = 1 \text{ V}$

$I = 0,8 \text{ A}$

$x_{0z} = 2,63 \text{ mm}$

$\tilde{x}^2 = 41,4 \text{ mm}^2$

$\hat{x}_{0\Xi c} = 9,06 \text{ mm}$

-/-

12.	1,04	237	189	199	57	23	0	32	32	4
13.	1,04	244	189	199	57	23	0	32	32	4
		253	196	206	59	23	0			
$\Sigma n_j'$		6615	5852	6784	6487	5801	6616	5124	6282	
$\Sigma n'_j$		1587	1298	1513	645	288	155	273	115	
$k \left[\frac{\text{Nm}}{\text{rad}} \right]$	1,09		3,27	3,27	3,27	3,27	3,27	1,09	1,09	
f_1	0,13	0,35	0,65	0,9	1	1	1	1	1	
$\Delta \hat{x}' \left[\text{mm}^3 \right]$	16,85	16,58	5,56	1,31	0,47	0,25	0,06	0,02		
$\Delta \hat{x}_{\text{osc}} \left[\text{mm}^3 \right]$	5,8	5,75	5,33	1,61	0,97	0,70	0,35	0,20		
$\omega \left(\text{rad}^{-1} \text{sec}^{-1} \right)$	12,77	9,10	2,21	0,34	0,09	0,03	0,004	0,001		

Tabelul 6 Vibratiile măsurate cu traductorul ly la $\nu = 100 \text{ cm/h}$.

Nr conector	n_j'	n_j^2	$u_j^2 \left[\text{v}^2 \right]$	$n'_j u_j^2 / \nu^2$				$A^R \left[\text{V} \right]$	
				0,1	0,3	0,5	0,7		
1.	0,810	0,5	0,71-1	1-1,4	1,4-2	2-2,5	2,5-4	4-5,6	5,6-8
	246	240	119	27	110	0	101	26	21
2.	0,518	276	204	316	14	140	71	0	81
		140	104	161	7	71	0	158	69
3.	0,291	344	290	352	260	358	49	273	214
		92	84	102	25	103	14	79	62
4.	0,129	359	296	411	642	547	265	488	414
		42	75	49	77	65	31	58	49

Tabelul 7 Vibratiiile măsurate cu trănsitorul $2x$ la $v = 60$ km/h.

N_r	n_j^t	u_j^2	$[v^2]$	$n_j^t u_j^2 / [v^2]$	$n_j^t u_j^2 / [v^2]$	$A^R [V]$	$\Delta f [\text{Hz}]$
1. 0,210	25	318	0	0,71-1	1-1,4	1,4-2	2-2,8
2. 0,518	239	244	51	124	26	123	94
3. 0,291	521	198	230	100	66	136	47
4. 0,129	681	249	513	72	600	562	224
5. 0,032	643	274	942	32	515	971	64
6. 0	655	287	1028	8	567	1367	31
7. 0,062	570	209	849	511	25	15	0
8. 0,129	524	218	630	467	56	31	0
9. 0,291	430	275	146	33	42	478	267
10. 0,518	271	336	39	193	0	196	191
11. 0,810	55	138	97	193	98	0	143

$A^T = 10 \text{ mV}$	$A^R = 3 \text{ mV}$	$A_E^T = 1 \text{ V}$	$A_E^R = 69 \text{ V}$
13	317	110	161
31	351	101	120
8	580	62	61
12	434	814	633
13	13	24	18
2001	933	0	0
0	0	0	0
1462	738	657	57
31	43	22	19
267	530	472	$x_{OE} = 2,63 \text{ mm}$
32	63	57	$x^2 = 2,83 \text{ mm}^2$
372	400	400	$\hat{x}_{OEc} = 2,37 \text{ mm}$
29	107	116	
30	164	271	
57	15	83	
38	79	133	
30	3	62	
4			$BUPT$

12.	1,04	219	227	423	0	270	29	30	0	74	76	104	108
13.	1,04	219	227	468	0	270	29	30	0	117	121	242	251
$\sum n_j'$		5052	3692	4428	5085	5185	4451	4836	5097				
$\sum n'_L$		1231	1655	342	1615	543	161	902	1323				
$k \left[\frac{m^2}{V} \right]$	0,378	0,378	1,19	0,378	0,378	0,119	0,119	0,119	0,119				
f_i	0,13	0,35	0,65	0,9	1.	1	1	1	1				
$\Delta \tilde{x}_L' [mm]$	2,02	0,51	0,23	0,05	0,01	0,005	0,005	0,0025	0,0035				
$\Delta x_{ac} [mm]$	2,00	1,00	0,68	0,33	0,16	0,10	0,07	0,07	0,04				
$\Delta x(\omega) [mm]$	1,53	0,27	0,09	0,0012	0,0012	0,0006	0,0001	0,0002					

Tablă 8 Vibratiiile măsurate cu trăsătorul 2Y la $v = 60 \text{ km/h}$.

Nr. cărătă or	u_j^2 [V^2]	n'_2			n'_1			n'_2 [V^2]			n'_1 [V^2]		
		0,1	0,1	0,1	0,1	0,1	0,1	0,1	0,1	0,1	0,1	0,1	0,1
1.	0,610	0,5-0,71	0,71-1	1-1,4	1,4-2	2-2,8	2,8-4	4-5,6	5,6-8	5,6-8	5,6-8	5,6-8	5,6-8
2.	0,518	189	270	175	113	36	94	77	79	79	79	79	79
3.	0,291	210	420	217	212	57	144	137	151	151	151	151	151
4.	0,129	273	32	384	310	32	528	183	21	341	395	404	404

-/-

Tabelul 9 Vibratiile măsurate cu tranductoarele 2x la v = 80 km/h.

Nr consec	u_j^2 [v ²]	η_j'	η'_j [V ²]			η'_j [V ²]			A^R [v]
			0,2	0,3	0,3	0,3	0,3	0,1	
1. 0,810	0,5-0,71	0,71-1	1-1,4	1,4-2	2-2,8	2,8-4	4-5,6	5,6-8	Δf [Hz]
2. 0,518	34	112	151	87	44	16	24	17	$A^I=3$ mV
3. 0,291	393	115	237	169	43	8	12	8	$A_E=3$ mV
4. 0,129	322	233	252	277	174	219	100	89	$A_E^R=1$ V
5. 0,032	524	635	19	500	30	33	26	12	$I=0,69$ V
6. 0	649	660	485	878	1595	4025	2682	686	$X_{OE}=2,63$ mm
7. 0,032	671	440	417	495	516	845	343	459	$\bar{x}^2=10,76$ mm ²
8. 0,129	463	366	13	12	14	15	25	10	$\hat{x}_{OEc}^2=4,63$ mm
9. 0,291	202	447	296	273	116	160	100	250	
10. 0,518	58	122	43	35	32	13	19	12	
11. 0,810	0	70	195	187	107	17	23	11	
		0	29	95	54	6	19	4	
		56	149	51	21	21	6	2	
		0	120	41	17	17	17	4	
		0	0						

12.	1,04	C	41	430	447	85	88	25	25	23	23	277	288
13.	1,04	C	41	430	447	85	88	25	25	23	23	277	288
Σn_j	3318	3482	3965	3259	3326	6629	3276					3618	
$2 n_j c_j$	346	662	1590	524	204	272	137					1011	
$K \left[\frac{m}{v} \right]$	1,19	1,19	1,19	1,19	1,19	1,19	1,19	0,378	0,378	0,119	0,119		
f_s	0,13	0,35	0,65	0,9	1	1	1	1	1	1	1		
$\Delta \lambda / mm^3$	7,1	1,87	1,34	0,27	0,061	0,058	0,058	0,058	0,058	0,039	0,039		
$\Delta \lambda_{ext} / mm^3$	3,78	1,9	1,6	0,74	0,37	0,34	0,34	0,10	0,10	0,058	0,058		
$W_1 / mm^3 sec$	3,38	1,025	0,53	0,071	0,0011	0,0078	0,0057	0,0057	0,0057	0,0015	0,0015		

Taboulul 10 Vibratiiile măsurate cu traductorul 2x la $v = 100$ km/h.

Nr. constr.	n_j	u_j^2 [v ²]	n'_j	$\eta_j u_j [v']$			$A_R [V]$	$-4f [Hz]$
				0,3	0,3	0,1		
1.	0,810	0,71	0,71-1	1-1,4	1,4-2	2-2,8	2,8-4	4-5,6
		0,5-0,71	0,71-1	1-1,4	1,4-2	2-2,8	2,8-4	5,6-8
		0,114	0,114	0,123	0,123	0,145	0,158	0,175
2.	0,518	442	192	149	79	93	38	15
		225	97	75	40	47	19	30
3.	0,291	419	449	336	258	250	192	139
		121	130	97	74	72	55	40

-/-

4.	0,129	695	501	430	827	319	387	359	540	64
5.	0,032	561	703	779	51	99	28	46	43	A _{E=1} v
6.	0	721	915	2100	1394	534	1272	1140	1609	I=0,69 v
7.	0,032	655	717	768	783	485	959	840	939	x _{OE} =2,63 mm
8.	0,129	498	537	64	461	654	384	478	380	$\hat{x}^2=42,22 \text{ mm}^2$
9.	0,291	306	395	238	289	163	46	57	45	$\hat{x}_{OEC}=42$
10.	0,518	342	188	114	69	83	23	61	186	42
11.	0,810	101	174	95	71	40	62	22	87	44
12.	1,04	212	11	52	14	68	21	31	11	9,18 mm
13.	1,04	212	11	52	14	38	38	24	42	34
$\Sigma n'_j$	5278	4646	5731	5312	2827	30	30	19	27	101
$\Delta n'_j$	1428	645	753	573	427	44	45	45	27	105
$\Delta n'_j / \Delta n'_j$	1,19	3,78	3,78	3,78	1,19	473	334	3913	507	706
f_i	0,13	0,35	0,65	0,9	1	1	1	1	1	"
$\Delta x'_j / \Delta n'_j$	19,33	16,09	4,43	1,88	0,21	0,143	0,12	0,018		
$\Delta x'_j / \Delta n'_j$	6,21	5,67	2,97	1,94	0,64	0,084	0,49	0,19		
$\Delta x'_j / \Delta n'_j$	24,64	8,82	1,75	0,49	0,041	0,017	0,011	0,001		

Tabloul II
Vibratiiile măsurate cu trăductoarele 2 și 1 la $\nu = 80$ km/h.

Nr. ordine	u_j^2 [v ²]	n_j'	$n_j' u_j' [v^2]$				A_R [V]
			0,3	0,1	0,1	0,03	
1. 0,810	54	145	9,71-1	1-1,4	1,4-2	2-2,8	4-5,6
2. 0,518	47	172	136	85	127	117	27
3. 0,291	235	172	147	96	43	64	22
4. 0,129	395	27	228	42	54	45	21
5. 0,032	381	323	305	27	388	182	17
6. c	220	155	7	143	9	46	37
7. 0,032	191	151	0	0	153	21	37
8. 0,129	214	186	5	123	3	153	37
9. 0,291	164	162	5	328	9	5	37
10. 0,518	127	199	26	123	14	50	37
11. 0,810	39	95	22	418	176	21	37

Δf [Hz] Δf [Hz]

$A_I = 10$ mV

$A_E = 3$ mV

$A_E = 1$ V

$I = 0,69$ V

$x_{0E} = 2,63$ mm

$\hat{x}^2 = 19,36$ mm²

$\hat{x}_{0Ec} = 6,22$ mm

12.	1,04	16	17	206	69	175	0	141	63	65	17	21	21
13.	1,04	16	17	206	169	175	0	141	63	65	17	21	21
Σn_j		2294	2312	2064	2438	1746	0	2942	2459	2459	2572		
$\Sigma n'_j u'_j$	442	855	794	308	615	467	0	217	217	217			
$K(\frac{m}{mm^2})$	1,19	1,19	1,19	1,19	1,19	0,378	0,378	0,378	0,378	0,378			
F	0,13	0,35	0,65	0,9	1	1	1	1	1	1			
$\Delta \dot{x}_i [mm^3]$	13,8	4,01	1,27	0,22	0,049	0,021	0,012	0,011					
$\Delta \dot{x}_{irr} [mm^3]$	5,25	2,65	1,59	0,66	0,31	0,20	0,15	0,15					
$\omega(\omega) [mm^3 sec]$	20,47	2,19	0,5	0,057	0,025	0,02	0,0011	0,0006					

Tabelul 12 Vibratiile măsurate cu traductorul 2y la v = 100 km/h.

		u_j^2	u_j'	$n'_j u'_j [V^2]$	$A^R [V]$
1.	0,810	0,1	0,3	0,1	0,03
		0,5-0,71	0,71-1	1-1,4	2-2,8
		45	70	6	21
		45	45	56	53
2.	0,518	206	40	5	238
		206	105	20	15
3.	0,291	271	79	27	135
		271	79	39	191
		271	79	55	35
		271	79	10	245
		271	79	11	71
		271	79	11	40
		271	79	11	22
		271	79	11	6

INSTITUTUL POLITEHNIC
TIMIȘOARA
BIBLIOTECA CENTRALĂ

	$A_E = 1$	v	$I = 0, 69$	v	$x_{0E} = 2, 63$	mm	$\bar{x}^2 = 30, 91$	mm^2	\hat{x}_{0Ec}	$=$	$7,86$	mm
4.	0,129	282	297	24	197	25	201	23	360	43	466	164
5.	0,032	448	789	726	726	206	799	23	526	48	206	19
6.	0	250	932	14	23	1179	177	6	531	24	624	18
7.	0,032	267	649	0	0	643	215	0	15	15	0	0
8.	0,129	337	322	46	38	251	151	6	747	822	806	18
9.	0,291	579	130	110	37	91	30	18	608	547	602	18
10.	0,518	163	18	83	9	16	247	18	389	192	183	21
11.	0,810	28	21	17	18	23	125	9	46	23	21	18
12.	1,04	0	13	13	64	66	125	11	150	43	12	5
13.	1,04	6	13	0	13	64	8	39	73	11	2	1
$\Sigma n_j'$	2686	3288	3395	2002	2002	0	57	9	37	5	2	1
$k[\frac{mm}{m}]$	540	307	318	591	591	186	0	0	330	47	31	32
$\Delta \bar{x}' [mm]$	1,19	3,78	3,78	1,19	1,19	1,19	0,9	1	330	47	48	32
$\Delta \bar{x}_{ec} [mm]$	5,78	4,58	2,46	0,50	0,50	0,077	0,038	0,0129	0,378	0,378	0,378	0,378
$w_{(v)} [mm]$	12,69	5,74	1,21	0,13	0,13	0,014	0,004	0,0012	0,0047	0,0047	0,0047	0,0047

Tabloul 13 Vibrăriile măsurate cu tranductorul I_Z la v = 60 km/h (în fată)

Nr compoz.	u _j [V ²]	n _j [Hz]	n' _j u' _j [V ²]			n' _j u' _j [V ²]			A _Z = 100 mV
			1	1	1	0,3	0,1	0,02	
1. 0,810	0,5-0,71	0,71-1	1-1,4	1,4-2	2-2,8	2,8-4	4-5,6	5,6-8	Δf [Hz]
2. 0,618	0	342	352	142	103	189	60	20	A _Z =100 mV
3. 0,291	129	472	506	433	297	293	157	329	A _Z =100 mV
4. 0,129	508	674	523	146	125	86	84	45	A _Z =1 V
5. 0,032	1002	1-74	489	699	1006	960	1358	562	A _Z =1 V
6. 0	2405	20	36	14	20	20	20	40	I=0,71 V
7. 0,032	961	29	223	634	723	910	1126	1950	x _{0Σ} =2,63 mm
8. 0,129	364	751	527	649	590	618	121	354	z ² =64,85 mm ²
9. 0,291	112	433	432	400	232	211	12	251	z _{0Σ0} =
10. 0,518	31	16	254	338	186	135	119	0	11,38 mm
11. 0,810	0	114	92	165	93	19	30	138	
12. 1,04	0	58	71	79	21	5	7	106	
	0			82	21	5	7	0	110

-//-

13.	1,04	0	66	67	85	88	24	24	8	65	67	0	525	546
$\sum n_j'$	5513	8332	4882	5074	5160	5271	4845	4589						
$\sum n_j' u_j'$	251	1237	1228	847	549	678	201	1456						
$k \left[\frac{m}{s^2} \right]$	3,704	3,704	3,704	3,704	1,171	0,3704	0,3704	0,1171						
f_i	0,13	0,35	0,65	0,9	1	1	1	1						
$\Delta \tilde{x}_i' [mm^2]$	36,54	17,24	8,11	2,81	0,13	0,016	0,0056	0,0042						
$\Delta \hat{x}_{ii} [mm]$	8,55	5,87	4,02	2,37	0,52	0,18	0,10	0,09						
$\omega(\omega) [mm^2/sec]$	27,70	9,46	3,22	0,74	0,025	0,001	0,0004	0,0001						

Tabelul 14 Vibratilile măsurate cu transductorul 1z la $v = 80 \text{ km/h}$ (in fată)

N conțor	n_j^2 $[V^2]$	$n_j' u_j'$ $[V^2]$	$n_j' u_j'^2$ $[V^2]$	A_E [V]	A_E [Hz]	A_I = 100 mV	A_I = 100 mV
1.	0,3	0,3	1	0,1	0,03	0,01	0,01
2.	0,5-0,71	0,71-1	1-1,4	1,4-2	2-2,8	2,8-4	4-5,6
3.	0,291	123	176	166	95	27	39
4.	0,129	116	146	245	162	208	171

	$A_E^R = 1 \text{ v}$	$I = 0,71 \text{ v}$	$x_{OE} = 2,63 \text{ mm}$	$\xi^2 = 50,09$
5. 0,032 105 3 137 4 454 13 413 12 233 6 529 15 446 13 347				
6. 0 118 0 158 0 707 0 425 0 299 0 711 0 532 0 1294 0				
7. 0,032 109 3 138 4 331 9 382 11 263 7 427 12 393 11 456 13				
8. 0,129 126 155 18 370 44 265 31 171 7 12 11 131				
9. 0,291 147 163 134 59 190 21 182 191 21 22 3				
10. 0,518 145 73 114 19 5 106 5 6 0 0 0 0 0 0				
11. 0,810 136 140 0 0 0 93 0 2 0 0 0 0 0 0				
12. 1,04 199 311 0 0 0 75 0 0 0 0 0 0 0 0				
13. 1,04 179 290 0 0 0 174 0 0 0 0 0 0 0 0				
$\Sigma n'_j$ 1738 2495 323 0 0 0 180 0 0 0 0 0 0 0 0				
$\Sigma n'_j u'_j$ 885 1675 215 0 0 0 116 0 0 0 0 0 0 0 0				
$k \left[\frac{\text{mV}}{\text{A}} \right]$ 1,171 1,171 3,764 0,3704 0,1171 0,03704 0,03704				
f_j 0,13 0,35 0,65 0,9 1 1 1 1				
$\Delta \bar{x}_j' [\text{mm}]$ 39,75 7,49 2,84 0,012 0,0041 0,0005 0,00006				
$\Delta \bar{x}_{\text{av}} [\text{mm}]$ 8,91 3,67 2,28 0,15 0,09 0,01 0,01				
$w_{\text{av}} [\text{mm}^2]$ 20,12 4,10 1,13 0,003 0,0003 0 0				

Tabelul 15 Vibratiiile măsurate cu tranductorul 1z la $\nu = 100 \text{ Hz/h}$ (in fată)

Nr	n_t'	$u_j^2 [V^2]$			$n_j' u_j' [\nu^2]$			$A_R^R [v]$	$A_E^R [Hz]$
		0,3	1	1	0,3	1	0,1		
1.	0,810	0,5-0,71	0,71-1	1-1,4	1,4-2	2-2,8	2,8-4	4-5,6	5,6-8
2.	0,518	129	55	141	190	118	90	25	84
3.	0,291	479	573	174	323	296	153	171	20
4.	0,129	664	791	119	342	165	99	301	63
5.	0,032	830	875	106	814	699	504	588	129
6.	0	913	910	25	95	98	83	60	71
7.	0,032	940	976	0	1322	970	793	100	129
8.	0,129	733	794	26	27	790	793	70	65
9.	0,291	208	602	0	0	1083	141	112	129
10.	0,518	209	66	0	0	0	0	103	129
11.	0,810	107	41	283	175	29	23	20	63
12.	1,04	2c8	87	197	345	131	153	104	129
		216	0	145	176	307	281	241	20
				0	151	183	31	0	129
						32	0	24	0
							0	24	0

$A^I = 300 \text{ mV}$

$A_E^I = 100 \text{ mV}$

$I = 0,71 \text{ V}$

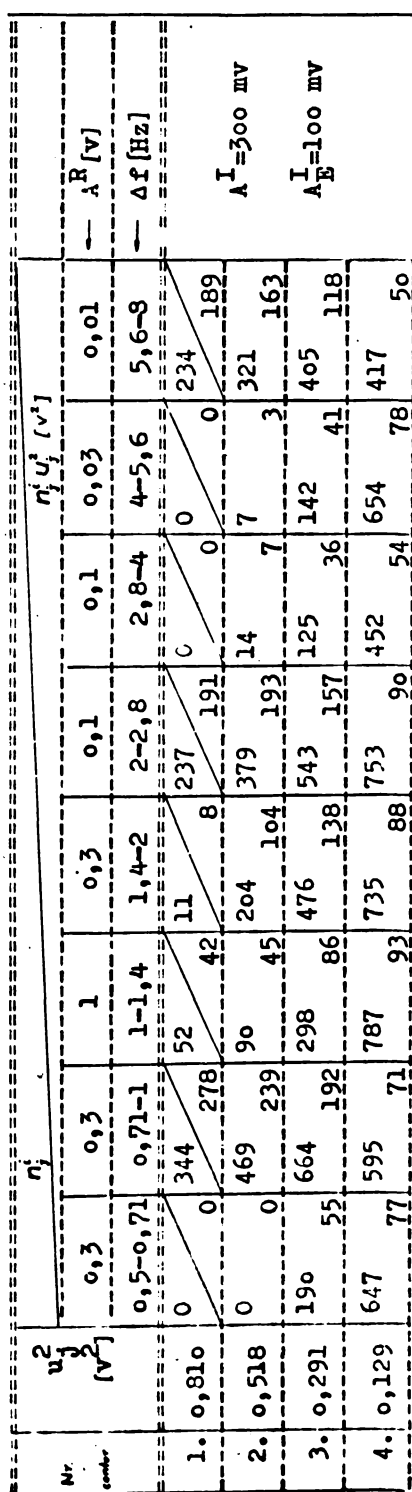
$x_{0E}^R = 2,63 \text{ mm}$

$x_{0E}^I = 454,65 \text{ mm}^2$

$x_{0E}^I = 30,15 \text{ mm}$

13.	1,04	208	216	0	145	154	151	183	31	0	13	12	0
Σn_j^i		6142	6242		6682	6007	5249	6163	5723		5722		
$\Sigma n_j^i u_j^i$		1258	982		1368	1369	910	775	619		383		
$k \left[\frac{\text{mm}^2}{\text{v}} \right]$		3,704	11,71		11,71	3,704	1,171	0,3704	0,3704		0,3704		
f_i		0,13	0,35		0,65	0,9	1	1	1		1		
$\Delta \ddot{x}_i^* \left[\text{mm}^2 \right]$	166	176,1	72		38	2,37	0,16	0,014	0,0091				
$A_i^* \text{ [mm]}$	18,22	18,75	12,02		8,78	2,17	0,57	0,17	0,13				
$\omega_i \left[\text{mm}^2 \text{sec}^{-1} \right]$	125	96,6	28,66		10	0,47	0,02	0,001	0,001				

Tabelul 16 Vibratii măsurate cu trăsătorul la v = 60 km/h (in spate)



5.	0,032	1393	510	1502	45	1159	34	980	27	1149	34	1575
6.	0	1866	529	1458	0	1478	0	1253	0	2688	0	2036
7.	0,032	1111	516	1447	15	1212	36	842	25	1452	42	1314
8.	0,129	613	693	659	631	672	75	672	562	627	75	475
9.	0,291	181	490	297	86	418	79	358	80	67	75	428
10.	0,518	26	373	111	142	121	121	103	1711	154	496	44
11.	0,810	0	401	190	56	185	94	280	28	25	383	124
12.	1,04	0	604	0	27	33	115	142	14	12	195	124
13.	1,04	0	577	0	324	21	26	93	0	0	242	196
											0	0
Σn_1^i	6027	6765	6719	6610	0	37	95	0	0	0	0	570
$\Sigma n_2^i u_i^j$	344	2776	596	794	0	31	349	0	0	0	0	568
$K \left[\frac{mm}{v} \right]$	3,704	3,704	11,71	3,704	0	32	362	0	0	0	0	590
$\Delta \bar{x} [mm^4]$	46	45,91	28,56	2	2,03	0,12	0,06	0,11	0,171	0,3704	0,1171	0,005
$\Delta \bar{x}_{ac} [mm]$	9,62	9,58	7,55	2	2,01	0,49	0,06	0,05	750	339	2299	0,10
$W(\omega) [mm^4 \cdot s]$	34,8	25,2	11,36	0,53	0,40	0,01	0,004	0,003	6534	5431	5431	0,0003

Tabelul 17 Vibratiiile măsurate cu transductorul Iz la v = 80 km/h (în spate)

N _i	U _j ²	n _j [v ²]	n _j u _j ² [v ⁴]			n _j u _j ² [v ⁴]			
			0,3	1	1	0,3	0,1	0,1	- A ^R [V]
	3,5-0,71	0,71-1	1-1,4	1,4-2	2-2,8	2,8-4	4-5,6	5,6-8	- Δf [Hz]
1. 0,810	111	77	203	164	70	56	109	41	
2. 0,518	185	157	190	95	70	35	147	121	A I = 300 mV
3. 0,291	149	235	174	161	152	208	66	64	A E = 100 mV
4. 0,129	299	253	181	255	317	275	236	159	A ^R E = 1 V
5. 0,032	445	13	248	204	384	366	331	531	I = 0,71 V
6. 0	351	329	0	214	441	364	257	840	x _{0E} = 2,63 mm
7. 0,032	289	261	198	325	304	0	0	0	
8. 0,129	244	29	267	7	5	9	223	127	x ² = 666,33 mm ²
9. 0,291	146	42	216	32	158	259	229	200	x _{0Ec} =
10. 0,518	167	85	178	62	193	169	170	87	36,50 mm
11. 0,810	151	41	122	90	107	124	110	58	
									-//-

12.	1,04	76	79	81	84	138	143	23	129	0	0	0	0
13.	1,04	99	60	153	62	159	21	154	44	329	0	0	0
$\Sigma n_j'$		102						21	160	461	342	0	0
$\Sigma n_j' u_j$		2712	2402	2362		2378		2480	2339	2291		2129	
$k \left[\frac{N}{m^2} \right]$		741	617	941		427		654		802	501	53	
f_4		3,704	11,71	11,71		11,71		3,704	1,171	1,171		1,171	
$\Delta \ddot{x}_i' [mm^2]$		0,13	0,35	0,65		0,9		1	1	1	1	1	
$\Delta \ddot{x}_{in} [mm]$		219	286	129		28		3,56	0,46	0,28	0,032		
$w(\omega) [mm^2 \cdot sec]$		20,9	23	16		7,48		2,67	0,56	0,75	0,25		

Tabelul 18 Vibratiiile măsurate cu traductorul 1z la $v = 100 \text{ km/h}$ (in spate)

Nr. centru	u_j^2 [V ²]	n_j'			$n_j' u_j'$ [V ²]			A^R [V]	A^f [Hz]
		u_j	n_j	n_j'	$n_j' u_j'$				
0,5-0,71	0,71-1	0,3	1	0,3	0,1	0,03	0,03		
1.	0,810	80	136	1,4-2	2-2,8	2,5-4	4-5,6	5,6-8	
2.	0,518	53	64	0	0	28	0	0	
3.	0,291	98	110	151	122	0	22	0	
4.	0,129	232	27	83	176	0	62	0	
				27	89	0	21	0	
				18	327	80	145	38	
				175	346	49	23	41	
				21	42	256	265	115	
				22	42	22	245	205	
								10	

5.	0,032	381	11	193	5	359	10	131	2	401	12	507	15	458	12	368	11	A _E ^R =1 v
6.	0	396	0	479	0	395	0	146	0	519	0	703	0	616	0	509	0	I=0,71 v
7.	0,032	367	171	384	11	134	4	379	11	401	12	370	11	306	10	9		
8.	0,129	169	20	193	23	363	43	153	18	190	22	109	12	150	18	85		x _{OE} ^R =2,63 mm
9.	0,291	202	58	118	215	62	143	41	53	1	15	0	22	0	6	0	9	x ² =2770 mm ²
10.	0,518	83	106	34	60	218	0	108	0	0	0	0	0	0	0	0		x _{OE} ^C =
11.	0,810	42	51	0	41	0	155	0	0	0	0	0	0	0	0	0		74,43 L
12.	1,04	102	166	0	172	0	258	0	0	0	0	0	0	0	0	0		164
13.	1,04	104	163	0	169	0	394	0	0	0	0	0	0	0	0	0		
		2309	2098	2464	2470	2478	2472	2470	2470	2470	2470	2470	2470	2470	2470	2470	2470	
		Σn_j^i	536	694	298	1357	113	165	94	49								
		k [$\frac{mm}{\sqrt{N}}$]	11,71	11,71	37,04	11,71	11,71	3,704	1,171	1,171								
		f.	0,13	0,35	0,65	0,9	1	1	1	1								
		$\Delta \bar{x}_j^i$ [mm ²]	1866	369	389	137	8,22	0,96	0,067	0,046								
		$\Delta \bar{x}_{sc}^i$ [mm ²]	61	27	27	16	4,05	1,38	0,36	0,30								
		$\Delta \bar{v}_j^i$ [mm ³ sc]	1414,8	202,5	154,7	36,3	1,62	0,12	0,04	0,03								

Tabelul 19 Vibratiiile măsurate cu traductorul 2Z la $v = 60 \text{ km/h}$ (la dus)

Nr. $\omega_{\text{rot.}}$	n_j^i	$u_j^2 [\text{v}^2]$			$u_j^i [\text{v}^2]$			$u_j^i [\text{v}^2]$		
		0,1	0,3	0,1	0,1	0,1	0,1	0,03	0,03	0,03
1. 0,810	110	0,5-0,71	0,71-1	1-1,4	1,4-2	2-2,8	2,8-4	4-5,6	5,6-8	$\Delta f [\text{Hz}]$
2. 0,518	101	89	136	0	84	0	157	105	153	$A^I = 3 \text{ mm}$
3. 0,291	241	188	20	366	28	285	206	261	261	$A_E^I = 3 \text{ mm}$
4. 0,129	494	567	491	484	511	433	526	649	77	$A_E^R = 1 \text{ v}$
5. 0,032	874	762	772	445	13	1039	467	685	798	$I = 0,65 \text{ v}$
6. 0	1050	832	1006	561	1421	536	716	870	870	$x_{0,\Sigma} = 2,63 \text{ mm}$
7. 0,032	965	671	722	482	14	990	506	871	1051	$\tilde{x}^2 = 1,95 \text{ mm}^2$
8. 0,129	561	672	80	451	527	401	48	569	722	$\hat{x}_{0,\Sigma} = 1,97 \text{ mm}$
9. 0,291	140	292	84	271	454	166	342	473	556	
10. 0,518	107	261	0	337	40	300	308	137	161	
11. 0,810	46	37	66	0	214	0	179	144	294	

12.	1,04	5	372	0	307	0	457	193	268	278
13.	1,04	0	368	0	362	0	402	191	268	278
Σn_j^i		0	382	0	376	0	418	198	278	
$\Sigma n_j^i u_j$			5618	3897	5174	4778	4887	5357	6622	
$k \left[\frac{N}{m^2} \right]$		0,415	0,415	1,312	0,415	0,415	0,1312	0,1312	0,1312	
f_c		0,13	0,35	0,65	0,9	1	1	1	1	
$\Delta X^2 [mm^2]$		1,12	0,39	0,30	0,07	0,01	0,06	0,004	0,004	
$\Delta \hat{x}_{ave} [mm]$		1,49	0,88	0,77	0,37	0,14	0,11	0,09	0,09	
$\sqrt{\nu_0} [mm^2 \cdot sec]$		0,84	0,21	0,11	0,01	0,001	0,037	0,0003	0,0001	

Tabelul 20 Vibratiiile măsurate cu traductorul 2z la v = 80 km/h (la dus)

Nr	u_j^2 [v ²]	n_j^i	$n_j^i u_j^i [v^3]$								A ^R [V]
			0,1	0,3	0,1	0,1	0,03	0,03	0,03	0,03	
0,5-0,71	0,71-1	1-1,4	1,4-2	2-2,8	2,8-4	4-5,6	5,6-8	8	0	0	A f [Hz]
1. 0,810	39	79	119	63	96	73	142	115	11	0	A I = 3 mA
2. 0,518	193	207	302	196	105	213	66	108	33	0	A E = 3 mV
3. 0,291	139	264	253	72	91	287	264	76	168	10	
4. 0,130	229	27	519	62	47	368	404	310	461	134	

-/-

5.	0,032	331	609	10	517	430	636	19	362	10	927	27
6.	0	391	784	0	653	587	525	0	400	0	1145	0
7.	0,032	480	725	15	499	514	481	15	394	11	846	25
8.	0,129	267	423	22	387	581	478	57	394	47	455	120
9.	0,291	113	266	33	300	303	236	68	364	188	54	15
10.	0,518	104	197	22	261	111	127	261	261	54	7	2
11.	0,810	67	62	24	135	31	54	159	122	18	0	0
12.	1,04	162	21	21	27	32	35	271	0	0	0	0
13.	1,04	162	23	24	34	25	30	275	281	0	0	0
Σn_j		2777	4179	3869	3590	3471	3809	4314				
Σn_j^2		759	666	826	637	574	1337	330				
K [$\frac{\text{mm}^3}{\text{mm}}$]	0,415	1,312	1,312	0,415	0,415	0,1312	0,1312	0,1312				
f_k	0,13	0,35	0,65	0,9	1	1	1	1				
$\Delta \tilde{x}_k' [\text{mm}^3]$	2,785	2,10	0,85	0,37	0,028	0,006	0,001	0				
$\Delta \hat{x}_{se} [\text{mm}]$	2,36	2,05	1,30	0,27	0,23	0,10	0,05	0				
$\nu(\omega) [\text{mm}^2 \text{sec}]$	2,11	1,15	0,33	0,009	0,004	0,0004	0,0006	0				

三

Tabelul 21 Vibratii măsurate cu tranductorul 2z la $v = 100 \text{ km/h}$ (la dus)

Nr criter.	u_j^2 [v ²]	n_j'			$n_j' u_j^2 [v^2]$			$- A^R [V]$
		0,1	0,3	0,1	0,1	0,02	0,03	
1. 0,810	0,5-0,71 197 102	1-1,4 0 152	1,4-2 0 0	2-2,8 34 0	2,8-4 0 0	4-5,6 0 0	5,6-8 0 0	$-\Delta f [Hz]$
2. 0,518	332 162	454 221	41 20	91 46	125 62	215 102	5 2	$A^I = 10 \text{ mV}$
3. 0,291	415 120	580 162	376 109	195 56	246 71	315 91	87 25	$A_E^I = 3 \text{ mV}$
4. 0,129	497 52	396 47	511 61	367 44	498 52	534 40	439 52	$A_E^R = 1 \text{ V}$
5. 0,032	418 12	343 10	861 25	1003 30	665 16	395 11	1003 20	$I = 0,65 \text{ A}$
6. 0	751 0	373 0	1002 0	1123 0	1343 2	638 0	1555 0	$x_{OE} = 2,63 \frac{\text{mm}}{\text{mm}^2}$
7. 0,032	549 16	356 10	720 21	738 22	666 19	502 15	1063 21	$\hat{x}_{OEc}^2 = 74,57 \frac{\text{mm}^2}{\text{mm}}$
8. 0,129	519 62	427 21	598 71	392 47	477 52	375 45	421 50	$\hat{x}_{OEc} = 12,21 \text{ mm}$
9. 0,291	474 125	587 170	313 90	201 58	242 70	429 124	62 17	
10. 0,518	205 104	496 252	50 25	92 46	82 41	366 186	10 5	
11. 0,810	100 163	81 0	27 0	21 0	190 0	152 0	0 0	

12.	1,04	162	90	0	0	0	195	0	0	0
13.	1,04	158	108	0	0	0	0	202	0	0
		164	112	0	0	0	65	0	0	0
$\Sigma n'_j$		4708	4568	4469	4276	4344	4121	4045	4687	
$\Sigma n'_j u'_j$		1195	1429	422	404	395	1125	212	110	
$k \left[\frac{mm^2}{V} \right]$		1,312	4,15	4,15	1,312	1,312	0,415	0,415	0,415	
f.		0,13	0,35	0,65	0,9	1	1	1	1	
$\Delta \tilde{x}'_t [mm^2]$	2547	43,58	3,66	0,19	1,618	0,046	0,0077	0,0039		
$\Delta \dot{x}_{ac} [mm]$	7,13	9,33	2,70	0,61	0,56	0,30	0,12	0,088		
$\omega(\omega) [mm^3.sr]$	19,26	23,9	1,45	0,049	0,12	0,004	0,0006	0,0001		

Tabelul 22 Vibratiile măsurate cu traductorul 22 la $v = 60 \text{ km/h}$ (la întors)

Nr. conțor	u_j^2 [v ²]	n'_j	$n'_j u'_j [V^2]$			$A f [Hz]$	$A I = 3 \text{ mA}$
			u_j	$0,1$	$0,1$		
1.	0,5-0,71 0,810	0,71-1 48	1-1,4 124	1,4-2 91	2-2,8 0	2,8-4 128	4-5,6 7
2.	0,518	194	255	159	61	27	2,6-8 5
3.	0,291	195	277	164	47	139	5
4.	0,129	246	213	266	448	334	0

5.	0,032	391	12	202	6	392	11	620	18	591	12	322	9	539	16	722	21	$A_E^R = 1 \text{ v}$
6.	0	445	0	319	0	665	0	719	0	719	0	277	0	695	0	1049	0	$I = 0,65 \text{ v}$
7.	0,032	449	13	227	6	418	12	644	19	514	15	272	8	555	16	714	21	$x_{OE} = 2,63 \text{ mm}$
8.	0,129	379	45	252	20	218	26	405	48	370	44	300	36	427	51	286	34	$\hat{x}^2 = 2,54 \text{ mm}^2$
9.	0,291	279	81	186	223	225	81	380	22	380	23	110	125	49	26	14	$\hat{x}_{OEC} = 2,25 \text{ mm}$	
10.	0,518	119	61	259	102	57	57	35	17	331	17	162	40	0	0	0	$\hat{x}^2 = 2,54 \text{ mm}^2$	
11.	0,810	51	41	114	55	44	0	0	0	249	0	0	0	0	0	0	$\hat{x}_{OEC} = 2,25 \text{ mm}$	
12.	1,04	0	192	179	192	192	0	0	0	141	0	146	0	0	0	0	$\hat{x}^2 = 2,54 \text{ mm}^2$	
13.	1,04	45	47	230	124	0	0	0	0	141	0	146	0	0	0	0	$\hat{x}_{OEC} = 2,25 \text{ mm}$	
$\sum n_j^{ij}$	2641	2880	3076	3404	2810	3404	2810	3427	3427	3002	3203							
$\sum n_j^{ij} u_j^{ij}$	524	1116	771	328	209	128	0	0	0	1212	1212	255	255	147				
$\lambda \left[\frac{mm}{V} \right]$	0,415	0,415	0,415	0,415	0,415	0,415	0,415	0,415	0,415	0,1312	0,1312	0,1312	0,1312	0,1312	0,1312	0,1312	$0,1312$	
f_k	0,13	0,35	0,65	0,9	0,9	1	1	1	1	1	1	1	1	1	1	1	$0,0007$	
$\Delta \hat{x}_t^* [mm]$	1,879	0,53	0,10	0,02	0,012	0,006	0,006	0,006	0,006	0,006	0,006	0,006	0,006	0,006	0,006	0,006	$0,0007$	
$\Delta \hat{x}_{ee}^* [mm]$	1,93	1,03	0,45	0,20	0,15	0,10	0,10	0,05	0,05	0,05	0,05	0,05	0,05	0,05	0,05	0,05	$0,05$	
$w(\omega) [mm^2]$	0,66	0,28	0,03	0,004	0,002	0,0007	0,0009	0,0009	0,0009	0,0009	0,0009	0,0009	0,0009	0,0009	0,0009	0,0009	$0,0009$	

Tabloul 23 Vibratiiile măsurate cu tructorul 2z la $v = 80 \text{ km/h}$ (la întors)

Nr. center	u_j^2 [v ²]	n_j'					$n_j' u_j' (\text{v}^2)$			$A_R [\text{V}]$
		0,1	0,3	0,1	0,1	0,1	0,1	0,03	0,03	
1. 0,810	0,5-0,71 144	0,71-1 233	1-1,4 228	1,4-2 126	2-2,8 102	2,8-4 78	4-5,6 30	5,6-8 40	5,6-8 0	$\Delta f [\text{Hz}]$
2. 0,518	395 201	415 211	329 167	235 119	113 57	84 42	31 15	0 15	0 0	$A_I = 3 \text{ mA}$
3. 0,291	483 140	506 146	328 95	319 92	275 79	295 85	162 46	67 46	67 19	$A_E = 3 \text{ mA}$
4. 0,129	417 50	390 46	298 25	550 66	413 49	435 52	341 52	269 40	269 44	$A_R = 1 \text{ V}$
5. 0,032	461 14	356 10	294 8	597 12	648 19	950 28	514 15	955 28	955 28	$I = 0,65 \text{ A}$
6. 0	369 0	392 0	460 0	674 0	701 0	1243 0	430 0	1598 0	1598 0	$x_{0E} = 2,63 \text{ mm}$
7. 0,032	339 10	349 10	255 7	717 21	548 16	1660 31	439 31	940 13	940 28	$\hat{x}^2 = 13,19$
8. 0,129	402 48	456 54	350 42	361 43	492 59	528 62	381 45	349 45	349 41	mm^2
9. 0,291	361 105	486 140	254 23	199 52	170 49	313 90	120 34	55 34	55 11	$\hat{x}_{0Ec} = 5,13 \text{ mm}$
10. 0,518	406 202	321 162	388 197	290 142	150 74	130 76	65 66	3 33	3 1	
11. 0,810	235 190	253 204	176 142	74 59	35 28	36 29	14 29	0 11	0 0	

-/-

12.	1,04	388	200	83	86	82	50	52	6	6	16	0	0
13.	1,04	384	224	100	36	48	0	0	18	0	18	0	0
$\Sigma n_j'$		4806	4581	3543	4260	3721	5115	2571			4329		
$\Sigma n'_j$		1890	1612	1140	845	596	516	318			172		
$\kappa \left(\frac{\text{mm}}{\text{sec}^2} \right)$		0,414	1,312	0,414	0,414	0,414	0,414	0,414			0,1312		
f.		0,13	0,35	0,65	0,9	1	1	1			1		
$\Delta \ddot{x}_i' [\text{mm}']$	6,90	4,91	1,30	0,039	0,02	0,017	0,0012	0,0036					
$\Delta \ddot{x}_{ie} [\text{mm}]$	3,71	3,13	1,61	0,28	0,23	0,18	0,06	0,03					
$\omega(\omega) [\text{mm}^2/\text{sec}^2]$	5,22	2,69	0,51	0,009	0,003	0,001	0,0001	0,0001					

Tabelul 24. Vibrăriile măsurate cu traductorul 2z la $v = 100 \text{ km/h}$ (la întors)

Nr circular	u_j^2 [m^2]	n_j'	$\eta_j' \psi_j' [V]$			A^R [V]	Δf [Hz]
			0,1	0,3	1		
1. 0,10	0,5-0,71	0,71-1	1-1,4	1,4-2	2-2,8	2,8-4	4-5,6
2. 0,518	141	226	86	115	43	60	49
3. 0,291	251	331	242	305	257	46	42
4. 0,129	195	344	95	70	88	74	13
	23	41	327	312	467	266	361
	22		39	77	56	21	43
						223	26

-/-

5.	0,032	281	8	445	12	590	17	513	15	426	12	801	24	727	21	759	22	A ^R _{E=1} v
6.	0	522	0	460	0	885	0	607	0	655	0	1043	0	1019	0	1423	0	I=0,65 v
7.	0,032	346	10	473	14	538	16	471	14	526	15	867	15	26	23	834	25	x _{0E} =2,63 mm
8.	0,129	206	24	357	42	383	45	427	51	386	46	350	46	42	42	229	27	x ² =57,85 mm ²
9.	0,291	208	60	312	90	146	42	283	82	245	94	27	27	29	25	2		
10.	0,518	257	131	274	131	139	66	118	60	188	2	92	1	33	6	3		
11.	0,810	171	0	128	0	0	0	86	69	59	0	47	0	12	10	9		
12.	1,04	70	0	72	0	0	0	146	46	46	0	42	0	11	72	8		
13.	1,04	58	60	0	0	0	0	138	143	34	0	35	0	12	20	20		
$\Sigma n_j^i u_j$		2947	3222	3328	3657	3522	3471	3657	3625									
k [$\frac{mm^2}{N}$]		864	549	358	876	634	165	289	225									
f		1,312	4,15	4,15	1,312	1,312	1,312	1,312	0,415									
$\Delta \tilde{x}_i^* [mm^{-1}]$		0,13	0,35	0,65	0,9	1	1	1	1									
$\Delta \dot{x}_{ext} [mm]$		29	23,9	4,07	0,48	0,30	0,08	0,01	0,01									
$\Delta \ddot{x}_{ext} [mm^2]$		7,68	6,91	2,85	0,98	0,78	0,40	0,16	0,14									
$\sqrt{\omega} [mm^{2,ext}]$		21,9	13,12	1,6	0,12	0,05	0,009	0,009	0,0006									

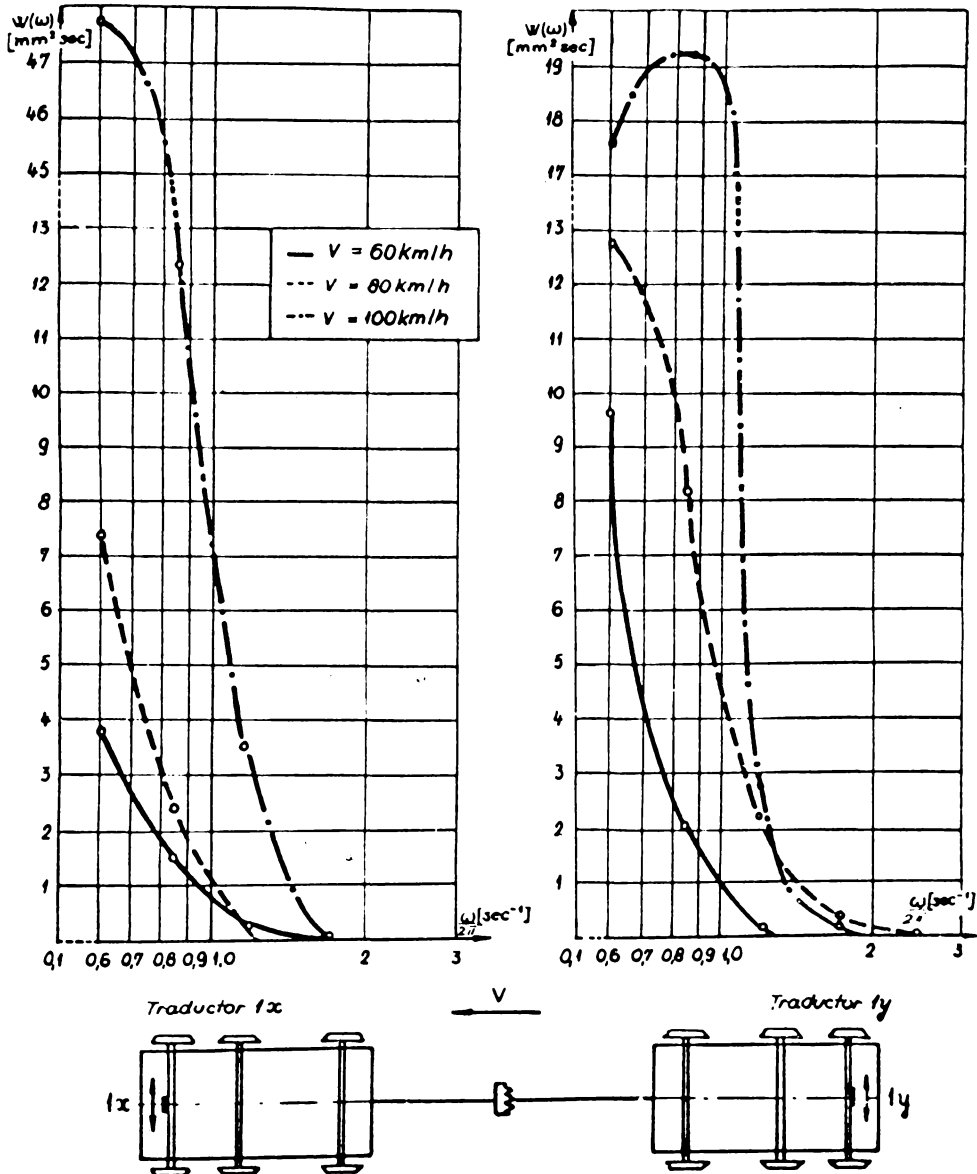


Fig. 67

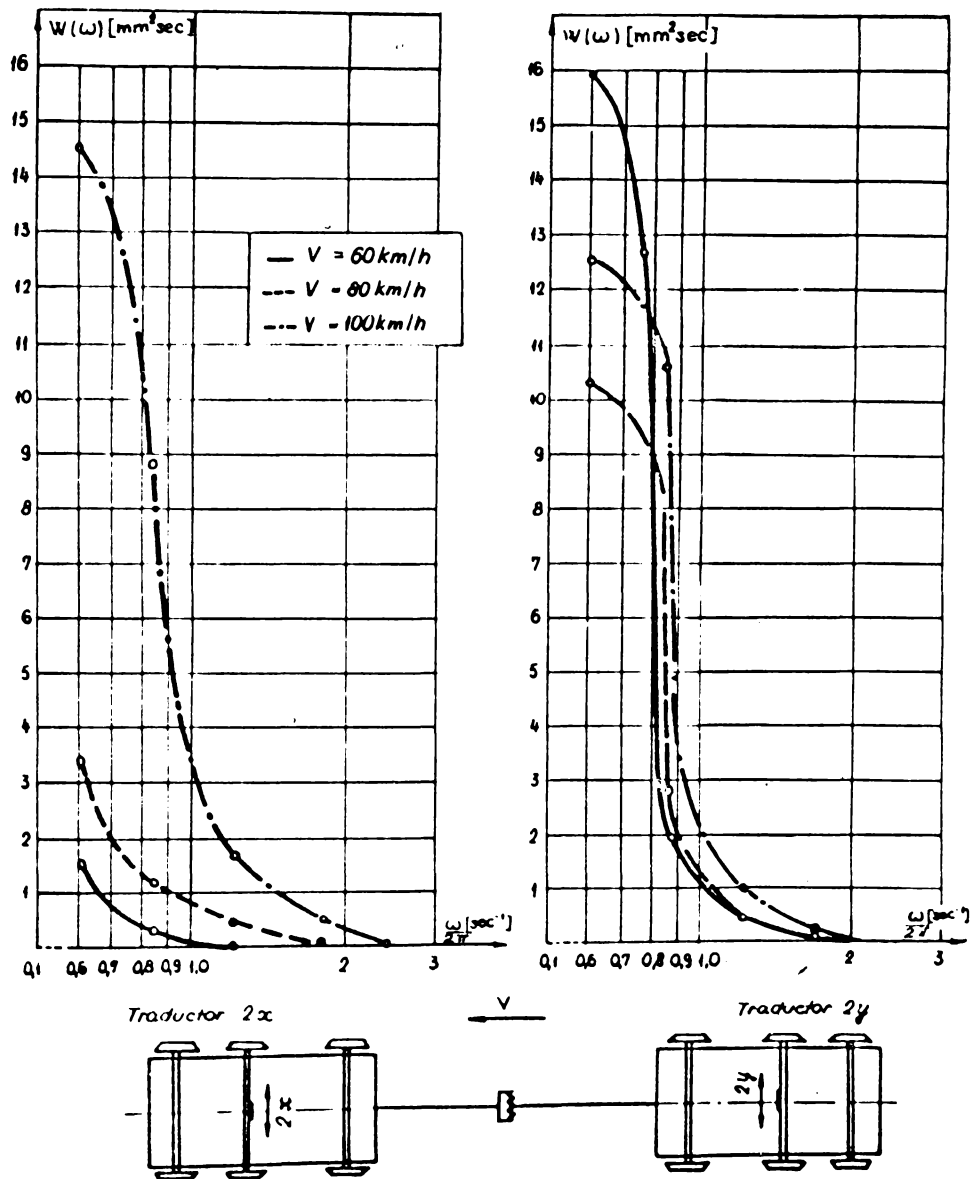


Fig 6.8

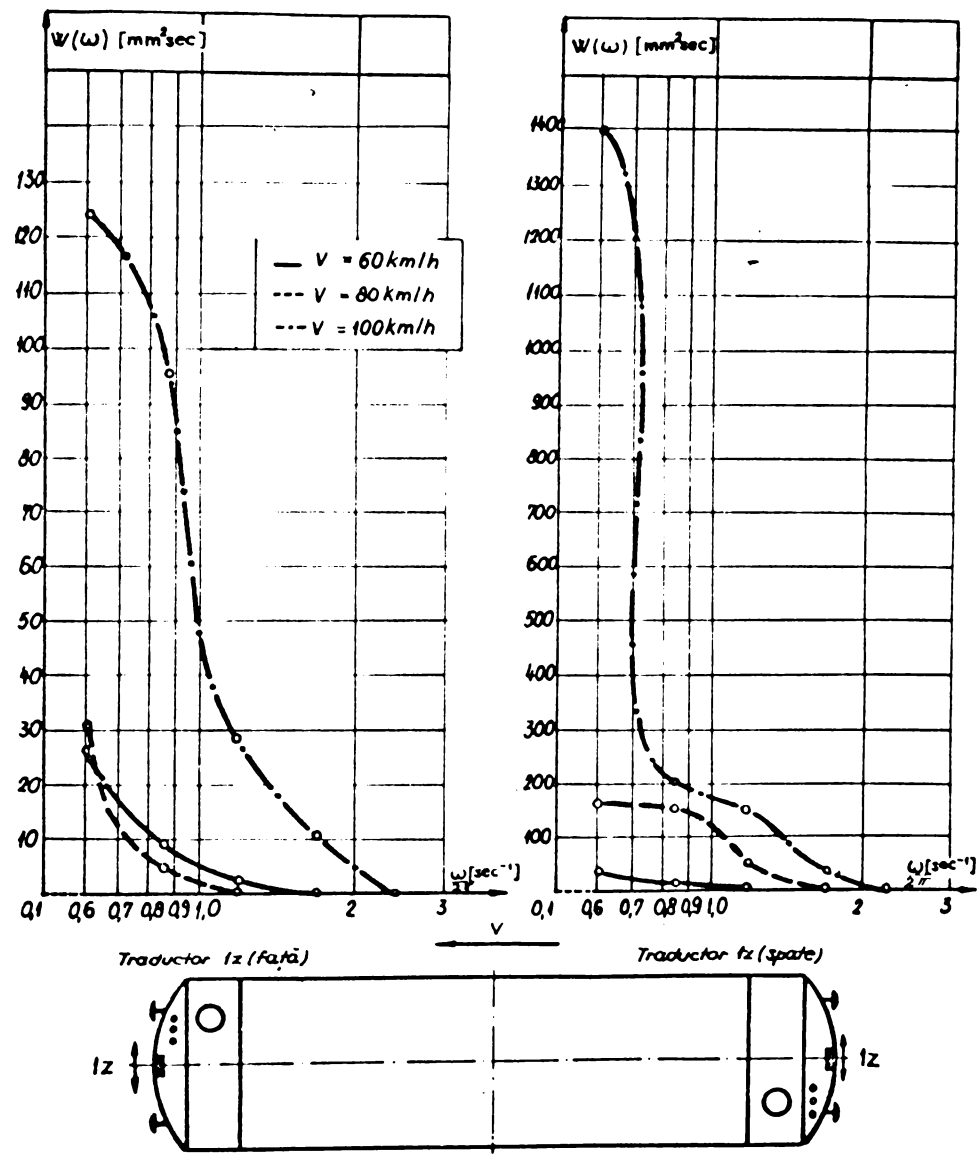


Fig. 6.9

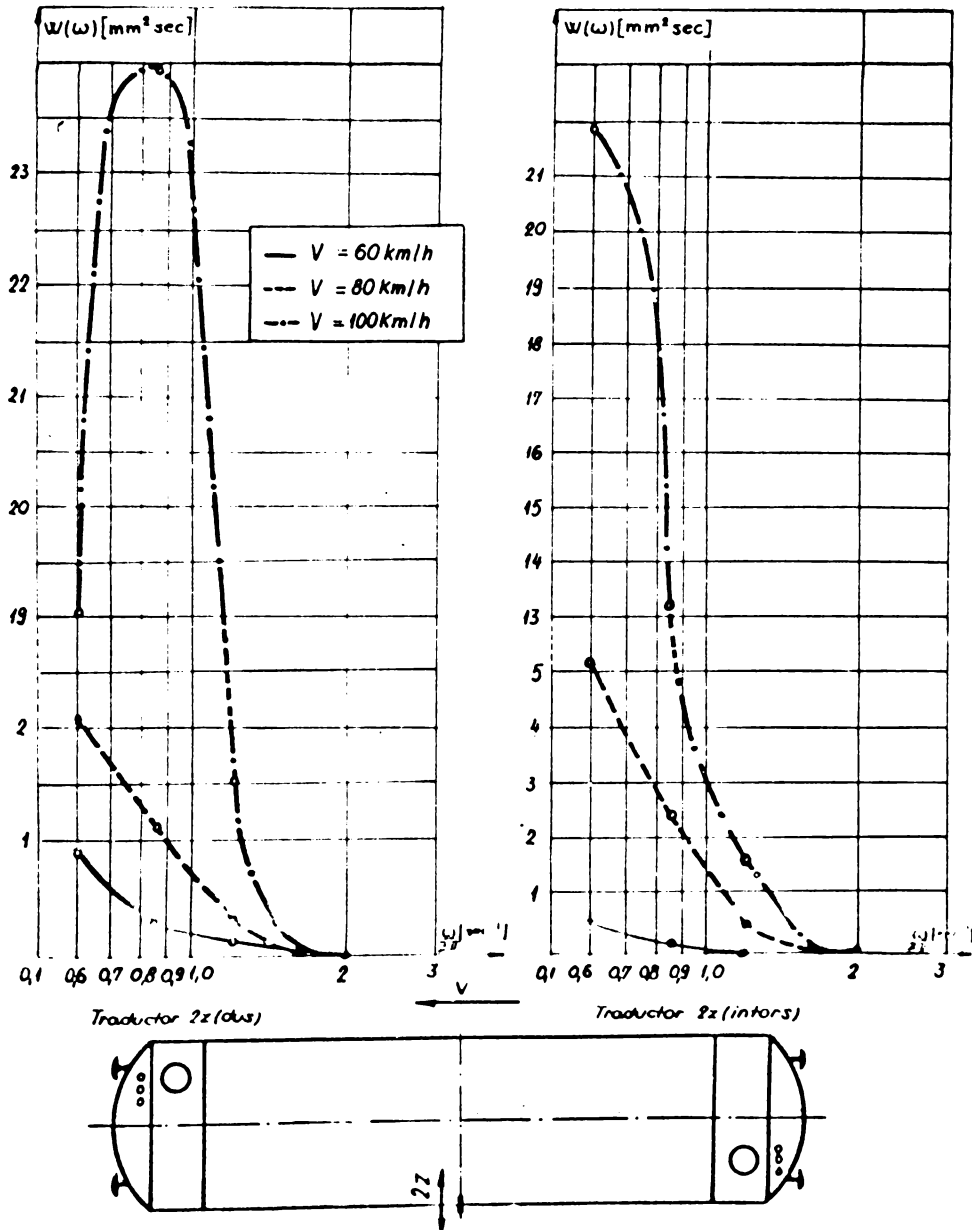


Fig. E 10

6.6. Compararea rezultatelor teoretice cu cele experimentale.

Pentru a verifica concordanța dintre rezultatele obținute teoretic folosind modelul mecanic ales, cu rezultatele experimentale, se compară între ele domeniile de frecvențe, cît și nivelele de vibrații.

Din diagramele (6.7 - 6.10) rezultă că structura vibrează în banda de frecvențe $(0,5 + 2)$ [Hz] care se suprapune peste banda frecvențelor proprii obținute teoretic, tabelul (25).

Tabelul 25

	1	2	3	4	5	6	7	8	9
f_1 [Hz]	0,59	1,51	1,51	1,62	1,62	3,1	4,15	4,15	6,20

Preponderente fiind frecvențele din vecinătatea primei frecvențe proprii $0,59$ [Hz]. Aceasta confirmă faptul că structura este auto-excitată prin intermediul vitezei de înaintare.

Pentru confruntarea nivelelor de vibrații s-a întocmit tabelul sinoptic, tabelul (26), în care se dău atât valorile mediei pătratice \bar{x}_o^2 , cît și a amplitudinilor de vîrf echivalente \bar{x}_{oEo} , obținute teoretic și experimental.

Din tabel rezultă că pentru boghiu cele două mărimi caracteristice sunt foarte apropiate. Valorile experimentale depășind pe cele teoretice cu pînă la 5 %, ceea ce confirmă că atît modelul mecanic, cît și condițiile inițiale pentru integrarea sistemului de ecuații, au fost corect alese.

În ce privește cutia locomotivei, condițiile inițiale pentru integrarea sistemului de ecuații diferențiale s-au luat la limitele constructive ale locomotivei, pentru a vedea care sunt ac-

licitările maxime. Cutia locomotivei nu vibrează însă cu aceste elongații, ci cu unele mult mai mici, ceea ce rezultă și din diagramele mișcării (5.10-5.12) care, trase pe un interval de 8 sec au caracter de vibrații amortizate deși structura este excitată continuu.

Tabelul 26

Boghiu	Traductor	$v = 80 \text{ km/h}$				$v = 100 \text{ km/h}$			
		$\ddot{x}^2 [\text{mm}^2]$		$\dot{x}_{OEc} [\text{mm}]$		$\ddot{x}^2 [\text{mm}^2]$		$\dot{x}_{OEc} [\text{mm}]$	
		teor.	exper.	teor.	exper.	teor.	exper.	teor.	exper.
	1x	15,59	16,01	5,30	5,65	95,5	99,8	13,5	14,1
Boghiu	ly	39,21	41,1	8,76	9,06	63,3	66,2	10,91	11,51
	2x	10,2	10,76	4,51	4,63	40,2	42,2	8,85	9,18
	2y	18,6	19,39	5,91	6,22	29,2	30,91	7,42	7,86
Cutie	1z	54,2	50,09	10,6	10,0	480,3	454,6	32,7	30,15
	2z	6,3	5,8	3,6	3,4	80,2	74,59	13,3	12,21

Astfel, pentru calculul teoretic al mediei pătratice și a amplitudinilor de vîrf echivalente, s-a luat din diagrama mișcării numai acel eșantion care are un caracter staționar. Diferențele între valorile teoretice și cele experimentale pentru cele două mărimi caracteristice sunt de pînă la 8 %, ceea ce confirmă din nou justitatea alegării modelului mecanic.

Aceste diferențe între mărimile calculate teoretic și experimental pentru cutie și boghiuri, se explică prin imprecizia alegării unor parametri de calcul, a ipotezelor de calcul adoptate, cît și a erorilor de calcul a mașinilor electronice.

Din figurile (6.7 - 6.10) se mai constată că nivelele de vibrații ale boghiului din spate și a parții din spate a cutiei sunt mai mari, lucru ce este confirmat și de rezultatele teorice.

ce fig.(5.13 - 5.14).

In concluzie, se poate spune că din calculul celor două mărimi caracteristice, pentru $v = 80$ și 100 km/h calculate teoretic și experimental, reiese că modelul mecanic a fost bine ales, iar sistemul de ecuații diferențiale descrie corect vibrațiile laterale ale locomotivei. Acest lucru permite utilizarea modelului mecanic și a sistemului de ecuații, pentru studiul comportării locomotivei și la alte viteze de circulație.

CONCLUZII GENERALE.

Locomotiva diesel-electrică 060 D.A. utilizată la remorcarea trenurilor de marfă și de persoane, este o construcție mecanică ce se doarbește esențial din punct de vedere al suspensiei, de alte asemenea locomotive. Astfel, studiul dinamicii ei laterale se impune ca o necesitate, pentru a pune la îndemîna proiectanților date și concluzii asupra comportării ei dinamice, în vederea sporirii vitezei de înaintare, siguranța circulației și asigurarea unui mers silentios.

In acest sens lucrarea de față, este un început în acest domeniu, în care autorul a stabilit un model mecanic al locomotivei asupra căruia a făcut studii teoretice, care apoi au fost confruntate cu cercetările experimentale făcute direct pe locomotivă în condiții de exploatare.

Din studiile teoretice și experimentale efectuate, rezultă următoarele concluzii mai importante:

1.- Din confruntarea rezultatelor teoretice cu cele experimentale, rezultă că modelul mecanic ales în baza ipotezelor de calcul adoptate, este corespunzător.

2.- Folosind acest model mecanic, în lucrare s-au stabilit ecuațiile diferențiale care descriu vibrațiile laterale ale locomotivei, acestea formând un sistem de nouă ecuații diferențiale neliniare, cuplate între ele prin cuplaje elastice și inertiale. Pentru acest sistem de ecuații s-a întocmit un program de rezolvarea lor la mașina electronică de calcul.

3.- Pentru a vedea influența conicității bandajului în funcție de viteza de înaintare a locomotivei, asupra vibrațiilor ei laterale, s-a integrat sistemul de ecuații în ipoteza că forțele de frecare nu există, pentru următoarele valori date parametrilor: $\mu = \frac{1}{10}, \frac{1}{20}, \frac{1}{25}$ și $v = 10-150$ km/h.

Din analiza acestor rezultate a reieșit că vibrațiile laterale ale locomotivei reprezintă o sumă de mișcări aperiodice și vibrații amortizate cu pulsații diferite, de unde rezultă concluzia că locomotiva ca o construcție mecanică ideală, este stabilă întotdeauna, în afară de cazul cînd $\mu = \frac{1}{15}$ și $v = 140, 150$ km/h.

4.- Din aceleași rezultate, rezultă că pentru mișcările aperiodice factorul de amortizare scade cu creșterea conicității bandajului cît și cu creșterea vitezei de înaintare a locomotivei. Pentru celelalte mișcări vibratorii, atîn factorul de amortizare cît și pulsațiile vibrațiilor, cresc în general odată cu creșterea acestor parametrii.

5.- Prin integrarea sistemului general de ecuații diferențiale s-a constatat că viteza de înaintare a locomotivei are o influență mică asupra amplitudinilor vibrațiilor cutiei, iar amplitudinile vibrațiilor de deplasare laterală și de șerpuire a bighiurilor, cresc odată cu creșterea vitezei.

6.- În ce privesc forțele conducătoare de la buza bandajului, cele corespunzătoare osiilor montate la cel de al doilea boghiu prezintă o variație mai mare funcție de viteză, față de cele corespunzătoare primului boghiu. De aceea forța conducătoare corespunzătoare primei osii montate de la primul boghiu nu este determinantă la aprecierea dinamicii

laterale a locomotivei diesel - electrică 060 D.A.

7. - Măsurătorile au fost efectuate direct pe locomotivă și rezultatele prelucrate în laboratorul de vibrații al Catedrei de mecanică și rezistență materialelor de la Institutul politehnic "Traian Vuia" din Timișoara, cu o aparatură electronică la nivelul tehnicii mondiale.

Drept criteriu de comparație, s-au luat domeniile de frecvențe și nivelele de vibrații calculate teoretic și experimental și s-a observat că aceste mărimi sunt foarte apropiate, ceea ce confirmă că modelul mecanic a fost corect ales.

8. - Din analiza rezultatelor obținute teoretic și experimental pentru valoarea medie a pătraticelor și a amplitudinilor de vîrf echivalente la $v = 80$ și 100 km/h, rezultă că modelul mecanic a fost bine ales, iar sistemul de ecuații diferențiale descriu corect vibrațiile laterale ale locomotivei. Acest lucru permite utilizarea modelului mecanic și a sistemului de ecuații, pentru studiul comportării locomotivei și la alte viteze de circulație.

B i b l i o g r a f i e

1. Abaskin V.V., Graceva L.O., Pavlov I.V.: Osobenosti hodovih svoistv telejek gruzovih vagonov s odnim sfericесkim rolikovim podсipnikom v bukse. "Vestnik" V.N. I.I.J.T. Nr.7 Moskva 1958.
2. Atanasiu Mihail : Probleme de mecanică tehnică. Editura didactică și pedagogică. București 1960.
3. Atanasiu Mihail : Medanica tehnică. Editura tehnică. București 1969.
4. Barseneva L.N. : Vliianie raspredelenia sumarnovo staticoskovo proghiba na vertikalnje podvegivania kandatskaia dizertația, V.N.I.I.J.T. Moskva 1962.
5. Barteneva L.I. : Vliianie raspredelenia sumarnovo staticeskovo proghiba na vertikalnje kolebaniia jeleznodorojnih ekipajei. "Vestnik" V.N.I.I.J.T. Nr.2 Moskva 1962
6. Baránszky Jób Imre : Vasúti kocsai kézikönyv. Műszaki könyvkiadó, Budapest 1967.
7. Bălan Stefan : Lectii complementare de mecanică teoretică. Editura didactică și pedagogică. București 1969.
8. Biriukov I.V., Matveevic A.P., Ríbnikov E.K., Fedunin I.P. Opredelenie pokazatelia plavnosti hoda pri issledovanii dinamiki podvijnovo sostava. "Trudi" M.I. I.J.T. vyp 250 Moskva 1967
9. Biriukov I.V., Mateevic A.P. : Modelirovanie vertikalnoi dinamiki motornovo vagona elektropoezda E.R.2 na analogovih elektronikh včislitelnih mašinah. "Trudi" M.I.I.T. vyp 207 Moskva.
10. Biriukov I.V., Matveevic A.P. : Vliianie bukovih frikcionnih gasitelei na kolebaniia motornogo vagona elektropoezda C.R.2 s uvelicennim staticeskim proghibom resornogo podnešivaniia. "Trudi" M.I.I.J.T. vyp 250 Moskva 1967.

11. Bîrsan Ion : Contribuții la studiul circulației în curbă a locomotivelor cu boghiuri articulate. Teză de doctorat. Institutul politehnic Timișoara 1963
12. Bogoliubov N.N., Mitropolskii I.A. : Asimptoticeskie metodî v teorii nelineinîh kolebanii. Gosudarstvennoe izdatelstvo fiziko-matematicheskoi literaturî. Moskva 1963.
13. Böhm F. : Der Einfluss der Zugkraft auf die Fahrstabilität und Fahrlage einer Drehgestell - Lokomotive in der Geraden sowie in der Kurve. Ingenieur - Archiv. Springer - Verlag. Berlin/Heidelberg/New York 38 Baud 1969
14. Botez C., Eganu L. : Căile ferate române înainte și după desăvîrșirea unității naționale (1900 - 1918 și 1919 - 1928). Revista Căilor Ferate nr.7 București 1969.
15. Burada Cornel, Ionescu Gheorghe : Roți, osii și osii montate pentru vagoane. Centrul de documentare și publicații tehnice a Ministerului Căilor Ferate, București 1969.
16. Celnokov I.I. : Kolobanila vagonov imoiuгоih dvoinoe uprugoo podvergivanie. "Trudî" L.I.I.J.T. vîp 235. Izdatelstvo "Transport" Moskva 1969.
17. Celnokov I.I. : Gasitelii kolebanii vagonov. Vsesoiuznoe izdatelsko - poligraficeskoe obedinenie Ministerstva putei soobșchenia Moskva 1963.
18. Dlugaci L.A. : O primenenii cebîșevskoi approksimatiî k voprosam ustocivosti. "Trudî" D.I.I.J.T.vîp 55 Dnepropetrovsk 1964.
19. Dlugaci L.A. : O primenenii cebîșevskikh pribljenii k voprosam nelineinîh kolebanii. "Trudî" D.I.I.J.T.vîp. 50. Dnepropetrovsk 1964.
20. Dlugaci L.A. : Gorodutkaia T.L. : Bokovîe kolebaniia vagona pri nelineinîh silah psevdoskolijeniiia."Trudî" D.I.I.J.T. vîp.50 Dnepropetrovsk 1964.
21. Dlugaci S.A. : Vîbor parametrov vibratoria prodolinovo deitviia dlia razgruzki poluvagonov. "Vestnik" V.N.

I.I.J.T. Nr.7 Moskva 1965

22. Dlugaci L.A., Gorodetkaia T.L. : Vlijanie nelineinih sil psevgeskolijeniia na ciastotî i ustaicivosti bokovih kolebanii wagona "Trudî" D.I.I.J.T. vîp.55 Dnepropetrovsk 1965
23. Dolmatov A.A. : Novîe dannîe o dinamiceskoi ustaicivosti bokovih kolebanii wagonov. "Vestnik" V.N.I.I.J.T. nr.8. Moskva 1960.
24. Doronin I.S. : Vlijanie elementov tentralnovo podvesivaniia na bokovie kolebaniiia pasajirskovo wagona "Vestnik" V.N.I.I.J.T. Nr.3 Moskva 1964.
25. Doronin I.S. : Parametricheskie kolebaniiia kuzova passajirskovo wagona "Vestnik" V.N.I.I.J.T. Nr.4 Moskva 1969.
26. Drăghici I., Ivan M., Kremer St. s.a. : Suspensii și amortizare. Editura tehnică. București 1970.
27. Evstafiev B.S., Husidov V.L. : Issledovanie vertikalinoi dinamikivosmiosnih wagonov. "Trudî" M.I.I.J.T. vîp. 283. Izdatelstvo "Transport" Moskva 1968.
28. Frederick F. Kraftschlussdeanspruchungen am schräglollenden Schienenfahrzengrad. Clasers Annalen, zeitschrift für Eisenbahnwesen und Verkehrstechnik nr.2/3 Berlin 1970.
29. Gamirov V.I. : Vlijanie bokovoi kaciki poluwagonov na procnosti skvarnevovo uzla. "Vestnik" V.N.I.I.J.T. nr. 2 Moskva 1965.
30. Gligor Traian, Ursu C., Uroșu D.: Influența unor parametri ai suspensiei elastice, asupra vibrațiilor laterale la locomotivele Diesel - electrice 060 D.A. letinul științific și tehnic al Institutului pol. tehnic din Timișoara. vol.ii 1970.
31. Gligor Traian,: Stabilirea ecuațiilor diferențiale ale vibrațiilor laterale ale locomotivei Diesel-electrice 060 D.A. de 2.100 C.P.Revista Cailor Ferate Nr.8 București 1971.
32. Gligor Traian,: Influența conicității bândajului și a forțelor de pseudosilunecare asupra vibrațiilor laterale ale locomotivei Diesel - electrice 060 D.A. ..

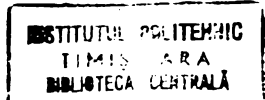
- 2.100 C.P. Revista Căilor Ferate Nr.1 Bucureşti 1972
33. Gligor Traian : Influenţa unor parametrii ai suspensiei elastice asupra pulsăriilor vibrăriilor laterale ale locomotivei diesel - electrice 060 D.A. de 2.100 C.P. Revista Căilor Ferate Nr.12, Bucureşti 1971.
34. Gent L., Janin C.: La qualité de la voire ferrée. Revue Générale des Chemins de fer. Décembre 1969.
35. Graceva L.O.: Vzaimodeistvie vagonov i jeleznovo - rojnovu puti "Trudî" T.N.I.I. - M.P.S. vîp.356 Moskva 1968.
36. Grigoriev E.T., Kravcenko A.I., Nesterov S.D.: O poperecini uprughih sviaziah među telejkami elektrovozov. "Vestnik" B.N.I.I.J.T. Nr.8 Moskva 1959.
37. Hanburger L., Buzdugan Gh.: Teoria vibrăriilor și aplicațiile ei în construcția mașinilor. Editura tehnică, București 1958.
38. Herbert John : Eigenfrequenzberechnung für die Wankbewegung eines Kraftfahrzeuges. Wissenschaftliche Zeitschrift der Technischen Universität Dresden. Jahrgang 17, 1968 Heft 5.
39. Herbert John : Berechnung von Fahrzeugeigenfrequenzen. Wissenschaftliche Zeitschrift der Technischen Universität Dresden. Jahrgang 17, 1968 Heft.5.
40. Herbert John : Näherungsweise Berechnung der Eigenfrequenzen von Kraftfahrzeugachsen. Wissenschaftliche Zeitschrift der Technischen Universität Dresden. Jahrgang 17, 1968 Heft.5.
41. Hohlov A.A.: Issledovanie gorizontálnyh kolebanii vosmiosnîh vagonov. "Trudî" M.I.I.J.T. vîp.283. Izdatelstvo "Transport", Moskva 1968.
42. Husidov V.D.: Issledovanie dinamiki vosmiosnîh vagonov. "Vestni V.N.I.I.J.T. Nr.2, Moskva 1968
43. Hvostik G.S.: Sili voznikaiuscie v puti s uveliceniem evo jaz kosti. "Vestnik" V.N.I.I.J.T. Nr.7, Moskva 1968.
44. Iakovlev G.N.: Primenenie metoda poromennovo maştaba k zadani o vzaimodeistvii odinocchovo dvijušciegosia lokomotiva s kročinim proletinim stroeniem. "Trudî" D.I.I.J.T. vîp.56 Dnepropetrovsk 1966.

45. Iakovlev G.N.: Bokovie kolebaniia vagonov na arocinih proletnih stroeniiyah. "Trud" D.I.I.J.T. vyp.56, Dnepropetrovsk 1966.
46. Iakovlev V.F., Semenov I.I.: Vzaimodeistvie puti i podvijnico sastava pri sovpadenii neravnosti na koleso i relse. "Vestnik" V.N.I.I.J.T. Nr.2 Moskva 1968.
47. Irimiciu N.: Mecanica. Editura didactică și pedagogică. București 1965.
48. Isaeva I.P.: Issledovanie bokovih kolebanii elektropoezda v zavisimosti ot izmereniiia konusnosti bandaja. "Trud" M.I.I.J.T. vyp.121 Moskva 1960.
49. x x x Indrumător de exploatare și întreținere a locomotivei Diesel - electrice 060 D.A. de 2100 C.P. Ed. Ministerul Căilor Ferate. București 1968.
50. Jindra F.: Lateral Oscillations of Trailer Trains. In Ingenieur - Archiv. Oct.1964.
51. Kaliianov V.I.: Koefficienti otnositelinovo dempf irovaniia vertikalnih kolebanii lokomotivov. "Vestnik" V.N. I.I.J.T. Nr.4 Moskva 1964.
52. Kaliianov V.I.: Gasenie Vertikalnih kolebanii lokomotivov ghidrodempferami. "Vestnik" V.N.I.I.J.T. Nr.2. Moskva 1965.
53. Kauderer Hans : Nichtlineare Mechanik. Springer - Verlag. Berlin - Göttingen - Heidelberg -1958.
54. Kovalev N.A.: Bakovie kolebaniia podvijnovo sostava. Transjelzdrizdat. Moskva 1957.
55. Kogan B.I.: Elektronie modeliruiuscie ustroistva i ih primenenie dlia issledovaniia sistem, avtomaticheskovo regulirovaniia. M.,gos.izd.Fiziko-Matematicheskoi literaturi. Moskva 1959.
56. Kovalev N.A.: O vliianii uprugosti kolesnoi sistemi na ustoinost priamoluncinovo dvijunila resučovo okipnja. "Izvestija Akademii nauk S.S.R." Mehanika i mašinostroenie Nr.2 Moskva 1959.
57. Kogan B.I.: Elektronie modeliruiuscie ustroistva i ih primenenie dlia issledovaniia sistem avtomaticheskovo regulirovaniia. M.,gos.izd.Fiziko-Matematicheskoi literaturi.

- teraturi. Moskva 1963.
58. Kogan A.Ia.: Vertikalinie dinamiceskie sili, deistvuiuycie na puti. "Trudî" T.H.I.I.- M.P.S. vîp 402, Izdatelstvo "Transport" Moskva 1969.
59. Kraghelski I.V., Vinogradova I.E.: Koefficienti treniia. Masghiz., Moskva 1962.
60. Kretter O.: Das Schwingungsverhalten von triebfahrzengen bei regellaser Eraegung. Arch.Eisenbahntechn.nr. 23 - 1968.
61. Kudriavtsev N.N.: Opredelenie vozmuščaiuycih funkcií dlia issledovaniia kolebaniia vagona "Vestnik" V.N.I.I. J.T. Nr.3 Moskva 1964.
62. Krivoruciko N.M.: Issledovanie na elektronîh modeliruiuycih masinah bokovo voizdeistviia elektrovoza na puti v priamîh uciastkah puti. "Trudî" M.I.I.J.T. vîp. 25o Moskva 1966.
63. Krivoruciko N.M.: Bokovoe vozdeistvie elektrovoza na put v preamîh uceastkah puti. "Trudî" M.I.I.J.T. vîp. 25o. Moskva 1967.
64. Krivoruciko N.M.: Vlijanie uprugovo socileneniia telejek na bokovoe vozdeistvie elektrovoza na put v priamîh uceastkah puti. "Trudî" M.I.I.J.T. vîp.25o, Moskva 1967.
65. Kudriavtsev N.N., Kulagin M.N., Ivontik G.S.: Novye issledovaniia v oblasti dinamiki neobressorenîh mass podvijnovo sostava. "Vestnik" V.N.I.I.J.T. Nr.1 Moskva 1968.
66. Lazarian B.A.: Dinamika wagonov. Transport Moskva 1964.
67. Lazarian V.A., Uskalov V.F.: Kolebaniia podresornîh ciastei gruzovîh wagonov. "Voprosi dinamiki podvijnovo sostava i primenenia matematiseskikh masin" D.I.I.J.T. vîp 55. Dnepropetrovsk 1965.
68. Lazarian V.A., Barbas I.G., Bodianov P.S.: Analiticoskoe issledovanie ustojivosti dvijeniia sebneocistiteliînoi masini. "Trudî" D.I.I.J.T. vîp.55. Dnepropetr. 1966.
69. Lehrer S., Enăchescu A.: Realizări și perspective în fabric

- ția de locomotive Diesel - electrice și electrice.
"Electrotehnica" iulie - august. București 1969.
70. Livov A.A.: Ustoicivosti dvijeniia vosmiosnovo poluvagona.
"Trudî" M.N.I.I.J.T. vîp.296 Moskva 1965.
71. Livov A.A., Muzîkin V.A.: Dinamika cetîrchosnovo poluvagona
pri nesimetricinom evo nagrujenii. "Vestnik" V.N.I.
I.J.T. Nr.4 Moskva 1965.
72. Livov A.A.: Dinamika cetîrchosnovo vagona na dvuhosnîh telej-
kah s nadbuksovîh podvešivaniem. "Trudî" B.N.I.I.J.
T. vîp.347 Moskva 1967.
73. Livov A.A.: Rezultati issledovanii usticivosti dvijeniia
gruzovîh vagonov na telejkah s țentralnîm podveši-
vaniem. "Trudî" B.N.I.I.J.T. vîp.347 Moskva 1967.
74. Livov A.A.: Dinamika vosmiosnovo transporteru pri nesimetrici-
nom razmejchenii gruza. "Vestnik" V.N.I.I.J.T. Nr.2,
Moskva 1968.
75. Livov A.A., Romen I.S.: Ustoicivosti dvijeniia șestiosnîh va-
gonov na telejkah s țentralinîm resornîm podvešiva-
niem. "Trudî" V.N.I.I.J.T. vîp.385, Izdatelstvo
"Transport" Moskva 1969.
76. Livov A.A., ș.a.: Dinamika vagonov elektropoezdov E.P.22 i
E.P.200 na telejkah s pnevmaticheskim podvešivaniem
"Trudî" T.N.I.I. - M.P.S. vîp. 417 Izdatelstvo
"Transport", Moskva 1970.
77. Logvin A.F.: Vlianie neravnostei puti v plane na silî vzai-
modeistviia puti i podvijnovo sostava v prijumîh.
"Vestnik" V.N.I.I.J.T. Nr.3, Moskva 1968.
78. Manoliu C.: Unele probleme actuale ale sporirii capacitatii
de transport a liniilor ferate. Revista Căilor Fer-
ate Nr.1 București 1969.
79. Mano K.: Stability region of the nonlinear hunting vibration
of railway vehicle truck. Quart.Ref.Rly.Tehn.Res.
Inst.9 (1968) nr.2.
80. Marino De Luca : Un modello matematico per lo studio della
stabilità di marcia transversale dei veicoli ferro-
viari alle alte velocità. Ingegneria ferroviaria..
Napoli 1969.

81. Matveevicov A.P., Ribnikov E.K.: Issledovanie bokovih kolebaniia motornovo vagona elektropoezda C.R.22 na analogovih vicisitelinih masinah. "Trudi" M.I.I.J.T.vip 25o Moskva 1967.
82. Matsui N., Arai S.: Vertical forced vibration of vehicle body and vertical wheel load diminuation due to tract irregularity. Quart. Ref.Rly.Techn.Res.Inst.9(1968)nr.3.
83. Mauzin M.A.: Résultats obtenus avec un nouveau type de bogie étudié par la S.N.C.F. Revue Générale des Chemins de fer. Janvier 1967.
84. Medel V.B.: Vileanie lokomotivov. "Transport" M.E.M.I.I.T. vip.55 Moskva 1948.
85. Medel V.B.: Podvijnoi sastav elektriceskikh geleznih dorog. ci l. Transjeldorizdat, Moskva 1950.
86. Medel V.B.: Podvijnoi sastav elektriceskikh geleznih dorog Ci l. Transjeldorizat, Moskva 1957.
87. Medel V.B.: Vzaomodeistvie elektrovoza i puti M.I.I.J.T. Moskva 1957.
88. Medel V.B.: Vibor optimalinih parametrov mehaniceskoi chasti elektrovozov. "Trudi" M.I.I.J.T. vip.lo3 Moskva 1958
89. Mihailov N.M.: Primenenie osnovnih polojenii teorii podobiia k modelirovaniyu dinamiceskikh protsessov elektrovozov "Trudi" M.I.I.J.T. vip.25o Moskva 1967.
90. Motinaga Josihiko : Pribor dlja avtomaticheskoi reghistratii kolebanii vagona. Tetudo Sanro 16(1968) nr.14.
91. Muller C.T.: Das Sehlingerproblem in der Sicht von Vergangenheit und Gegenwart. Glasers Annalen zeitschrift für Eisenbahnwesen und verkehrstechnik. Jahrgang 93. Heft 11. Berlin 1969.
92. Myyoshi K.: The variation of wheel load and the lateral force acting, on wheel caused by the car body vibration of two axled wagon. Quart.Ref.Rly.Techn.Res.Inst. 9(1968) nr.3.
93. Nekrasov A.I.: Curs de mecanică teoretică. Editura tehnică. Bucureşti 1955.



94. Nikolaev I.I.: Dinamika lokomotivov. Vsesoiuznoe Izdatelsko Poligraficeskoe Ob edinenie Ministerstva Putei Soobsceeniiia. Moskva 1962.
95. Nicolae Ionescu - Pallas : Introducere în mecanica teoretică modernă. Editura Academiei R.S.R. Bucureşti 1969.
96. Novikov L.A.: O vlianii otdelnih parametrov uprugovo podvesivaniia na bokovie kolebaniia vagonov. "Trudî" L. I.I.J.T. vîp.246. Leningrad 1965.
97. Novoselteva V.I.: Oprodelenie ceastot sobstvennih kolebanii podvijnovo sostava s ucetom sil veazkovo trevija. "Trudî" O.I.I.J.T. vîp.90, Omskii 1968.
98. Onicescu Octav : Mecanica. Editura tehnică. Bucureşti 1969.
99. Panovko I.G.: Osnovî prikladnoi teorii uprughih kolebanii. Maşghiz. Moskva 1957.
100. Panovko I.G.;Gubanova I.I.: Ustoicivost i kolebaniia uprughih sistem. "Nauka" Moskva 1967.
101. Pater A.D.: Le problème de l'enteraction entre la voire et le véhicule ferroviaire. Publications de Service de Mathématiques - Mecanique analytique, Bruxelbs 1971.
102. Plăcinteanu I.Ioan : Mecanica vectorială și analitică. Editura tehnică. Bucureşti 1958.
103. Ponomariov S.D.ş.a.: Calculul de rezistență în construcția de mașini. Editura tehnică. Bucureşti 1960.
104. Popov I.M.: Ciastotii sobstvennih kolebanii elektrovozov s dvuhstupenciatim uprughim podvesivaniem. "Vestnik" V.N.I.I.J.T. Nr.1 Moskva 1962.
105. Popa A., Neagu A., Chimu N.: Influența dieselizării tractiunii feroviare asupra indicilor tehnico-economici. Revista Căilor Ferate nr.12 Bucureşti 1970.
106. Popov A.V.: Vertikaliniye uskoreniiia podresornovo stroenii. lokomotivov i koeficient vertikalinoi dinamiki. "Vestnik" V.N.I.I.J.T. Nr.8, Moskva 1968.
107. Radzihovskaia E.F.: Svobodniye kolebaniia arok s nadurocinim stroeniem. "Trudî" D.I.I.J.T. vîp.55,Dnepropetrovsk 1965.
108. Răduci Marin, I.Papescu Burchi : Mecanică. Editura didactică și pedagogică. Bucureşti 1969.

109. Ripianu Andrei : Dinamica. Curs litografiat. Litografia învățămîntului. Cluj 1955.
110. Ripianu Andrei : Determinarea pulsăriilor proprii corespunzatoare vibrațiilor de torsiune a arborilor cotiți. Studii și cercetări de mecanică aplicată nr.4 București 1960.
111. Ripianu Andrei : Calculul vibrațiilor de torsiune ale arborilor cotiți. Revista Căilor Ferate nr.8 și 9. București 1960.
112. Ripianu Andrei : O nouă metodă pentru determinarea pulsăriilor proprii corespunzatoare vibrațiilor de torsiune ale arborilor cotiți de la motoarele omogene în linie. Bulet. St. al Inut. polit. nr.4 Cluj 1961.
113. Ripianu Andrei : Nouvelle méthode pour la détermination des pulsations propres correspondantes aux vibrations de torsion des arbres condés des moteurs homogènes en ligne. Acta Technica 41 nr.1 și 2 Budapest 1962.
114. Ripianu Andrei : Mîscările vibratorii ale arborilor drepti și cotiți. Editura Academiei R.S.R. București 1969.
115. Rîbnikov E.K. și Fedunin Iu.P.: Issledovanie gorizontálnoi dinamiki vagona podvesnoi monorelisovoi dorogi na analogovîh vîcislitelinîh mašinah. "Trudî" M.I.I.J.T. vîp.296 Izdatelstvo "Transport" Moskva 1968.
116. Romen I.S.: Vliyanie rasseivaniia energii v sisteme na harakter gorizontálnih kolebanii cetîrehosnîh gruzovîh wagonov. "Trudî" V.N.I.I.J.T. vîp.385 Izdatelstvo "Transport" Moskva 1969.
117. Romen I.S.: Issledovanie bokovovo vozdeistviia podvijnovogo sostava na puti s primeneniem elektronnyh vîcislitelinîh mašin. "Trudî" V.N.I.I.J.T. vîp.385 Izdatelstvo "Transport" Moskva 1969.
118. Savkin I.N.: Primenenie elektroanalagov dlia uskorenija analiza dinamiki lokomotivov. "Sbornik trudov" L.I.I.J.T. vîp.246 Leningradskovo 1966.
119. Savoskin A.N., Fedunin I.P.: Issledovanie vertikalinoi dinamiki motornovo vagona elektropodvozda E.R.22 "Trudî" M.I.I.J.T. vîp.250 Moskva 1967.

120. Savoskii A.N. i Fediunin Iu.P.: Issledovanie vertikalinoi dinamiki vagona podvesnoi monorelisovoi dorogi na analogovih viciislitelinih masinah. "Trudî" M.I.I.J. T. vîp.296 Izdatelistvo "Transport" Moskva 1968.
121. Sestakov V.N.: Oznacenii socilenenia telejek pri dvijenii elektrovoza v krivoi. "Vestnik".V.N.I.I.J.T. nr.4 Moskva 1956.
122. Sestakov V.N.: Opredelenie bokovih davlenii eleketrovozov i teplovozov s vozvrasciaiugcimi ustroistvami v krivih uciastkah puti. "Vestnik" V.N.I.I.J.T. Nr.4 Moskva 1959.
123. Semisajenova A.A.: Primenenie metoda elektromehanicskih analogii dlja issledovaniia vertikalinih kolebanii podvijnovo sostava. "Vestnik" V.N.I.I.J.T. Nr.8, Moskva 1959.
124. Silaș Gheorghe, Rădoi M., Brîndeu L., Klepp H., Hegedüs A.: Culegere de probleme de vibrații mecanice. Vol.I/II. Editura tehnică. București 1967/73.
125. Silag Gh.; Vibrații mecanice. Editura tehnică. București 1968.
126. Silaș Gh., Gligor Tr., Ursu C.: Influența unor parametrii ai suspensiei elastice asupra vibrațiilor verticale a locomotivei D.A. 060. Lucrările sesiunii științifice a Institutului de studii și cercetări în transporturi. București 23-25 oct.1969.
127. Silag Gh., Zăgănescu I., Gligor Tr., Ursu C.: Asupra dinamicii orizontale a locomotivei D.A.060. Lucrările sesiunii științifice a Institutului de studii și cercetări în transporturi. București 23-25 oct.1969.
128. Smirnov V.I.: Kurs vîssei matematiki. Gostchizdat Moskva 1954.
129. Soloviev K.M.: Issledovanie vliianiia sil uprugovo skoljeniya na bokovie kolebaniia eleketrovoza "Trudî" M.I.I.J.T. vîp.lo3 Moskva 1958.
130. Soloviev K.M.: Issledovanie vliianiia postoiannovo treniia na ustocivosti dvijeniiia eleketrovoza."Trudî" M.I.I.J.T. vîp.123 Moskva 1960.
131. Strelcov S.P.: Introducere în teoria oscilațiilor. Traducere din limbă rusă. Editura tehnică, București 1954.

132. Stoenescu A., Silag Gh.: Mecanica teoretică. Editura didactică și pedagogică. București 1963.
133. Sucikov V.V.: Issledovanie vozmojnosti snijeniiia gorizontali- noj dinamiki cetirehosnijh gruzovih vagonov pri povi- šenoj skorosti dvijenija. "Trudî" V.N.I.I.J.T. vîp. 3o7 Moskva 1965.
134. Survillo A.B.: Ustoicivosti priamolineinovo dvijenija relso- vovo ekipaja. "Vestnik" V.N.I.I.J.T. nr.3 Moskva 1964.
135. Survillo A.B.: Issledovanie gorizontalinoi dinamiki mnogoos- nîh gruzovih vagonov. "Trudî" V.N.I.I.J.T. vîp.3o7 Moskva 1965.
136. Suslov G.K.: Mecanica rațională. Editura tehnică. București 1950.
137. Tibilov T.A.: Merî borbi a vlianiem teplovozov na priamih uciastkah puti. "Vestnik" V.N.I.I.J.T. Nr.3 Moskva 1957.
138. Tighiliu M., Popovici E., Mihăilescu N.: Locomotive Diesel = construcția, calculul și reparația = Vol.I Editura Transporturilor și telecomunicațiilor. București 1963.
139. Tighiliu M., Popovici E., Mihăilescu N.: Locomotive Diesel vol.II. Editura transporturilor și telecomunicațiilor, București 1964.
140. Ursu Constantin : Dinamica materialului rulant de cale fer- tă. Litografia Inst.politehnic Timișoara, 1969.
141. Uskalov V.F.: Eksperimentalinoe opredelenie ciastot koleba- nii nadressornovo stroeniia cetirehosnijh poluvagónov Voprosi dinamiki podvijnovo sostava i primenenija ma- tematicheskikh maşin D.I.I.J.T. Dnepropetrovsk 1965.
142. Uskalov V.F., Tenenbaum E.M.: Opredelenie ciastot kolecanii vagonov po eksperimentalnim zaplaniam poluchenij... pri dinamiceskikh ispitaniish. Voprosi dinamiki pri vij novo sostava i primenenia matematicheskikh maşin... I.J.T. Dnepropetrovsk 1965.

143. Verigo M.F., Romen I.S.ș.a.: Vlijanie zazara v kolee na velici-nu bokovih sil pri vzaimodeistvii puti i podvijnovo sastava. "Trudî" V.N.I.I.J.T. vîp.385 Izdatelistvo "Transport" Moskva 1969.
144. Vîlcovici V., Bălan St., Voinea R.: Mecanica teoretică. Editura tehnica, Bucuresti 1959.
145. x x x Vlijanie jestkosti i neravnostei puti na deformații, vibrații i silî vzaimodeistviia evo elementov."Trudî" T.N.I.I.- M.P.S. vîp.370 Izdatelistvo "Transport" Moskva 1969.
146. Voinaroski R.: Mecanica Teoretică. Editura didactică și pedagogică, Bucuresti 1968.
147. Volasko I.D.: Issledovanie svobodnih kolebanii kolesa i relisa pri peremennoi jestkosti puti. "Trudî" D.I.I.J.T. vîp.55 Dnepropetrovsk 1965.
148. Zaharovici G.G.: Issledovanie kolebanii wagonu prirazgruske evo na inertionih mașinah. "Vestnik" V.N.I.I.J.T. nr.8 Moskva 1968.
149. Zăgănescu Ion : Calculul și construcția locomotivelor cu abur. Editura didactică și pedagogică. București 1964.
150. Zăgănescu Ion : Locomotive și automotoare cu motoare cu ardere internă. Editura didactică și pedagogică.București 1968
151. Zăgănescu I., Gligor Tr., Orgovici I., Ursu C.: Asupra înscrârii dinamice în curbe a locomotivelor Diesel - electrice de tip 060 D.A. Buletinul Științific și Tehnic al Inst. politehnic Timișoara Tom.14(28), fasc.1, ianuarie iulie 1969.
152. Zăgănescu I., Ursu C., Gligor Tr., Neguț N.: Studiul oscilațiilor orizontale ale locomotivelor Diesel - electrice de tip H-B Buletinul științific și Tehnic al Institutului politehnic Timișoara Tom.14(28) fasc.2 iulie-decembrie 1969.
153. Zolotarski A.F.ș.a.: Jeleznodorozhni puti i podvijnoci sastav dlja visokih skorostej dvijenija. "Transport" Moskva 1964.

154. Weber H.H.: Schnellers Befahren von engen Gleibogen durch elektrische Triebfahrzeuge unter spezieller Berücksichtigung der Kräfte zwischen Rad und Schiene. Glasers Annalen Zeitschrift für Eisenbahnwesen und Verkehrstechnik Berlin, Februar/März 1970.
155. Wickens A.H.: Neue Untersuchung über Querschwingungen an Eisenbahnfahrzeugen für hohe Geschwindigkeiten. Mschr. I.E.K.V. (Brüssel) Belgia 45 nr.4 1968.
156. Wickens A.H.: Progrès récents dans l'étude de la dynamique transversale des véhicules circulant à grande vitesse. Symposium des grandes vitesses. Vienne 1968.

C U P R I N S

<u>Prefață</u>	<u>Pag.</u>
I. <u>Introducere</u>	1
1.1. Scurt istoric	1
1.2. Descrierea locomotivei	4
1.3. Conținutul lucrării	9
II. <u>Modelul mecanic al locomotivei</u>	15
2.1. Stabilirea modelului mecanic	15
2.2. Cupla elastică transversală dintre boghiuri	18
2.3. Vibratiile laterale ale locomotivei	21
III. <u>Stabilirea forțelor ce acționează asupra locomotivei</u> 25 <u>în cazul vibratiilor laterale.</u>	25
3.1. Generalități	25
3.2. Determinarea forțelor de rapel datorită rotirii leagănelor cu susensori pendulari	26 28
3.3. Determinarea forțelor de alunecare elastică	28
3.4. Determinarea forțelor elastice ale șinelor, la contactul buzui bandajului cu gîna	34
IV. <u>Stabilirea ecuațiilor diferențiale ale vibratiilor</u> 37 <u>laterale.</u>	37
4.1. Generalități	37
4.2. Calculul energiei cinetice	37
4.3. Calculul energiei potențiale	44

	Pag.
4.4. Calculul forțelor generalizate	47
4.4.1. Forțele generalizate datorită forțelor de rotire a leagănelor	47
4.4.2. Forțele generalizate datorită forțelor de alunecare elastică	48
4.4.3. Forțele generalizate datorită compoziției forțelor greutăților	52
4.4.4. Forțele generalizate datorită forțelor de frecare	53
4.4.5. Forțele generalizate datorită forțelor elastice ale șinelor, la contactul buzei bandajului cu sina	58
4.5. Stabilirea ecuațiilor diferențiale ale vibrațiilor laterale.	59
 V. Studiul vibrațiilor laterale ale locomotivei diesel-electrice 060 D.A. de 2.100 C.P.	 70
5.1. Generalități	70
5.2. Influența unor parametri ai suspensiei elastice asupra vibrațiilor laterale ale locomotivei	71
5.3. Influența contactării bandajului și a forțelor de alunecare elastică, asupra vibrațiilor laterale ale locomotivei	83
5.4. Integrarea ecuațiilor diferențiale ale vibrațiilor laterale ale locomotivei	98
5.5. Determinarea forțelor de interacțiune dintre roată și șină la mersul în aliniament al locomotivei	113

	Pág.
<u>VI. Verificări experimentale</u>	123
6.1. Schema bloc a instalației electrice de înregistrire a vibrațiilor laterale	123
6.2. Schema bloc a instalației electronice folosită la prelucrarea vibrațiilor înregistrate pe bandă magnetică	126
6.3. Caracteristicile aparatelor folosite	128
6.4. Calibrarea aparatelor	130
6.5. Evaluarea rezultatelor experimentale	132
6.5.1. Determinarea valorii medie a pătraticei \bar{x}_o^2 și a densității spectrale de putere $w(\omega)$	132
6.6. Compararea rezultatelor teoretice cu cele experimentale	178
<u>Concluzii generale</u>	181
<u>Bibliografie</u>	184
<u>C_u_p_r_i_n_s</u>	198

• ** STOP VA ROG NU INTRERUPEȚI
COMPILE FORTTRAN ER:4

FORTTRAN 14.0.C

```
C      1      C      PROGRAMUL PRINCIPAL PENTRU REZOLVAREA SISTEMULUI DE ECUATII DIF.  
C      2      C  
C      3      C  
C      4      * DEFINE FILE D2(DVT:RT,RCF:F,RCS:133,BFS:678,SFD)=4  
C      5      DIMENSION Q(18),DERY(18),PRMT(7),AUX(8,18)  
C      6      EXTERNAL FCT,BUTP  
C      7      C  
C      8      IPG=0  
C      9      READ(105,1)KIV,DERY(1),I=1,18),(G(I),I=1,18)  
C      10     I      FORMAT(13,F10.6)*10.6)  
C      11     NCIM=18  
C      12     PRMT(1)=0.  
C      13     PRMT(2)=6.  
C      14     PRMT(3)=0.0002  
C      15     PRMT(4)=0.0005  
C      16     PRMT(5)=0.  
C      17     PRMT(6)=101.  
C      18     PRMT(7)=10C.  
C      19     WRITE(108,2) PRMT(3)  
C      20     2      FORMAT(1,1,PAS DE INTEGRARE INITIAL :),T10.6/  
C      21     = 5X,'T',5X,'THLF',4CX,'Q(1)=G(6)',6X,'G(2)=G(7)',6X,'Q(3)=G(8)',  
C      22     = 6X,'G(4)=G(9)',6X,'G(5)'  
C      23     CALL RKGS(PRMT,C,DERY,NCIM,IHLF,FCT,BUTP,AUX,K,V,G1,Q3,Q1P,Q3P,  
C      24     *IPG)  
C      25     STOP  
C      26     END
```

FORTTRAN 14.0.C

ECD1174 16.12.40

M TYPF RANGC TYPE P LMIN D CMAX

**** FIN DE COMPILE (PLUS HAUT NIVEAU D'ERREUR RENCONTRE = 0)
COMPILE FORTRAN ER14

FORTRAN 14.02

ECRIFER 27/01/24 16+13+1

```
1      SUBROUTINE FCT(T,G,BERY,NPIM,K,V,V1,V2,V3,G1,G2,BM)
2      DIMENSION A(1:16),B(1:16),C(1:16),D(1:16)
3      INTEGER S1,S2,S3,S4,S5,S6,S7,S8
4      C      CALCUL DE V1,V2,V3,V4,V5,V6,V7,V8,A,B,C,D,E,F,G,H,I,J,K,L,M,N
5      C
6      V1=1+3*(V(1)+V(17))-2*(V(2)+V(11))+4*(V(12)-1)*4*(V(11)+V(13))
7      V2=1+3*(V(1)+V(18))-2*(V(2)+V(11))+4*(V(12)-1)*4*(V(11)+V(14))
8      V3=V(17)+(-7*(V(18)+V(14))+4*(V(15)))
9      V4=V(17)+(-2*(V(18)+V(14))+4*(V(16)))
10     V5=V(18)+(-2*(V(14)+V(16))+4*(V(15)))
11     V6=V(18)+(-2*(V(14)+V(16))+4*(V(16)))
12     V7=V(18)+(-2*(V(14)+V(16))+4*(V(16)))
13     V8=V(18)+(-2*(V(14)+V(16))+4*(V(16)))
14     S1=1
15     S2=1
16     S3=1
17     S4=1
18     S5=1
19     S6=1
20     S7=1
21     S8=1
22     IF(V1)11,23
23     1   S1=-1
24     2   GO TO 3
25     3   S1=0
26     4   IF(V2)4,5,6
27     4   S2=-1
28     5   GO TO 6
29     5   S2=0
30     6   IF(V3)7,8,9
31     7   S3=-1
32     8   GO TO 9
33     8   S3=0
34     9   IF(V4)10,11,12
35     10  S4=-1
36     10  GO TO 11
37     11  S4=0
38     12  IF(V5)13,14,15
39     13  S5=-1
40     13  GO TO 14
41     14  S5=0
42     15  IF(V6)16,17,18
43     16  S6=-1
44     16  GO TO 17
45     17  S6=0
46     18  IF(V7)19,20,21
47     19  S7=-1
```

FORTRAN 14.02

ECRIFER 27/01/24 16+13+1

ECOIFFER 27/01/74 16:13:12

FERRAN 14:02

BUPT

CALCULATE INTRINSIC RESISTANCE

```

27 A=323.0/V
G1=(A+(3/12)*G+*G*(6))
G2=(A+(1/12)*G+*G*(6))
G3=(A+(5/12)*G+*G*(6))
TF(G1)+2.**(G1+2.**(G1-0.005)
TF(G2)+2.**(G2+2.**(G2-0.005)
TF(G3)+2.**(G3+2.**(G3-0.005)
TF((A+(3/12)*G+*G*(6))+2.11*G(6)+0.005)
G1P=(A+(1/12)*G+*G*(7))
G2P=(A+(5/12)*G+*G*(7))
G3P=(A+(3/12)*G+*G*(7))
TF((G1)-2.**(G1-0.005)
TF((G2)-2.**(G2-0.005)
TF((G3)-2.**(G3-0.005)
G1P=G1+(G1-G1P)*0.005
G2P=G2+(G2-G2P)*0.005
G3P=G3+(G3-G3P)*0.005
A=0.67/V
G1=0.672*V
G2=0.672*V
G3=0.672*V
G1S=(A+(3/12)*G+*G*(15))+5820.*G(4)-16.*G(6)
G2S=(A+(5/12)*G+*G*(15))+24.*G(4)-16.*G(6)
G3S=(A+(3/12)*G+*G*(15))+234.*G(4)+614.*G(6)
TF((G1)-2.**(G1-0.005)
TF((G2)-2.**(G2-0.005)
TF((G3)-2.**(G3-0.005)
G1S=G1+(G1-G1S)*0.005
G2S=G2+(G2-G2S)*0.005
G3S=G3+(G3-G3S)*0.005
TF(G4)=2.*11*G(6)+0.005
GS=G3S+3386.*G(4)-2.*11.*G(6)+0.005

```



```

1      SUBROUTINE OUTP(T,G,DERY,IHLF,NDIM,PRMT,K,V,G1,G3,Q1P,Q3P,IPG)
2      DIMENSION J(NDIM),DERY(NDIM),PRMT(7)
3
4      IF(PRMT(6).LT.100.) GS TA 2
5      PRNT(6)=G
6      IF(PRMT(7).LT.61) GO TS 10
7      IPG=FG+1
8      PRNT(7)=1.
9      WRITE(*,11)IPG,(I,DERY(I),I=1,9)
10     11  FORMAT(1X,I5,127X/' ',5(3X,DERY(' ',I1,' ')=' ,E14.7),7X/
11        ' ',4(3X,DERY(' ',I1,' ')=' ,E14.7),32X)
12     12  WRITE(4,1)
13     13  WRITE(*,1,EX,2XF15.6,I4,I1,5)
14     14  WRITE(4,2) G1P,G3P,(G(I),I=1,9)
15     15  FSETAT(1,1,21X,1,1F=1,E14.7,E14.7,4(1X,E14.7),15X)
16     16  PRNT(7)=PRNT(7)+2.
17     17  PRNT(6)=PRNT(6)+1.
18     18  RETURN
19     19
C
```

FORTRAN: 14.02 ECDIFER 27/01/74 16.13.49